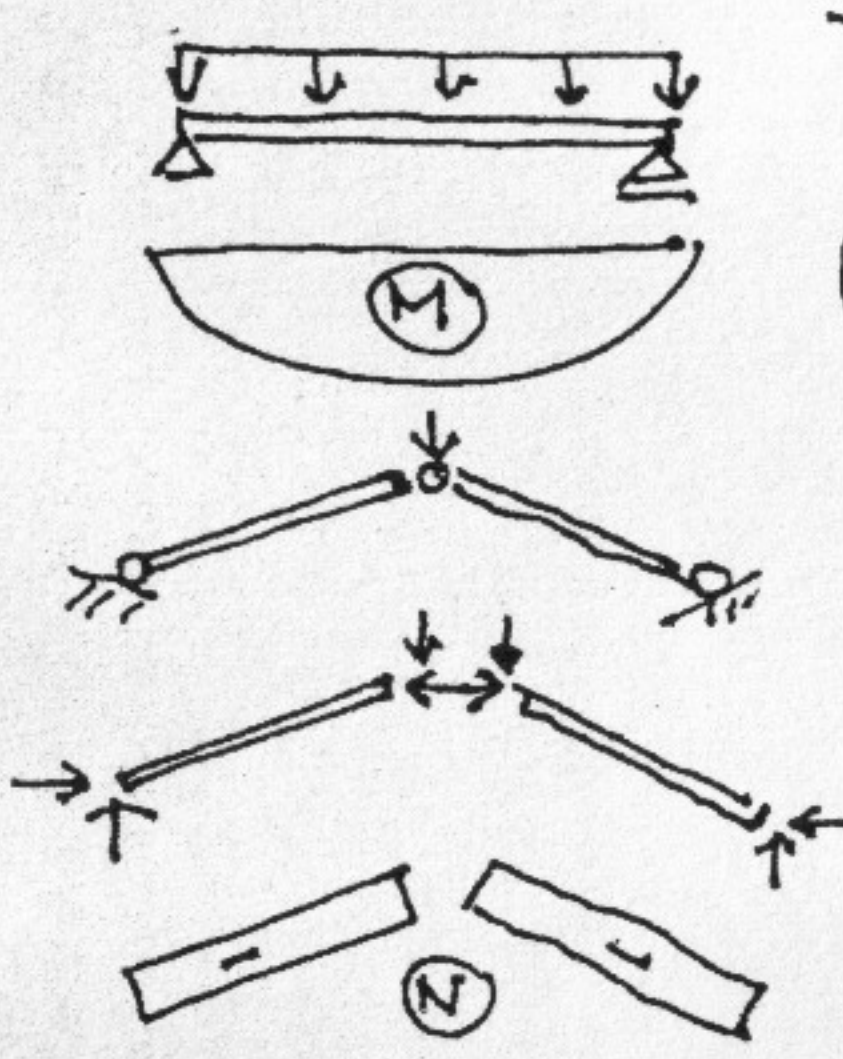


SZILÁRDSSÁGRÁU I.

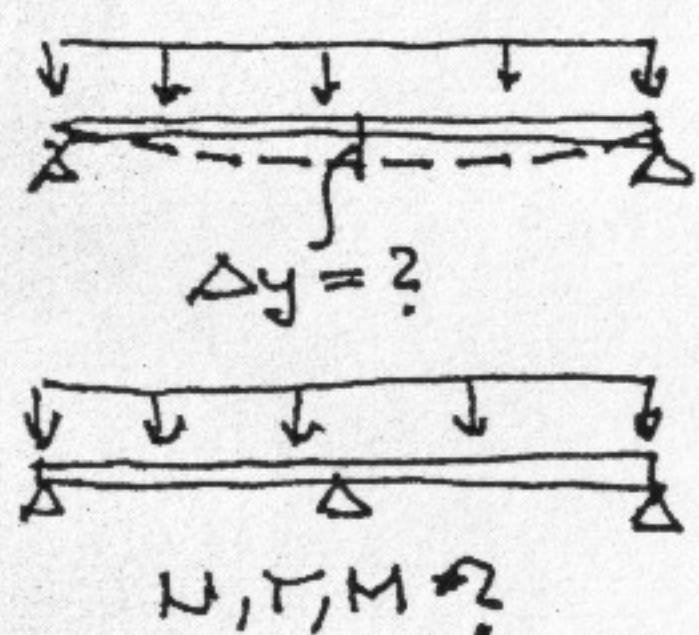
1. Céltípusok és alappálmák

1.1. Szerkezetek modelljei

Statika → meser többlektől álló szerkezetek
↳ krelítez, mely bizonyos esetekben
eljáradható:



- statikailag határozott szerkezetek
habcsaládi → belsőszövek
nemításai (A)

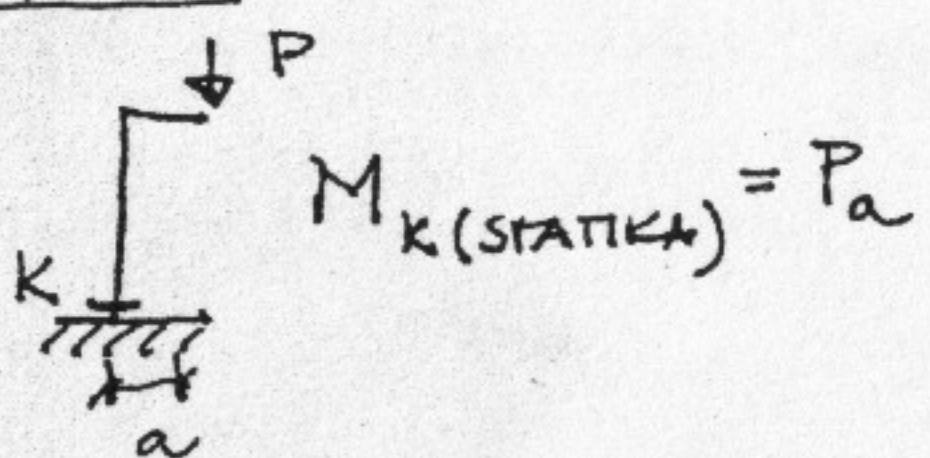


Más feladatok megoldására céltáblák:

- stat. hőt. nem. elmondásainak nemítása (B)

- stat. határozatban szerkezetek habcsaládi → belsőszövek nemítása (C)

Elojelölhet, hogy (A) típusú feladat esetén a biztosító rögzítési körülményt a modell:



$$M_{K(\text{STATIKA})} = P_a \quad M_{K(\text{VALDSA})} = P(a + \Delta_a) > M_{K(\text{STATIKA})}$$

(A*)

Célnak a modell finititája annak eldokibén, hogy (B) és (C) típusú feladatot is meg tudjunk oldani, és az (A*) típusú feladatnál korrígálni kellje az elemi statikai nemítást.

(A)
1.

1.2. Alappálmák intuitív bervezése

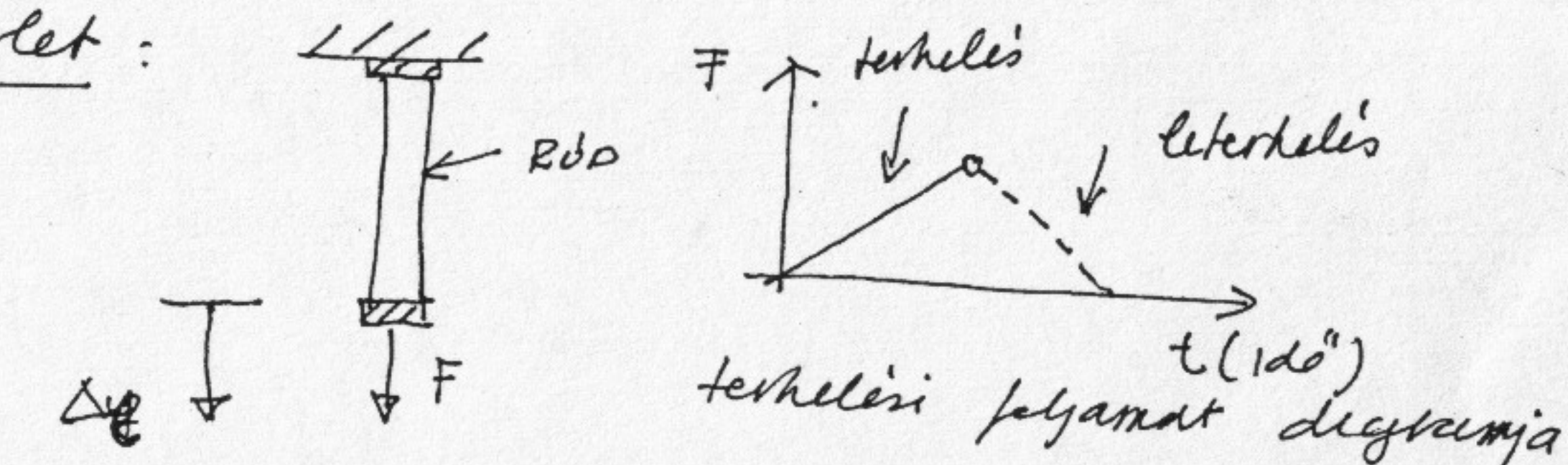
→ (matematikailag nem preciz,
intuitív ragatkozás)

Meser köt rejtett → Szelencs köt

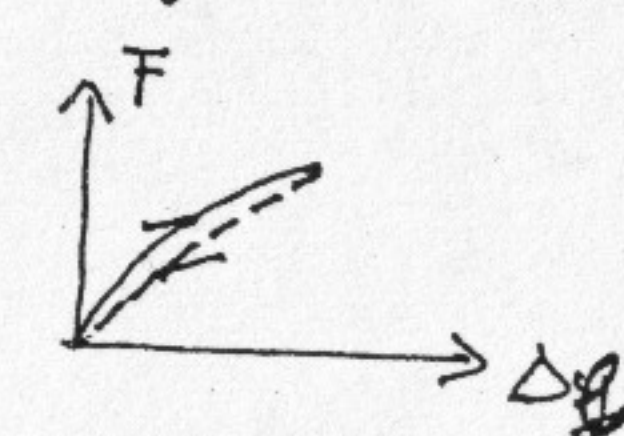
alakját elő
nemításra nem
váltotta

van alakja, ← → nem reláció:
de az elő hatalma fejezések,
megtörök gáncs

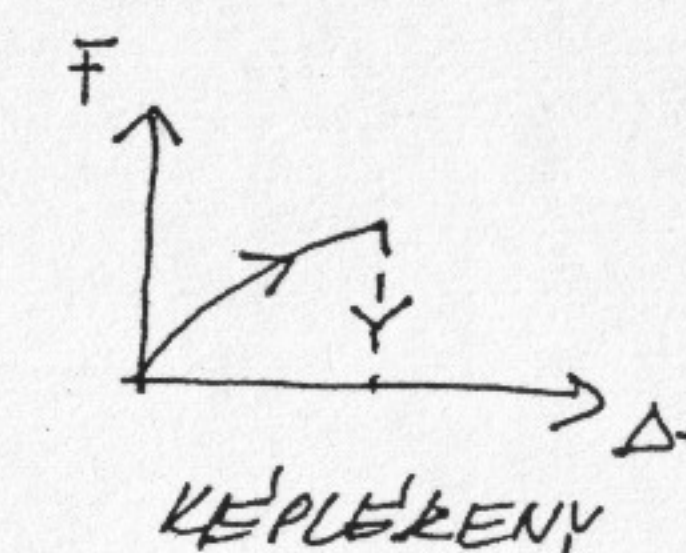
Kísérlet:



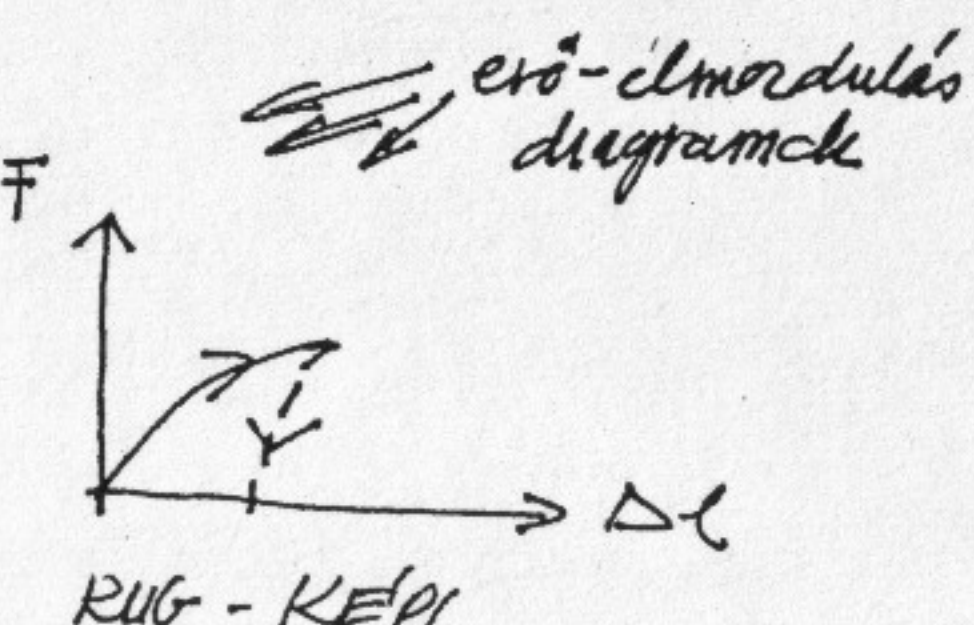
A reláció kötöt tipusaiha soroljuk az F-Δe diagram kerint:



RUGALMAS:
az erőhellyel
műköntelen a
deformáció →
működik



KEPLEKENY

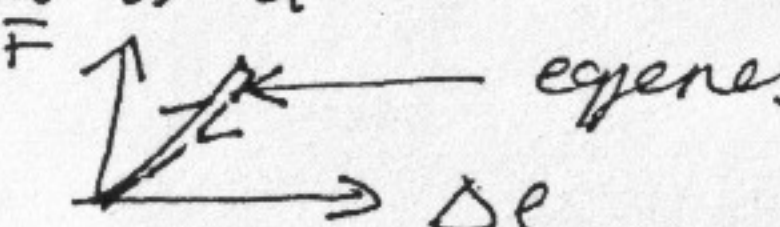


RUG - KEPL.

erő-elmundulás
diagramok

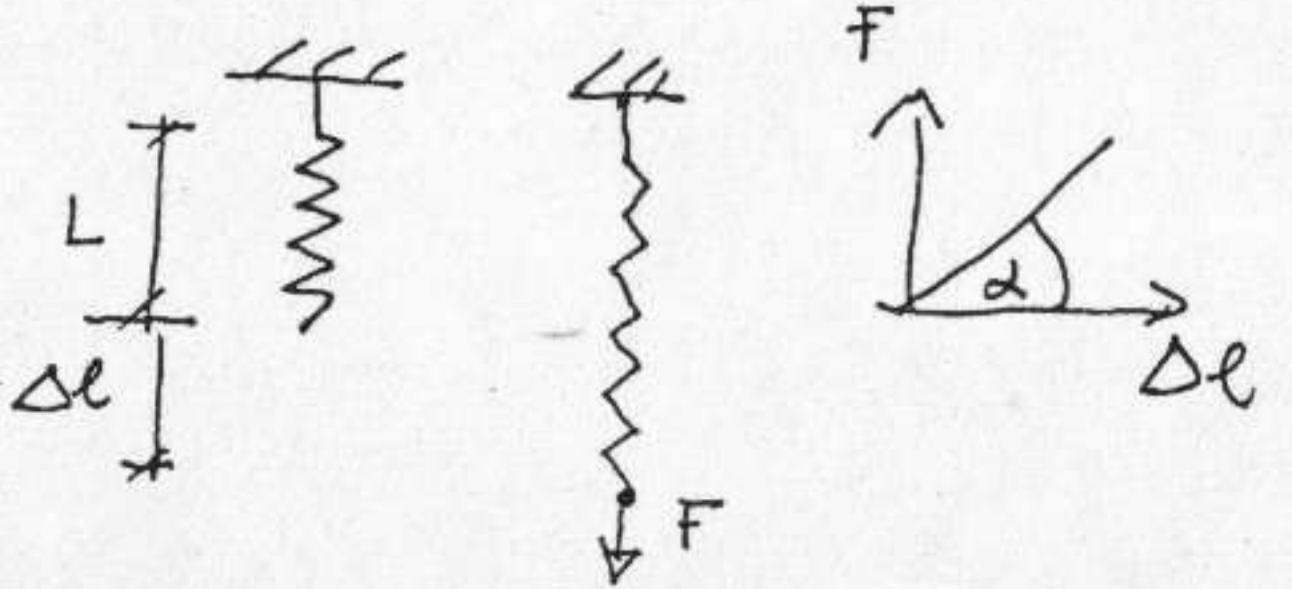
megmarad nincsen megmarad

↓
Egyelőre errej foglalkozunk, errej belül is a
LINEÁRISAN RUVALMAS testekkel:



Probléma: Az F-Δe diagram nem az ayagra, hanem a testre plémre. Célnak a név leírásnak
és koncentmetrii kritériumnak kötöttetésre.

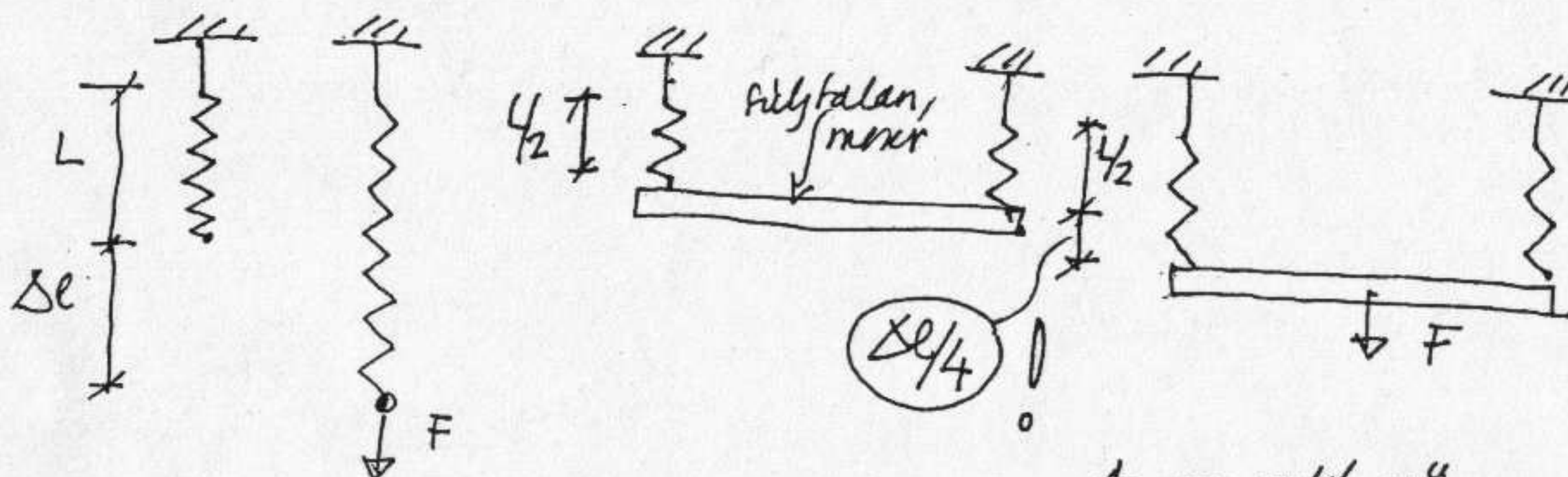
Modell → lineáris nyí (átmérőkkel)



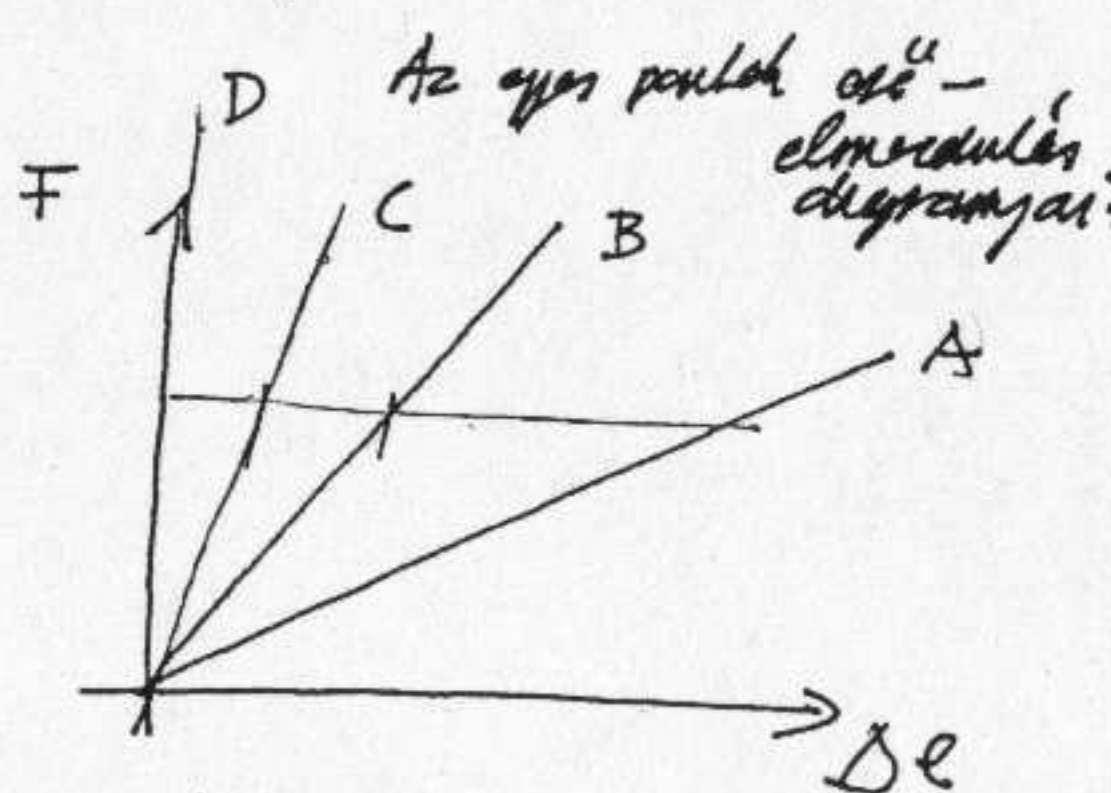
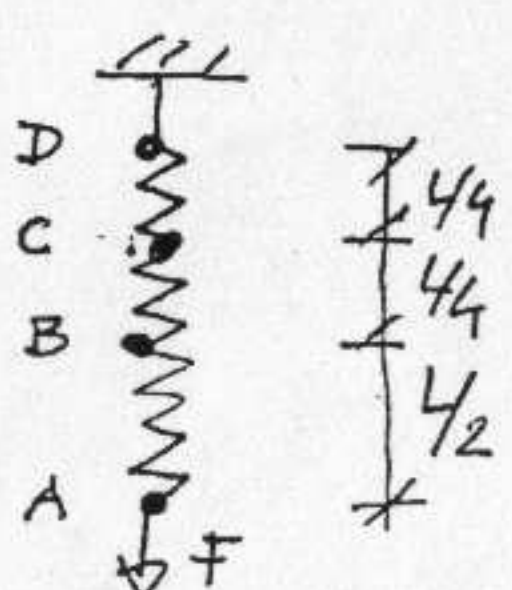
$$c = \frac{F}{\Delta l} = \frac{F}{\Delta l}$$

nyímerőj → az az „erő”, amelynek hatására 1 cm-rel nőhet meg a nyí $[c] = [N/cm]$

Hogyan fog "c" a nyí hőhatás?



Megállítat:



Tehát a ritidebb nyí merőbb.

A nyí gyajára az u.n. fajlagos nyímerőj jönne.

$$\bar{c} = c_1 \quad c = \frac{\bar{c}}{e} \quad [\bar{c}] \text{ [N]}$$

→ az az erő, melynek hatására a nyí két részein nőhet. \bar{c} -ból fenti "gyakorlat" nyímerőjére követhető.

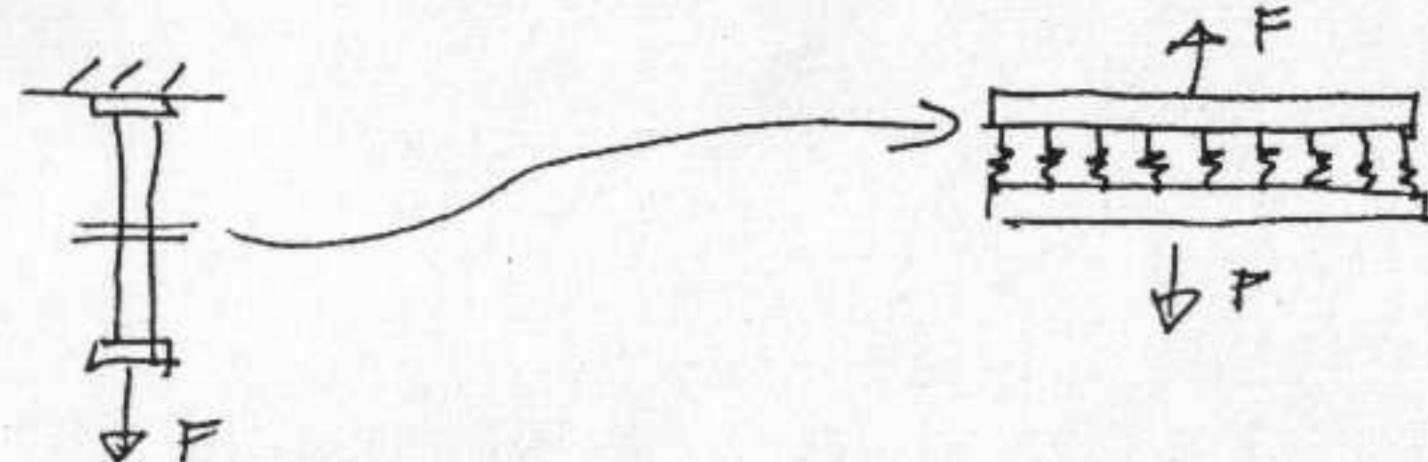
$$F = c \Delta l = \frac{\bar{c}}{e} \Delta l = \bar{c} \left(\frac{\Delta l}{e} \right) = \bar{c} e$$

Fajlagos
Merőj Fajlagos
nyímerőj [ε] = []

Ez a növekvő kihúzásból.

(3)

Tehintésből az hőhatás nelehet:



A növekvő "elemi nállal" szabálytalan lejtésű hőhatásból el. Mindean nál van lin. nyí.

$$F = c \Delta l = \bar{c} e$$

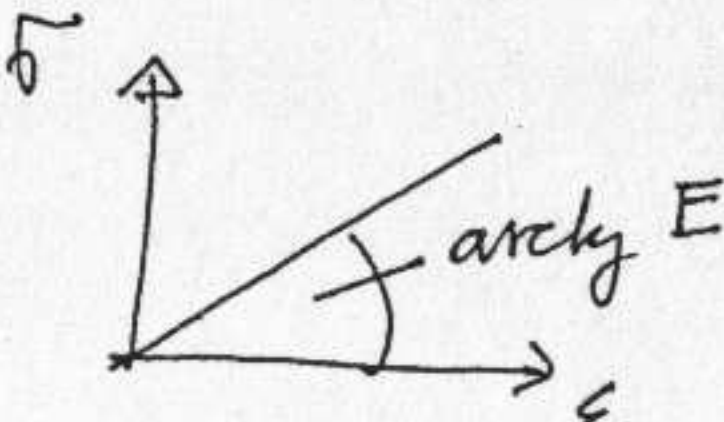
A kerestmetód fordítottan kihúzásból:

Feltüntetésből, hogy az elemi nállat arányos módon nőhet meg.

$$\frac{F}{A} = \frac{\bar{c} e}{A}$$

Feszültség

$$[\sigma] = [N/cm^2]$$



RUSALMASSÁGI MODULUS (Young-modulus, Várius (1785-1836))

$$[E] = [N/m^2]$$

Ez már gyakorlati diagram! Egyszerűen admazattal (E) felforróhatnak az (lin. nyí) gyajayat.

(pl. Eacil = 20600 N/cm²)

13. Az gyajayon a σ-ε diagram

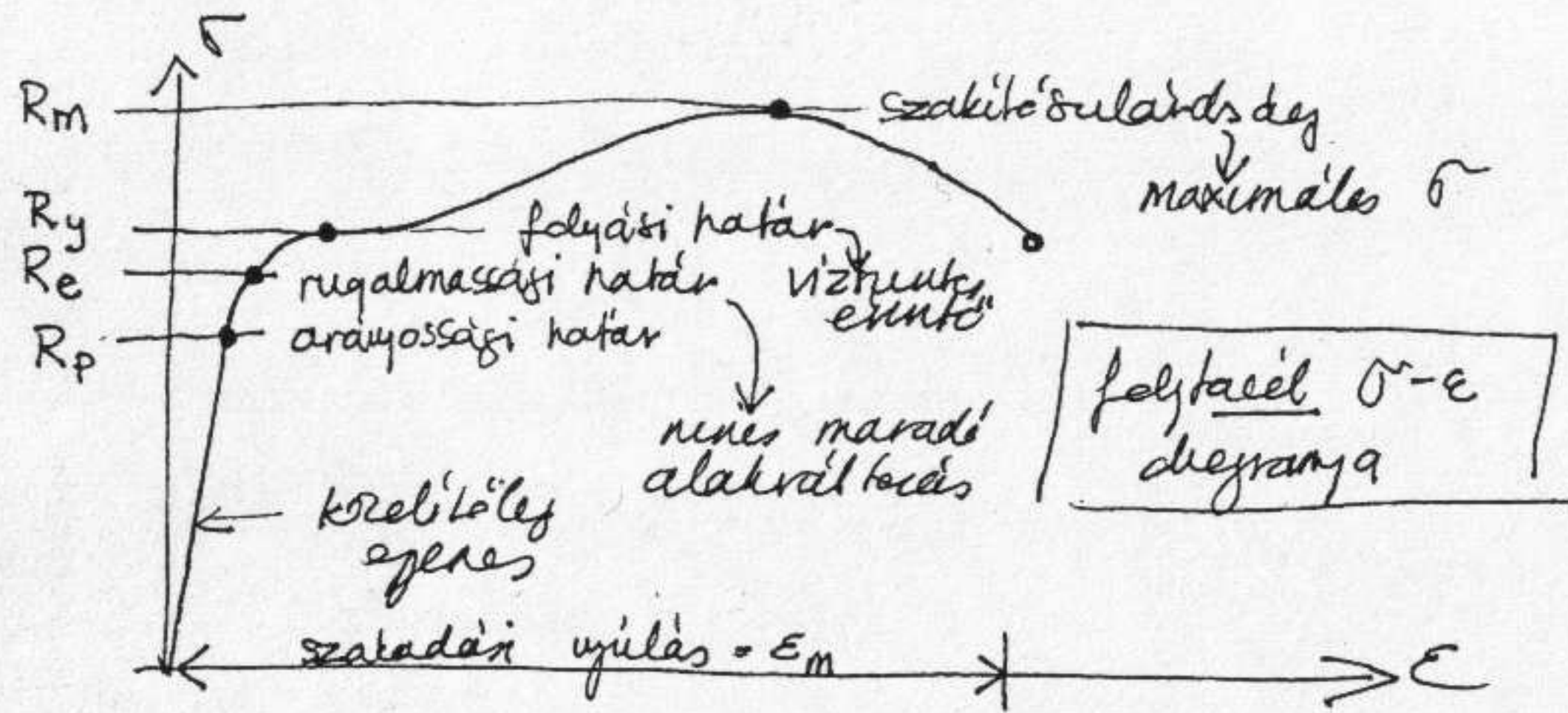
A $\sigma = E \epsilon$ mefüggetlen tervező Hooke-törvénnyel (Robert Hooke, 1653-1703, geometria professzor, Anglia). Nevezik ellenállással, ez az axióma, amely valis gyajayba csak teljesített tartományban és hibátlanul teljesül. A $\sigma - \epsilon$ mefüggetlen mai axiómáról is leírhatunk. (pl. kerékhegy növekedés → kerék)

A $\sigma - \epsilon$ mefüggetlen leíró axiómát gyajayon raffgyajayonban növekedni.

(4)

Valeáságos anyagok σ -e degradáció zárt alakban ($\sigma = f(e)$)⁵

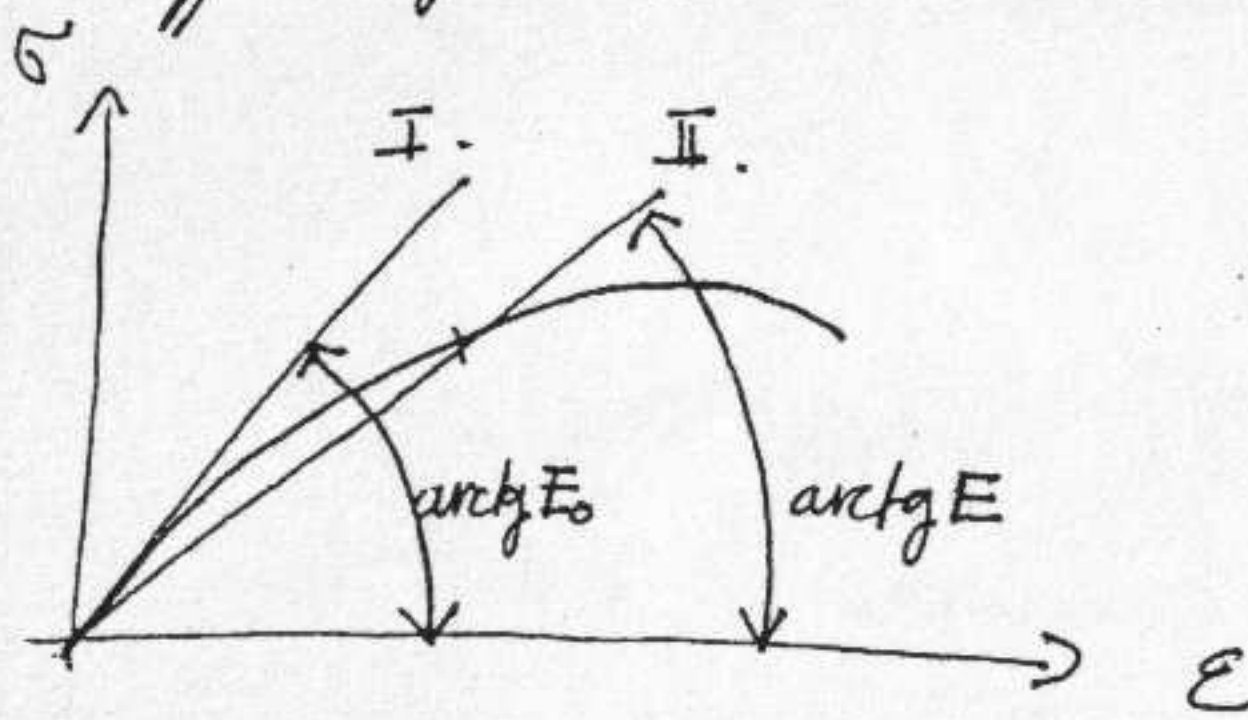
nem adható meg, az igen kísérleti degradációkat
reverzál pontjával írjuk le:



A Hooke-térívét jelezőként az R_p arányosságát követően lehet kannalni.

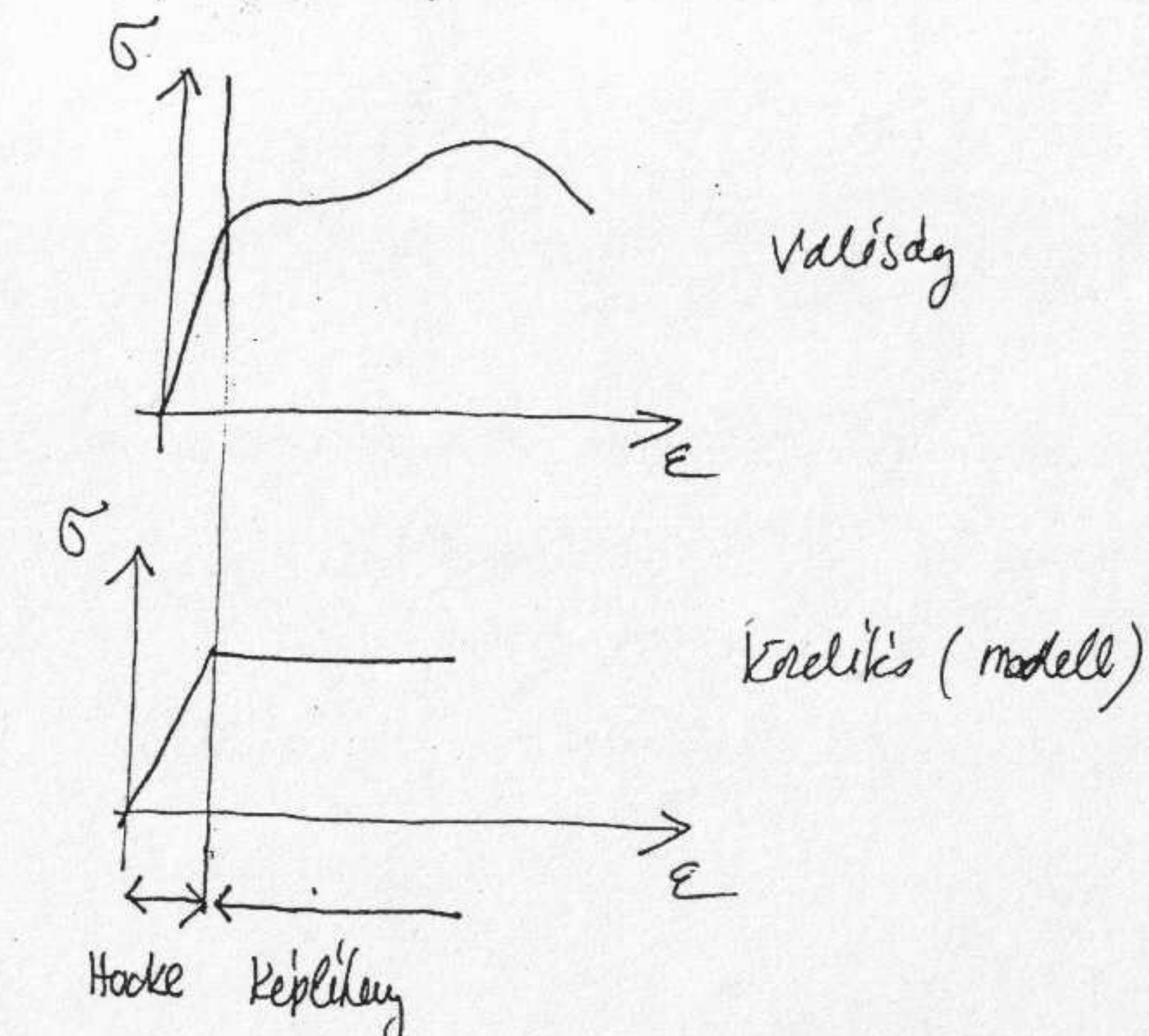
Más anyagoknál kevésbé egyszerű a felzér.

Pt. az öregedés betű szerint:



Az I. csoportba tartozó E_0 hordeli meg. modulusnak, míg nagyon rövid időnkon hordeli jel az anyag viselkedését. Nagyobb időszakkumban kapunk Jé hordelést, ha a húzás (II. csoport) tartozó mg. modulus(E) kannaljuk.

A rehberi anyagok σ -e degradációt más-más tulományban más-más anyaggyenésekkel közelítik. Pl. acél

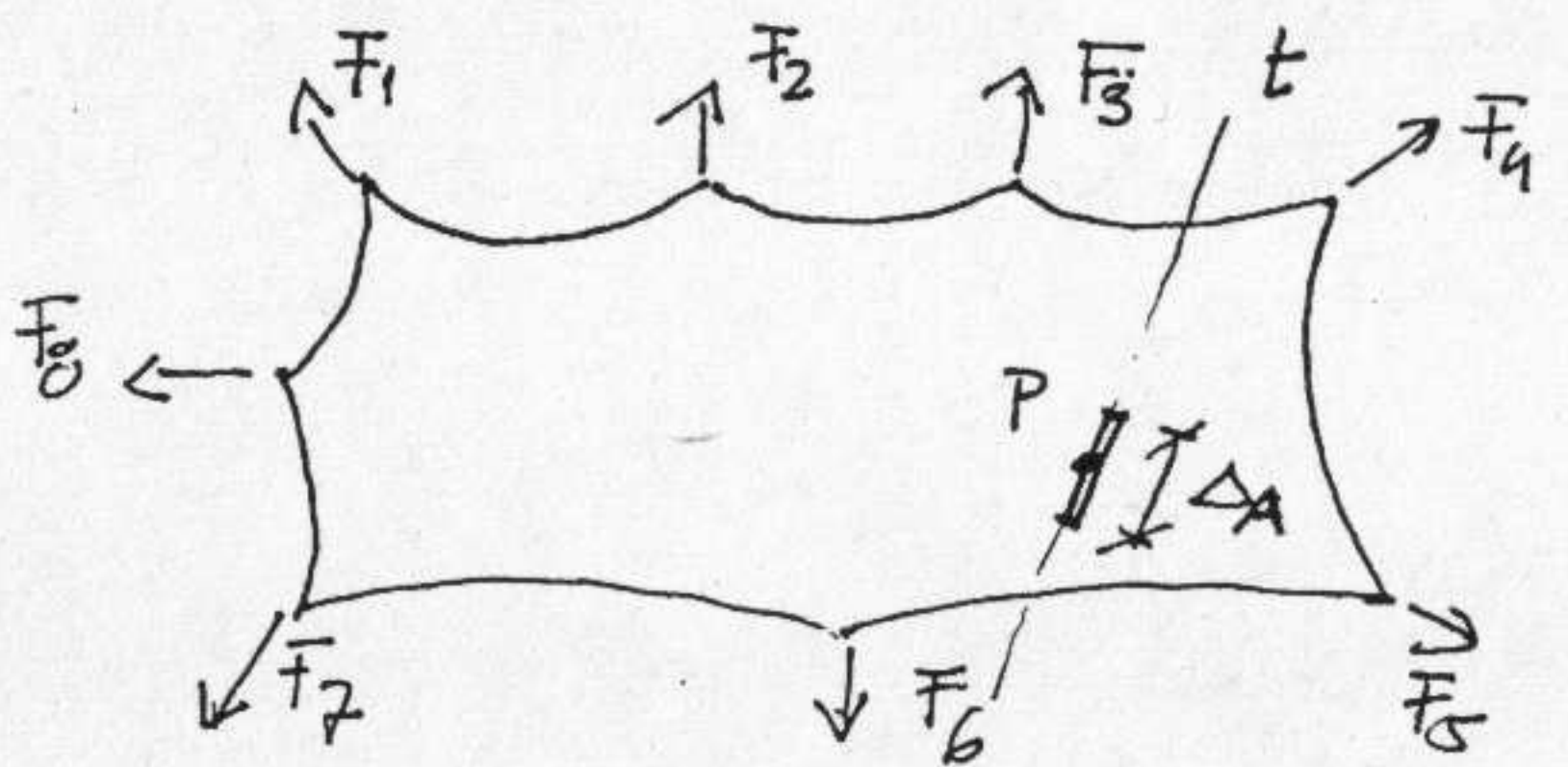


1.4. A fenültség általános meghatározása

Az eddigiekben bemutatott fenültség-fogalom nem elég általános, hiszen a feltükelesítők, leg a fenültséghez összefüggően erősítik el a hid. szemmetrikusban, és más - halványítás - rendszerekkel is funkció.

Tehát inkább az egyszerűbb fogalmat, az egyszerű hordelést legyen 2 dimenziós (pl. gumiszerkezet) és keréklyuk egyszerűbb formával:

(A testet egyszerűbb rövidítéssel leírjuk.)

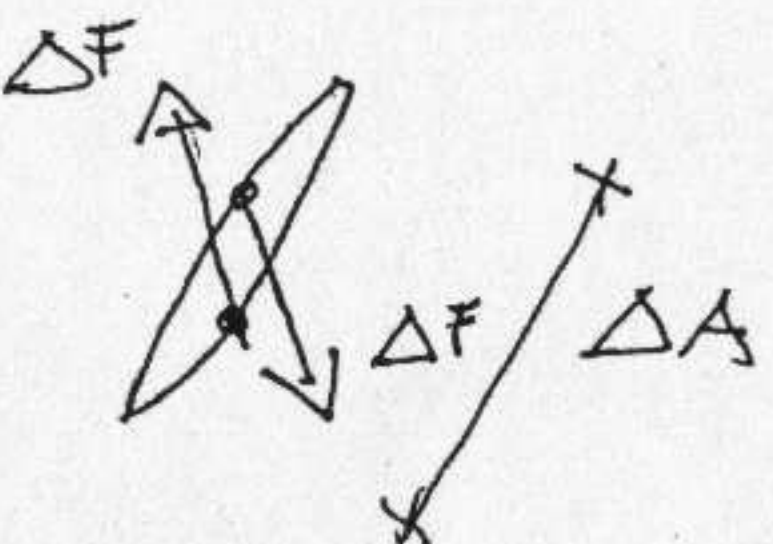


$$\sum F_i = 0$$

$$\sum M = 0$$

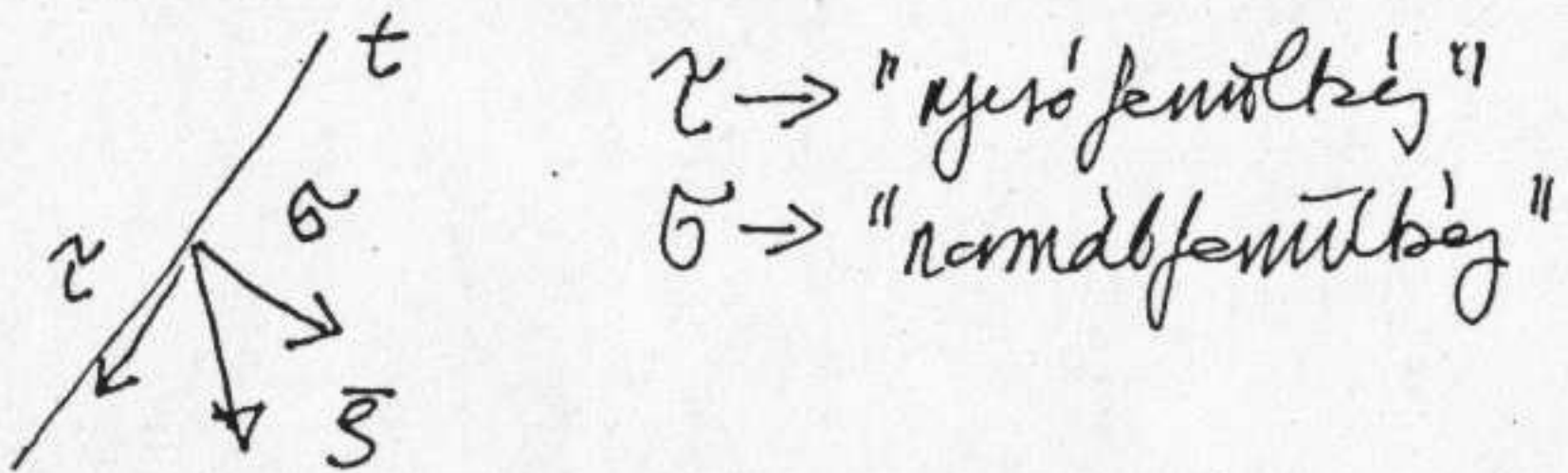
Messünk bele a testbe epp valamit a P pontban epp valamit a t mentén mérünk, ΔA hőműszerben.

A mehet réslei elhárításakor számítjuk, erre a megnövekedés ΔF erőre van működés:



A tapasztat azt mutatja, hogy ha $\Delta A \rightarrow 0$, akkor $\Delta F \rightarrow 0$, de $\frac{\Delta F}{\Delta A} \rightarrow \bar{s}$, mely a hagyadás határvétele nem zérus. Ez a (vektor!) határvételeket nevezünk a P pontban, a t valóra mérteken ébréde fenültségnel. $[s] = \left[\frac{N}{cm^2} \right]$

A \bar{s} fenültség - más rövidítések használatával - komponenciákba bontható. Visszaképzük a t-rel \parallel komponensét τ ("tau")-nak, a \perp komponensét σ ("sigma")-nak nevezünk:

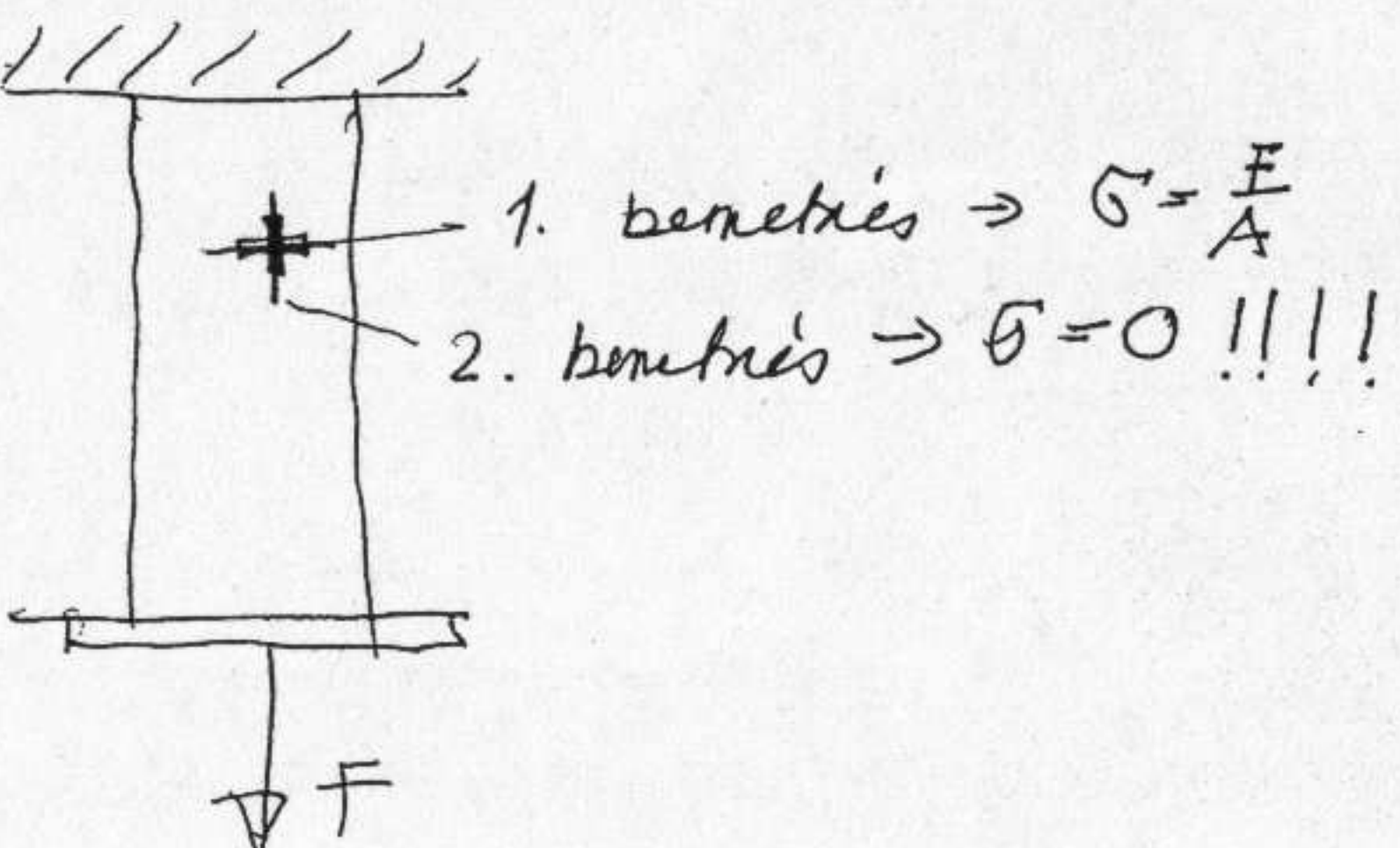


T

Megegyezik a fenültség-definícióhoz:

- 1) A definíció 3D esetben teljesen analóg, csak néha kevésbé nem lehetséges
- 2) Rendül elő, hogy S a P pont legfeljebb és a t iránytól származó függ. Ez a pontot az ott áthaladó únnes végker tartalmi S fenültségek meghatározával lehet jellemezni. Ennek legegyenibb módja az $S(n)$ függvény meghatára, ahol n a t irányt jellemző egyszerű normálvektor. A kössökben tükelesen türgálásból ered a függvény.

- 3) A 2) megegyezik jobb ellentükörökkel a már vizsgált, közvetesen hizott nélkül:



L

Kutató

Síkbeli fémfelügy - alkalmat

- A 2) mezejére nézve a sík \mathbb{R}^3 pontját
egy $\mathbb{S}(n)$ fogorvayel lehet jellemzni, ahol
- $\frac{n}{\mathbb{S}}$ → a viszgált vágás (ezzel) normálizáció
 - \mathbb{S} → a viszgált vágás méretben elosztott
fémfelüley

A $\mathbb{S}(n)$ fogorvay vektor-vektor függvény, ebben
leggyakrabban tipusa a homogen lineáris v-v fr.

2 dimenzióban ez igaz még ki

$$a = \begin{pmatrix} T \\ \vdash \end{pmatrix} \xrightarrow{\text{Laméjeán lin. v-v fr.}} \boxed{\text{TENZOR}}$$

$$\begin{bmatrix} a_1 \\ a_2 \end{bmatrix} = \underbrace{\begin{bmatrix} t_{11} & t_{12} \\ t_{21} & t_{22} \end{bmatrix}}_{\text{tenzer mátrixa}} \begin{bmatrix} b_1 \\ b_2 \end{bmatrix} \quad \begin{aligned} a_1 &= t_{11}b_1 + t_{12}b_2 \\ a_2 &= t_{21}b_1 + t_{22}b_2 \end{aligned}$$

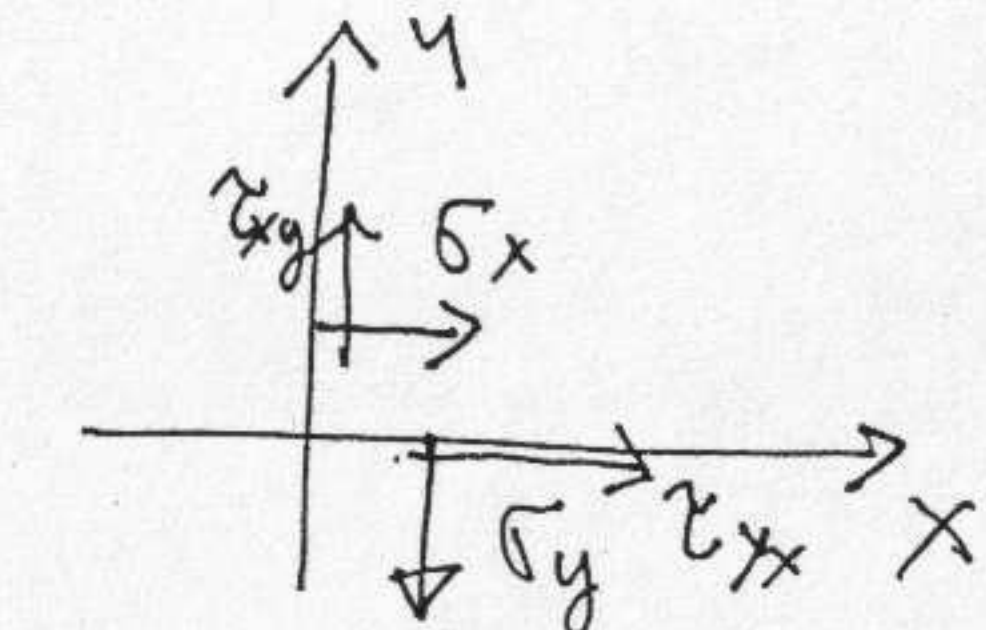
tenzer mátrixa

Ihasonlóan a vektorkör a tenzer is
megadható koordinátaikkal, a tenzer koordinátái
egy mátrixban írhatók le. Ha megadottatjuk
a koordináta-rendszeret, akkor (a vektor
koordinátájai hasonlóan) a tenzer mátrixa
is valósú, a fizikai tartalom szerint
ugyanaz marad.

(8/a)

A fémfelügyi tenzer az $[x:y]$ koordináta-
rendszerben a "ortodox" mátrixval rendelkezik:

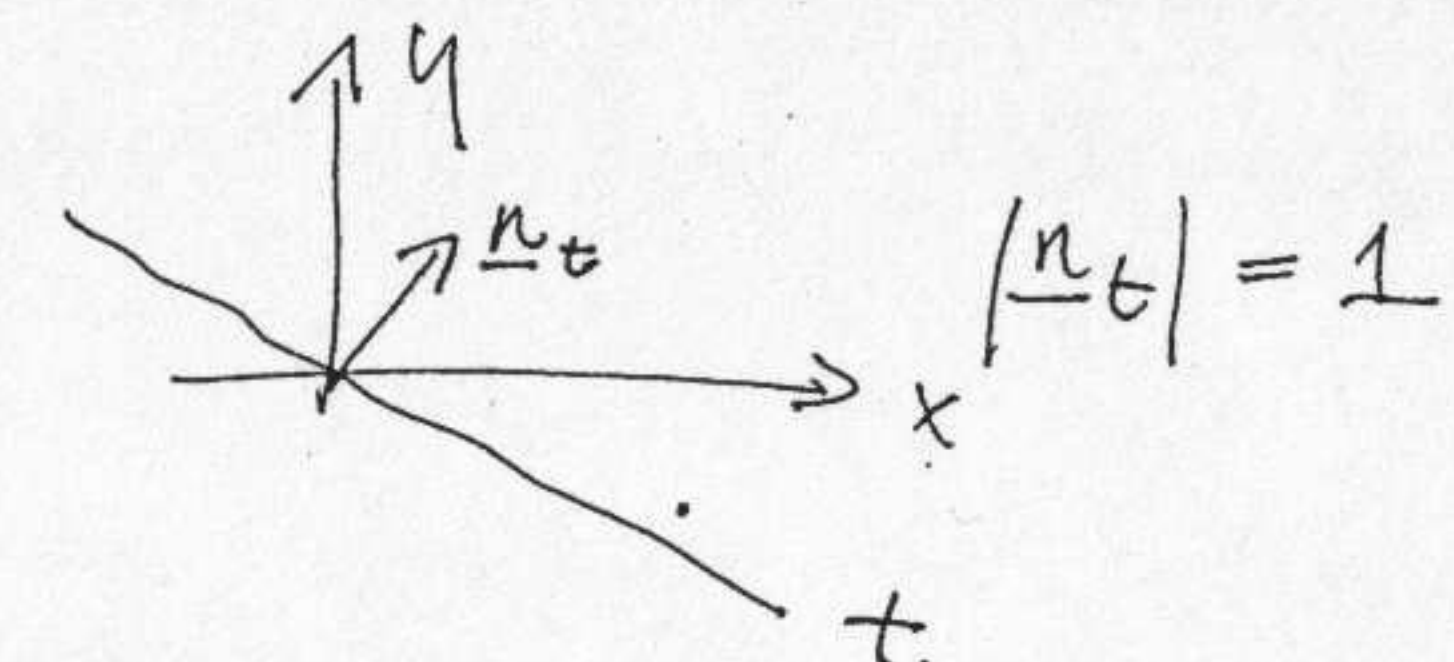
$$T = \begin{bmatrix} \bar{b}_x & \gamma_{xy} \\ \gamma_{yx} & \bar{b}_y \end{bmatrix}$$



ahol \bar{b}_x , \bar{b}_y az x ill. y normálisú méretű
elosztott normal fémfelüleyek, $\gamma_{xy} = \gamma_{yx}$ pedig a
vágófémfelüley.

Ezek nézve ha bármely, egymátra
2 metricten ismerhető a fémfelüleyek, akkor
feltélyes vágásban ki tudom kérniük.

$$s_t = \underline{\underline{T}} n_t$$



A $\underline{\underline{T}}$ tenzer tulajdonságai

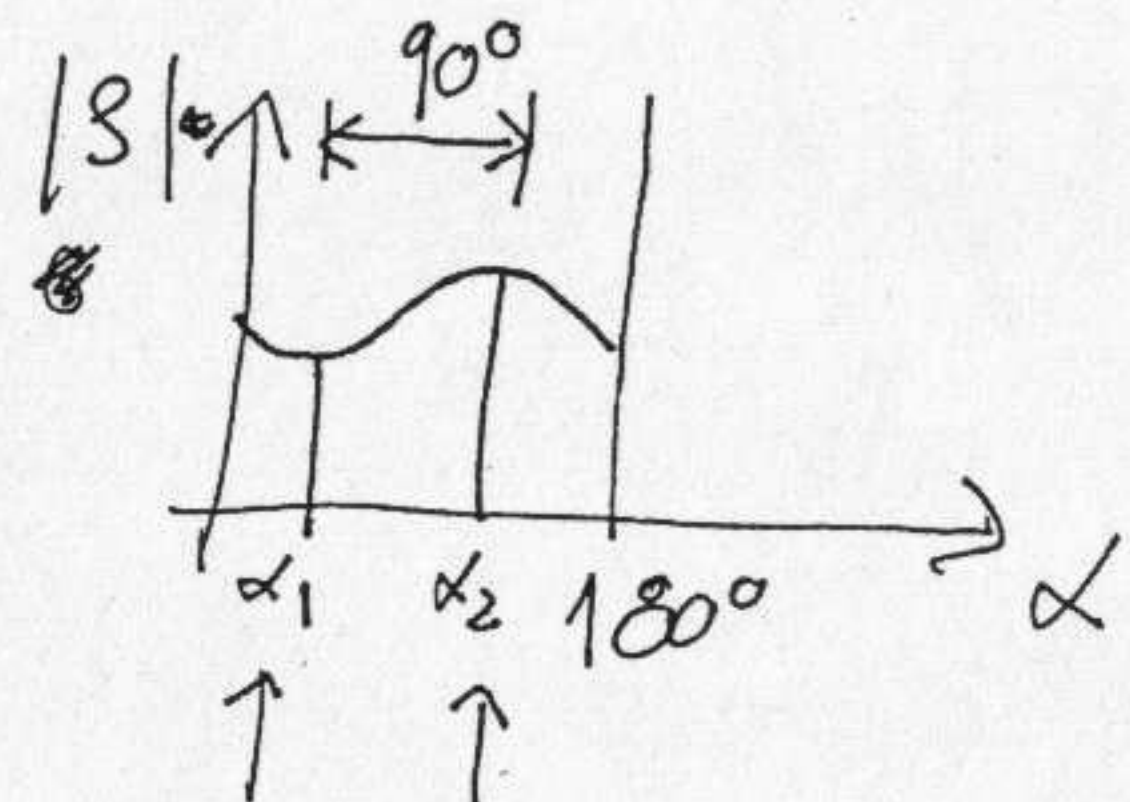
Minden tenzer rendelkezik földszintűvel,
A földszintű "erő" bemenő ($\underline{\underline{n}}$) vektorról függő
kimenő ($\underline{\underline{s}}$) vektor egymával paralelles,
azaz esetben az utolsóban a tenzer

(8/b)

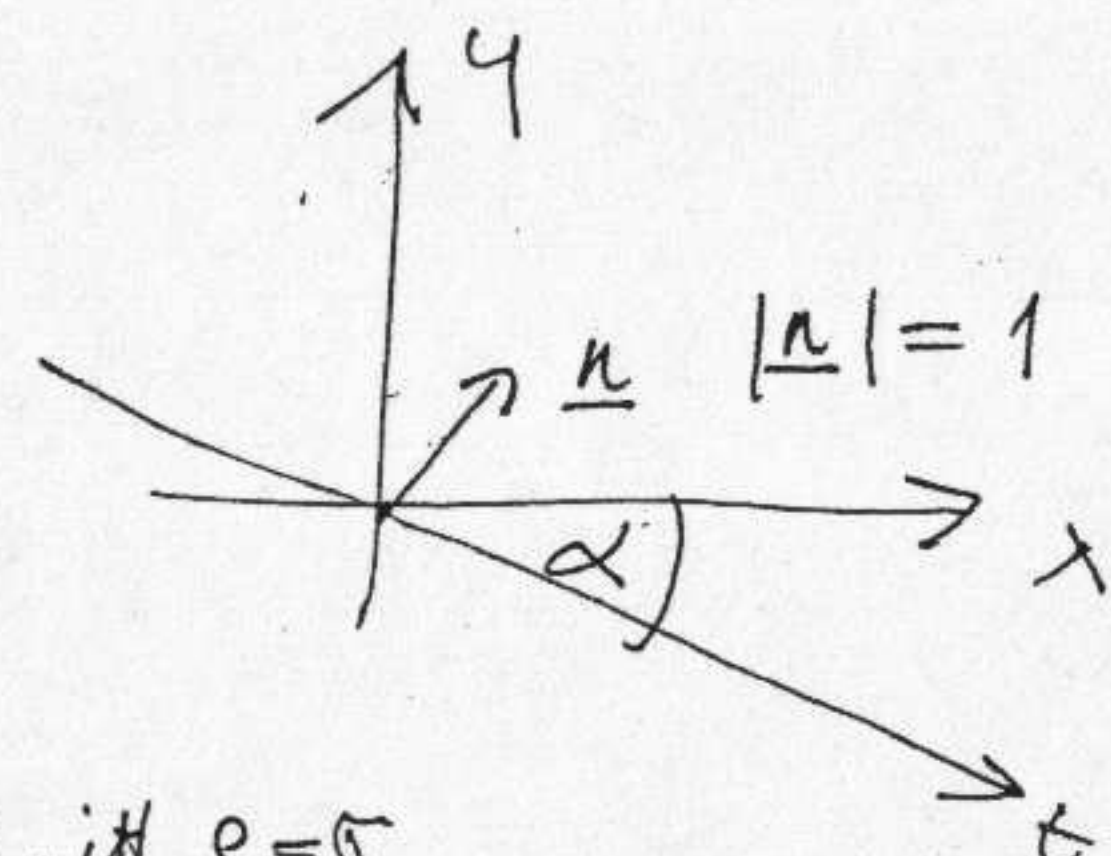
nem fogat csak gyűjt/zsugorít.

(8/c)

A főirányba eső kimenő (\vec{g}) vektorról
abszolút értéke a gyűjtés ill. szugorítás.



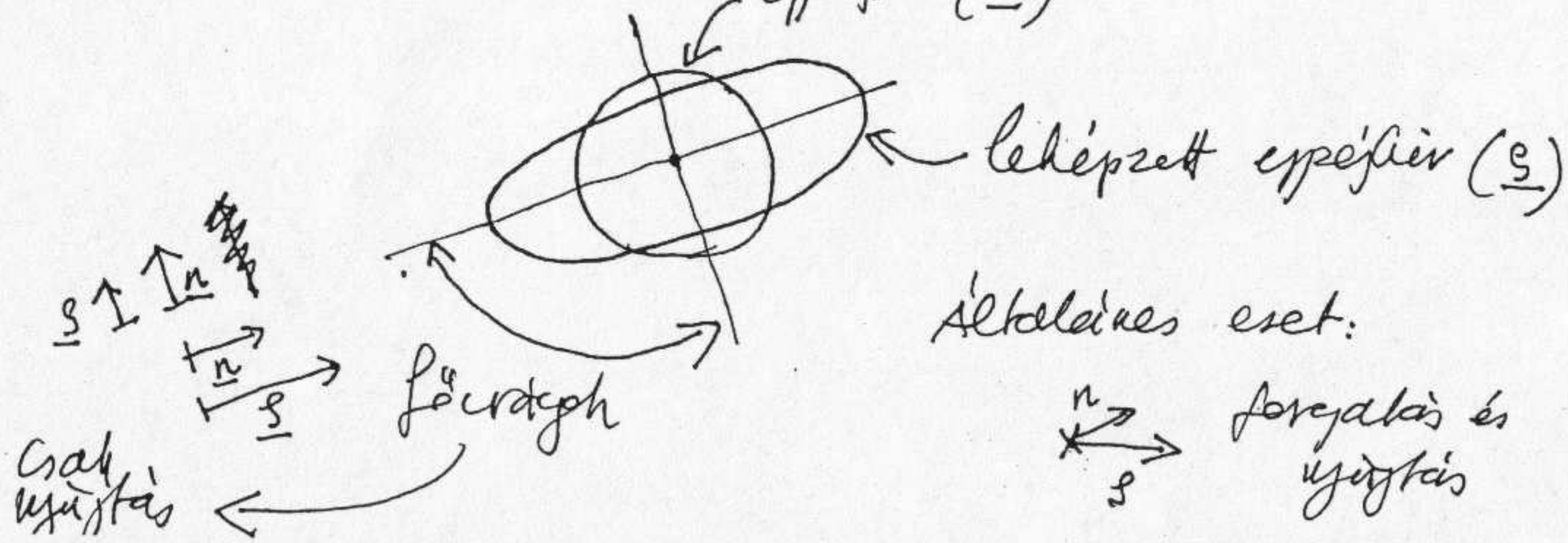
főirányba eső "magasság" $s = 5$



A kerüllőkben vezint a főirányban
 $x_{xy} = 0$ és $|b|$ a nölső értékkel voni fel.

A nölső értékkel bővíti a magottat G_1 -rel,
a keserűt G_2 -rel tervezni.

A lenzor működése nemről leírható
áráltal, leg gyakrabban az optikai lejáró:



Általános eset:

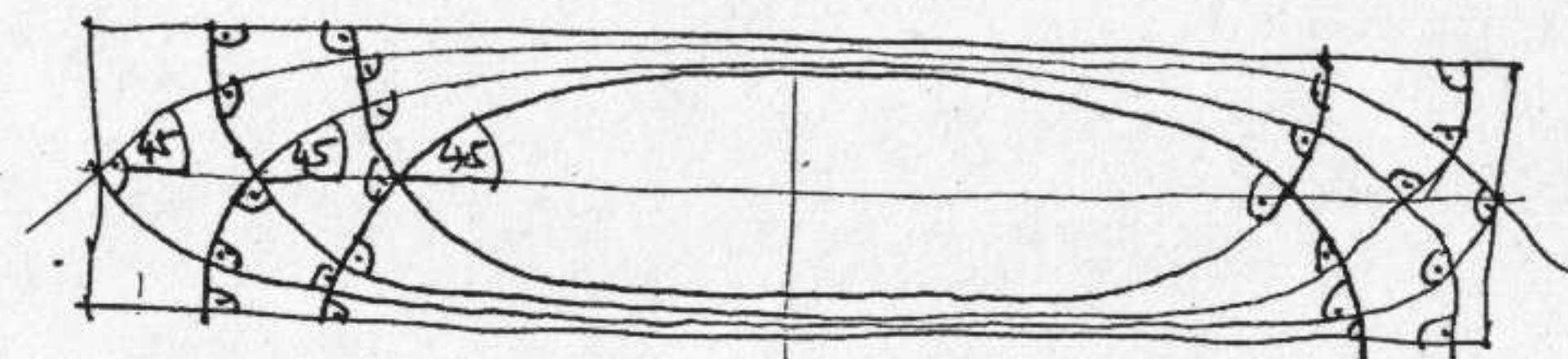
$\frac{n}{s} \rightarrow$ forgatás és
gyűjtés

A fölfelüliak segítségével megálkodható
az axiálisan leleltadó egyszerűbb szerkezetek.

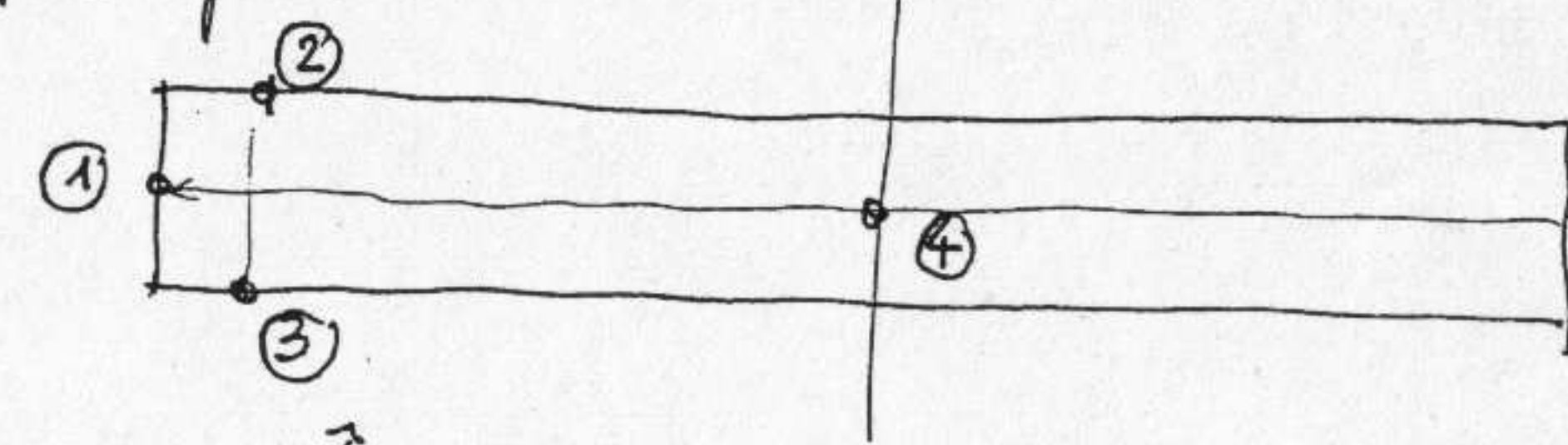
(8/d)

szerepel a görbékkel, megjelenik a főirány
az érintői, fölfelüli trajektóriaiknak
keresések.

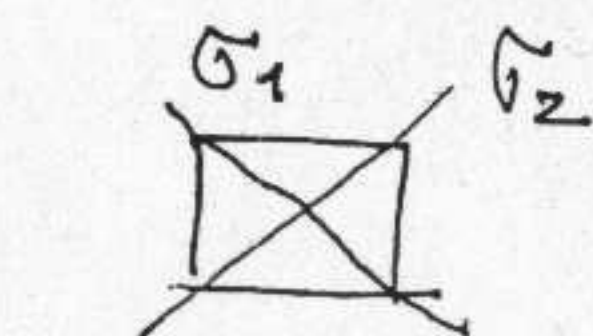
Egyeneses teljesen forralt gerendatartá
szekrény pl. így nézhet ki:



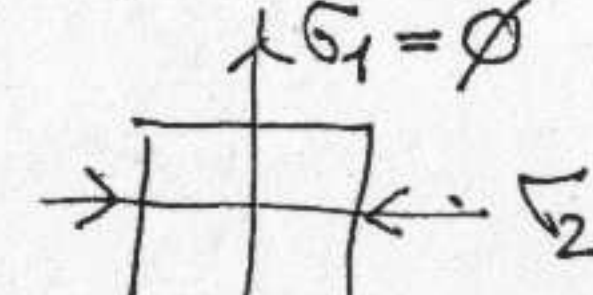
Spec. pontok:



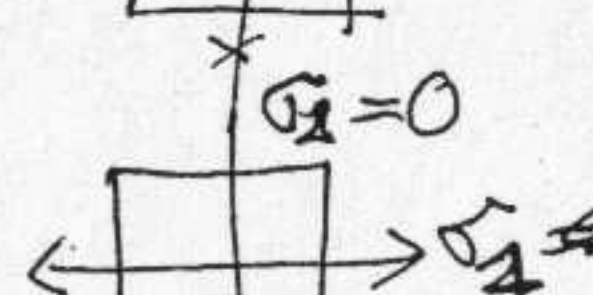
① $\frac{1}{c} \rightarrow$ $\frac{1}{c} \leftarrow$ túta nyírás



② $\frac{2}{c} \rightarrow$ $\frac{2}{c} \leftarrow$



③ $\frac{3}{c} \rightarrow$ $\frac{3}{c} \leftarrow$



④ \square fennálló nyírás

(9)

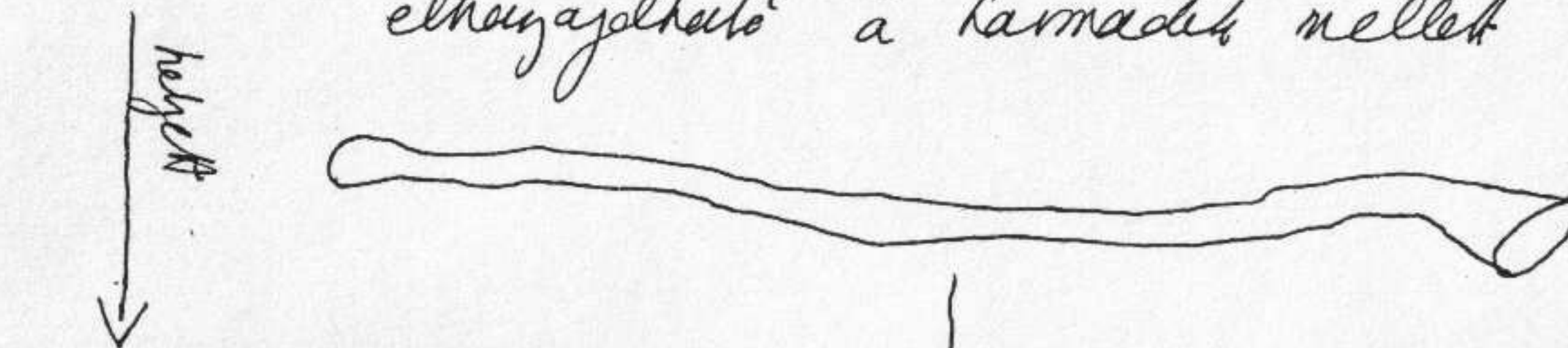
2. Fenültségek ránkitása a rödmellben

2.1. A rödmell

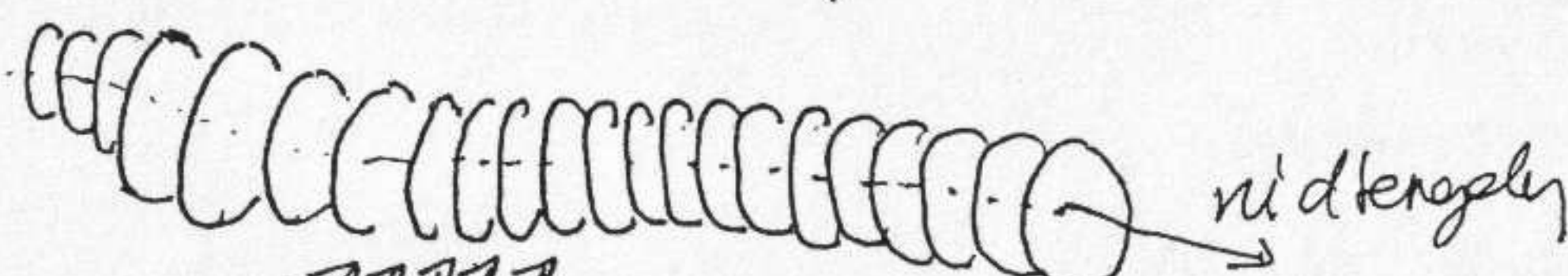
A fenültségek ránkitására az általában két belsejűben igaz felles feladat, erre a kontinuummechanika foglalkozik.

Céljainknak -egyszerű- és jóval egyszerűbb szeret viszgálatra is megfelel.

\downarrow
 $RUD \rightarrow$ csak 1x1, melynek 2 melete elhagyható a harmadik mellett

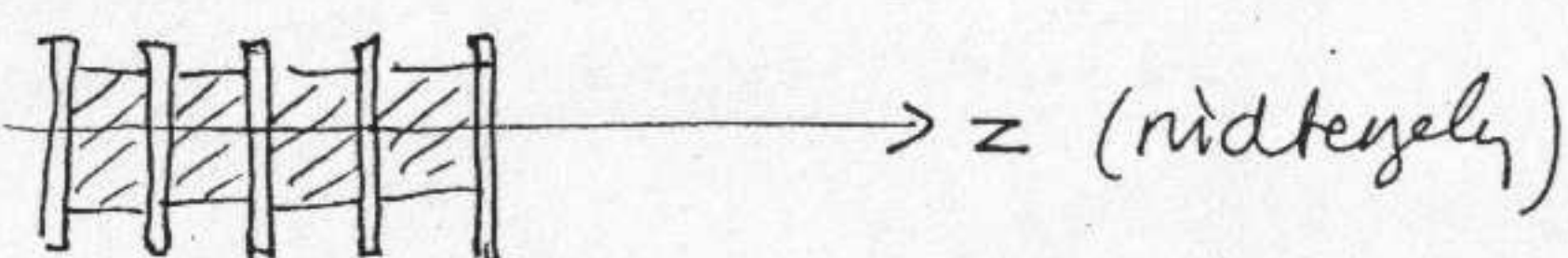


RÖDMELL



MEREV lapok esetén, körülök "rétfelület rökgy"
rökg rövid anyag.

SÍKSEJU ESET:



merv lapok \rightarrow ez a feltételezés arral
egyenértékű, hogy a nödtegelyek
merőleges meredék síkok
maradnak deformáció után
is

BERNOULLI - NAVIER hipotézis

(10)

A B-N hipotézis (a Hooke-törvényhez hasonlóan) axióma, amely bizonyos határok között jelzi a hosszanti merősséget

geometria:

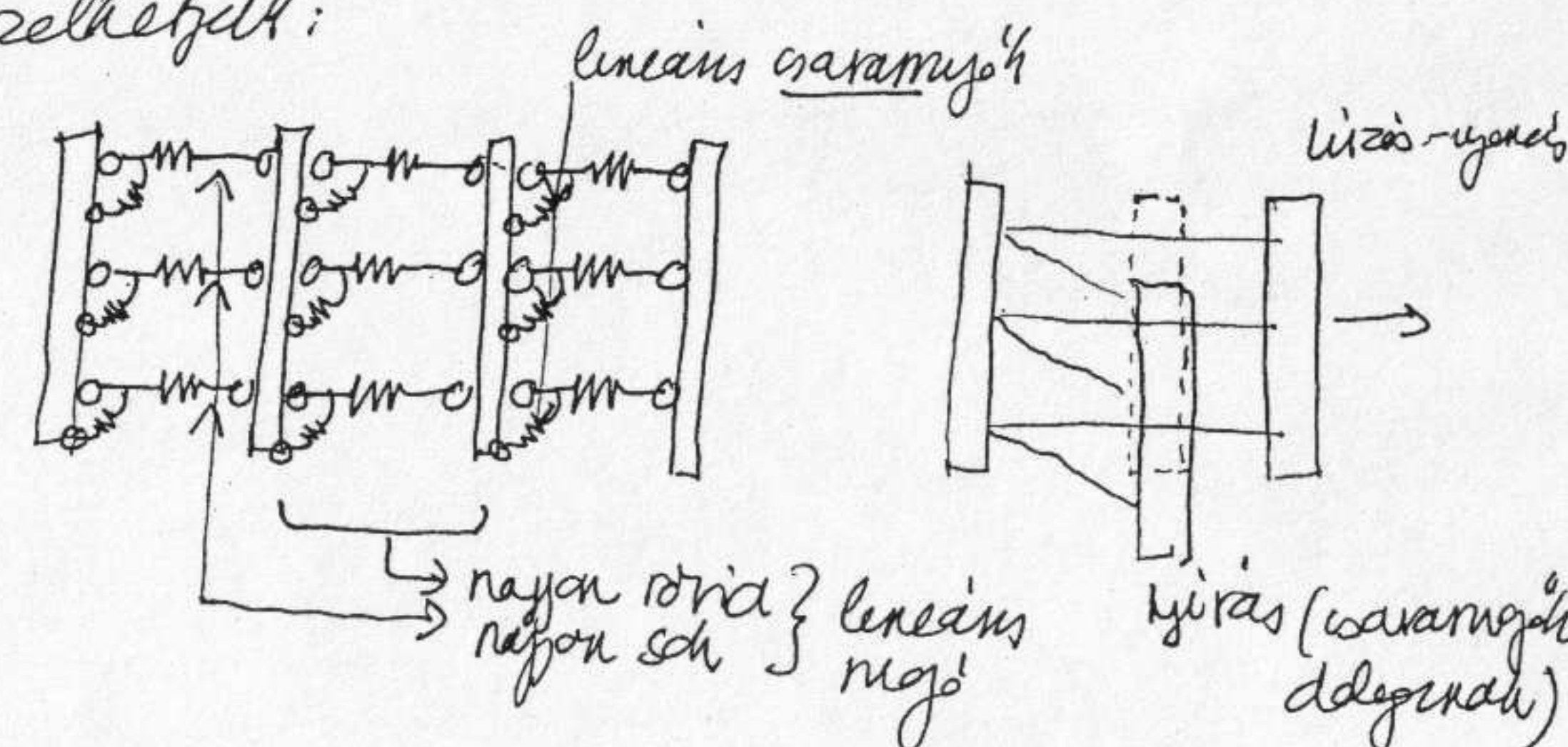


↳ $L/h = 5$
látható "RUD"
definíciója

igénybeétel: hossz - magasság - hajlítás \Rightarrow jobb
ujjás - csavarás \rightarrow prémánis

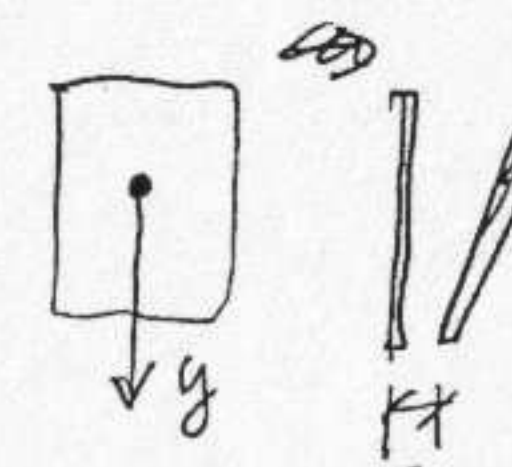
szemléletek:

Egyenes a leg előrekin a B-N rödmellelt igy
is elkezelhető:



Fenültségek ránkitásakor az keserűséget - pár
viszgálunk. Harom tipikus esetet vizsgálunk fel:

- 1) Egyenesről \rightarrow a fenültségek (elemi his mgé) egyen-
súlyt tartanak az igénybeételhez $S_{G1}=1$
 $S_{G2}=1$
- 2) Geometria \rightarrow B-N hipotézis \rightarrow keserűséget $\sigma_h \rightarrow$

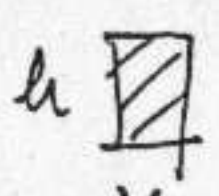


$$\begin{aligned} \epsilon &= ay + b \quad (\text{síkbeli eset}) \\ \epsilon &= ay + bx + c \quad (\text{kerbeli eset}) \end{aligned}$$

3) Ágyazásgenerálás → Hooke-féle: $\sigma = E\varepsilon$

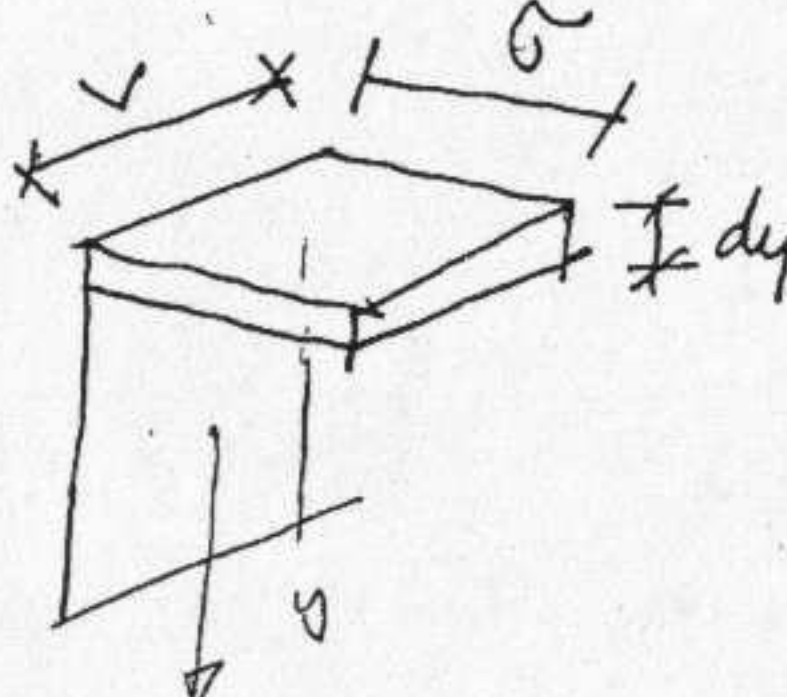
11

2.2. Fenntartók normális hozzájárulás esetén (nagy.)



Egyenletek:

$$\left\{ \begin{array}{l} 1) \text{Egyensúly: } a) \int \sigma v \, dy = F \quad (\sum F = 0) \\ b) \int \sigma v y \, dy = 0 \quad (\sum M = 0) \end{array} \right.$$



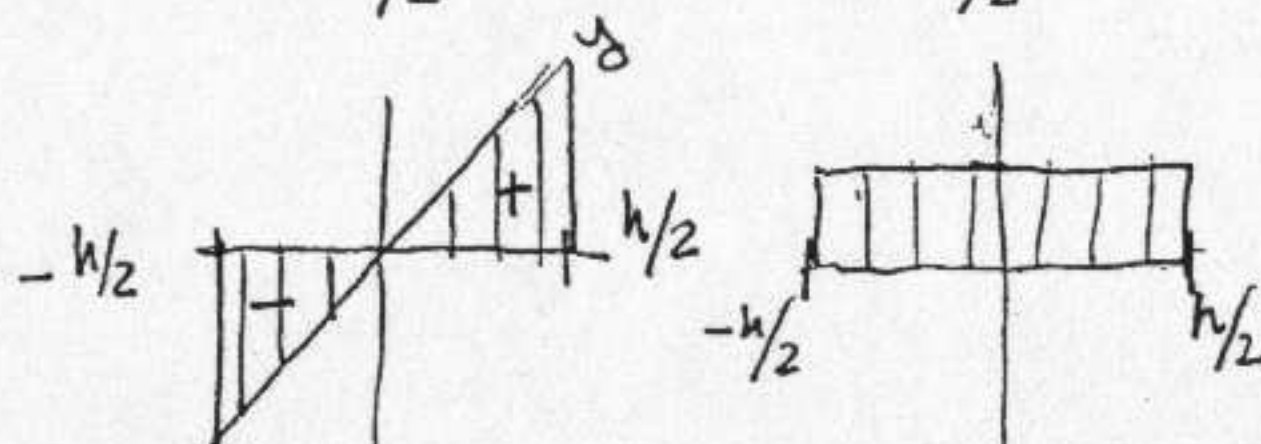
$$2) \text{Geometria: } \varepsilon = ay + b$$

$$3) \text{Ágyazásgenerálás: } \sigma = E\varepsilon$$

Megoldás: (lomerelés: a, b)

$$①) \frac{F}{V} = \int_{-h/2}^{h/2} \sigma \, dy = E \int_{-h/2}^{h/2} \varepsilon \, dy = E \int_{-h/2}^{h/2} (ay + b) \, dy$$

$$\frac{F}{Ev} = a \int_{-h/2}^{h/2} y \, dy + b \int_{-h/2}^{h/2} 1 \, dy = a \left[\frac{y^2}{2} \right]_{-h/2}^{h/2} + b \left[y \right]_{-h/2}^{h/2} = bh$$



$$\frac{F}{Ev} = bh$$

$$b = \frac{F}{EA}$$

$$②) \text{ } \nu \int \sigma y \, dy = 0$$

12

$$\int \sigma y \, dy = 0$$

③)

$$\int_{-h/2}^{h/2} \sigma y^2 \, dy + \int_{h/2}^{a/2} by \, dy = 0$$

$$a \int_{-h/2}^{h/2} y^2 \, dy = 0 \rightarrow a = 0$$

$$\text{Vimahelyettesítés: } ②) -\text{ke: } \varepsilon = b = \frac{F}{EA}$$

$$③) -ba \quad \underline{\underline{\sigma = \frac{F}{A}}}$$

Ez az eredményt korábban már jóval egyszerűbb is felírhatunk. Mivel jelez, sz a bolyalnak levezetés?

Mert az MODELL-ból következik le, világosan megfogalmatuk, hogy melyek az AXIÓMÁK, és ekkor pontosan:

↳ egyensúly
↳ B-N
↳ Hooke

matematikai után kaptuk a rajz eredményt.

Bolyalnál több igénylés esetén ugyanazra mindenkit tudjuk alkalmazni.

2.3. Képlekely határvári námitása kapcsos húrás esetén

(13)

Képlekely viselkedés esetén nem a feszültséget kérőnök ($\delta = \sigma_H$ mindenütt) hanem a hataligénybeiktelt. (Ilyen esetben F_H)

Egyenletek

① \rightarrow egyszerű a) $\int \delta v dy = F_H \quad (\sum F = 0)$
b) $\int \delta v y dy = 0 \quad (\sum M = 0)$

② geometria

$$v = ax + b$$

③ alegy

$$\delta = \text{konst!} = \delta_H$$

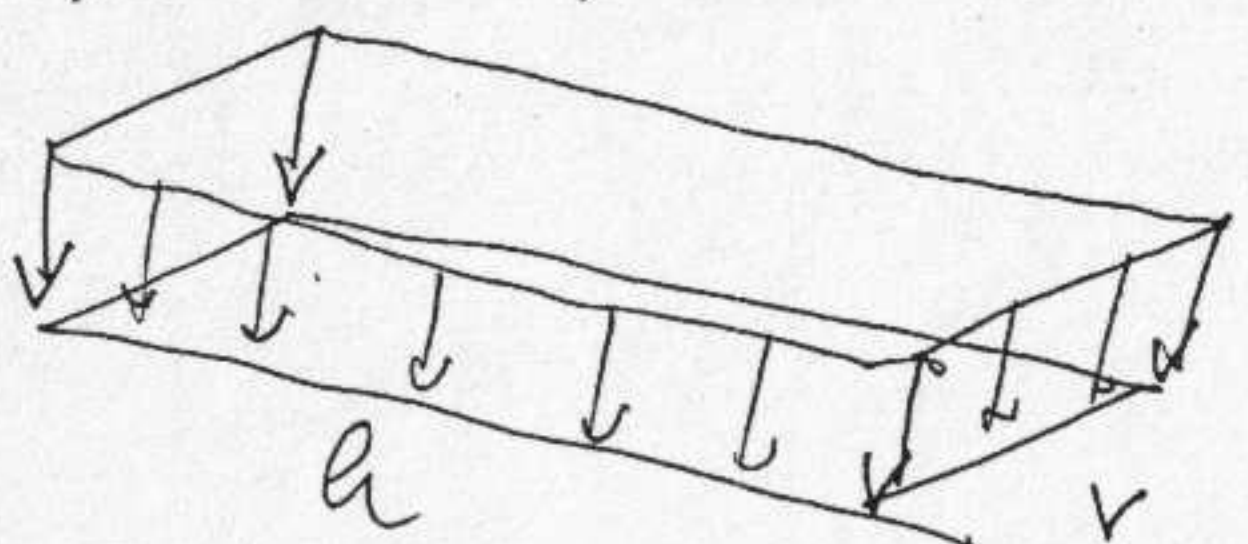
Megoldás

①/a $\int \delta v dy = \sqrt{\delta} dy = \sqrt{\delta_H} \int dy = \sqrt{h} \sqrt{\delta_H} = \underline{\underline{A\delta_H}} = F_H$

Megfelelés

A ② (geometria) egyenlet nem hinnőltük a megoldás szerint, mivel ③ nem is a gyakorlatban jelenik meg. Mindazonáltal a B-N hipotézis képlekely általban is igaz. Használó módon nem volt mindenkorban az ①/b egyenlet, arában, behelyettesítéssel ellenőrizhető, hogy az a feltétel teljesül.

$$F_H = v \cdot h \cdot \sqrt{\delta_H}$$



"Feszültségi test" \rightarrow

$\rightarrow 2$ mérték [cm],
 1 mérték [MN/cm^2] \rightarrow

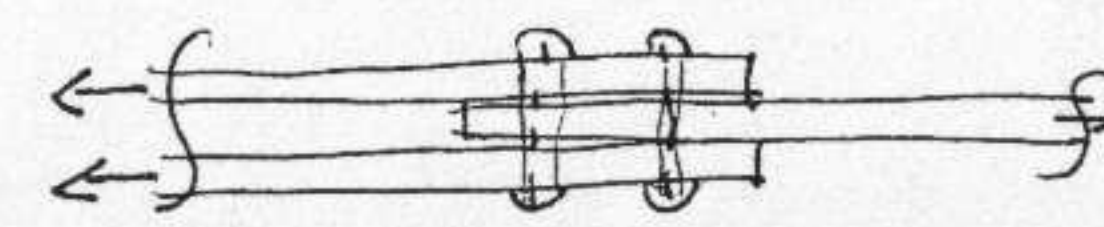
Térjegy: $\text{J cm} \cdot \text{cm} \cdot \frac{\text{MN}}{\text{cm}^2} / \text{J/kN}$

2.4. Feszültségek námitása tanta girás esetén

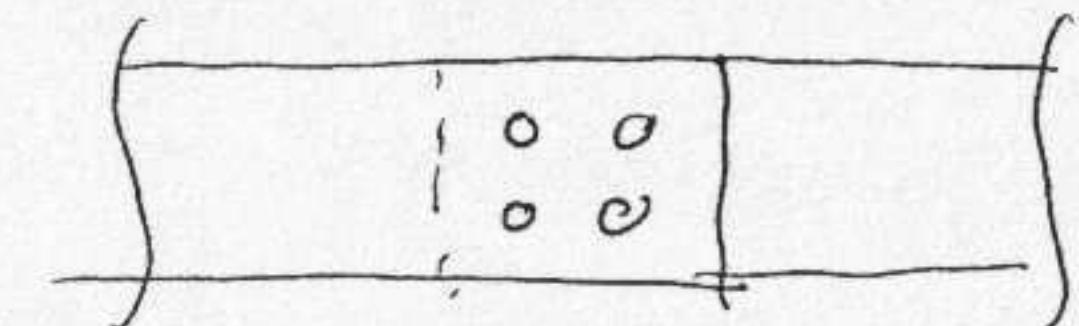
(14)

Tanta girás \rightarrow nyírás hajtókis részük

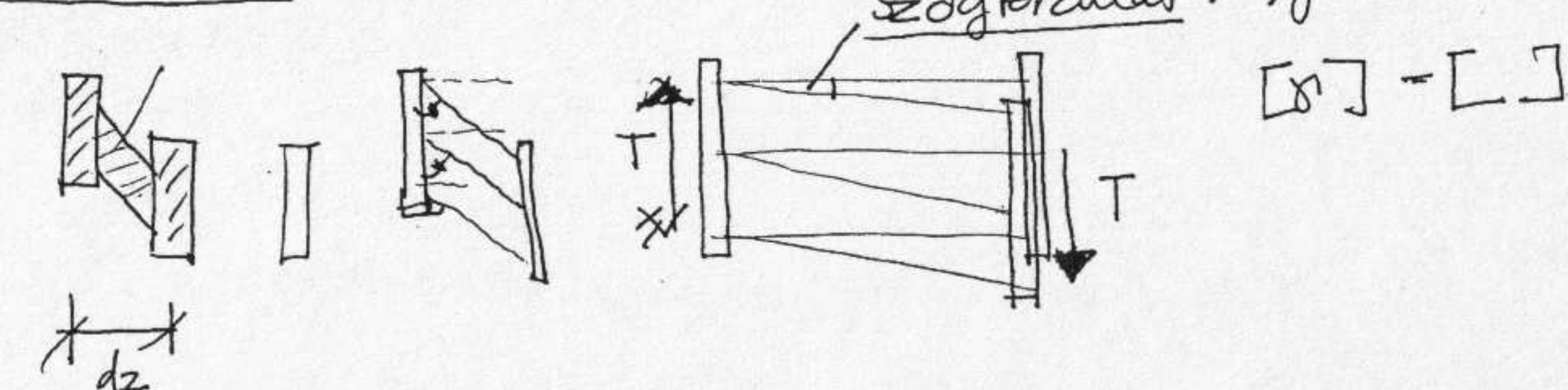
pl. Sugár - hossz



így akar elgyűrdeni a negyest.



Rövidmodell viselkedése



Az alegylet nyírás deformációja
(a Hooke-törzsi analógiájára) $\gamma = G \gamma$

$G \rightarrow$ nyírasi nyúlmaszgi modulus

Osztályozás G és E között: $G = \frac{E}{2(1+\nu)}$

Poisson nám

Egyenletek

- ① egyszerű $\int \gamma dy = T$
- ② geometria $\gamma = \text{konst!} = a$
- ③ alegy $\gamma = G \nu$

Megoldás

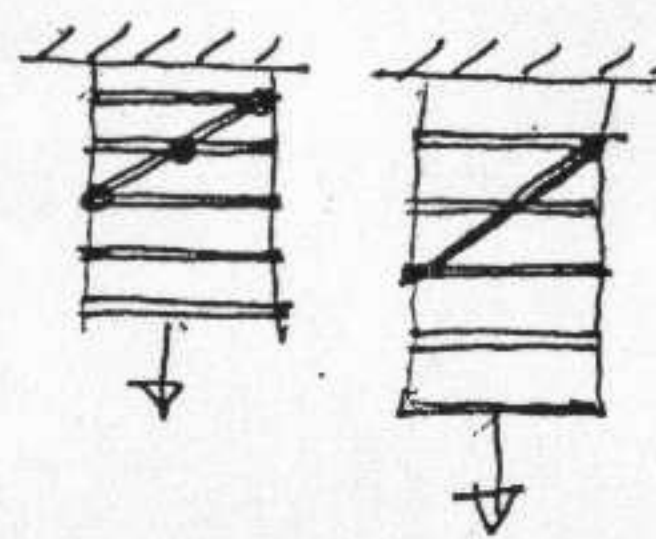
③ $T = \int \gamma dy = \int G \nu dy = \nu G \int dy = \nu G \cdot \underline{\underline{A}}$

$$\frac{T}{AG} = a = \nu \quad \underline{\underline{\nu = \frac{T}{A}}}$$

2.5 Ferde metretelen félkör "fenültséges"

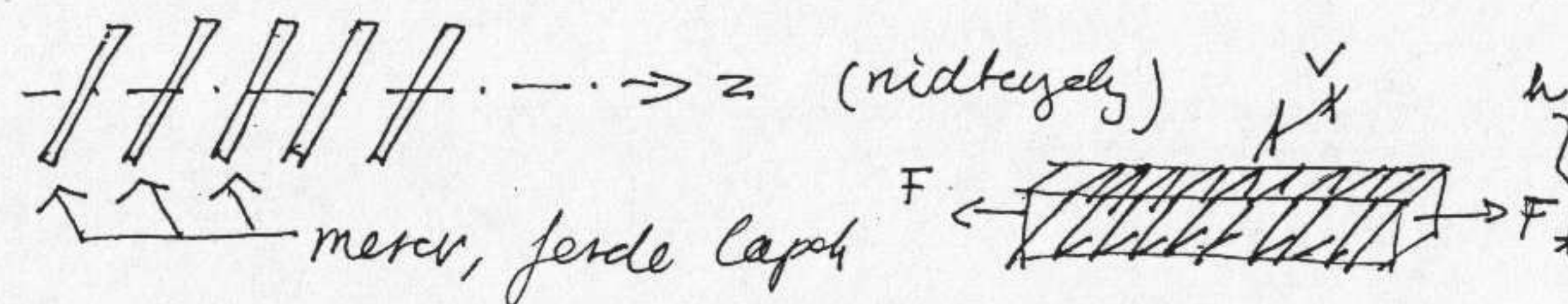
Csak horizontális húrás esetén →

ha a rácsfüggő + metretető síkban maradrak, akkor a félkör metretel is ekkor maradrak.



(15)

Itt fejtik alkalmazhatatuk ezen modellt is:



Számításuk ki a fenültséget horizontális húrás esetén az eddigi módonak:

Egyenletek

① igényelvű

a) km síkjára ⊥

$$\sqrt{\int G du} = F \cos \alpha$$

b) km síkjárat 1

$$\sqrt{\int \tau du} = F \sin \alpha$$

c) igomátrás

$$\sqrt{\int G u du} = 0$$

② geometria

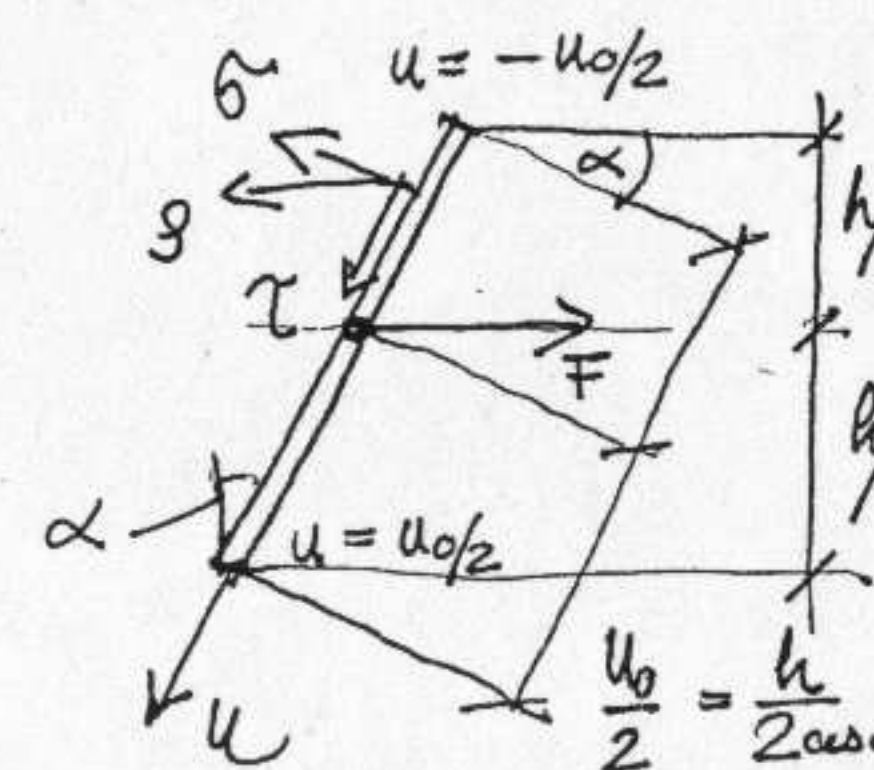
$$a) \epsilon = au + b$$

$$b) \gamma = c$$

③ alegy

$$a) G = E \epsilon$$

$$b) \gamma = \theta x$$



Ferde metret tentete

$$\bar{A} = A / \cos \alpha$$

Megoldás

$$\begin{aligned} ①/a \quad F \cos \alpha &= \sqrt{\int G du} = \sqrt{E} \int \epsilon du = \sqrt{E} \int (au + b) du = \\ &= \sqrt{E} \underbrace{\int a u du}_{\phi} + \sqrt{E} b \int du = u_0 \sqrt{E} b \end{aligned}$$

$$b = \frac{F \cos \alpha}{E \bar{A}}$$

$$\begin{aligned} ①/c \quad \sqrt{\int G u du} = 0 &\rightarrow \int \epsilon u du = 0 \rightarrow a \underbrace{\int u^2 du}_{>0} + b \underbrace{\int u du}_{\phi} = 0 \end{aligned}$$

$$\begin{aligned} ①/b \quad F \sin \alpha &= \sqrt{\int \tau du} = \sqrt{G C} \int du = \sqrt{G C} u_0 = G C \bar{A} \\ c &= \frac{F \sin \alpha}{G \bar{A}} \end{aligned}$$

Vizsgáljunk:

$$G = \frac{F \cos \alpha}{\bar{A}} = \frac{F}{A} \cos^2 \alpha \quad \gamma = \frac{F}{A} \sin \alpha \cos \alpha$$

$$\tan \beta = \frac{\gamma}{\sigma} = \frac{\sin \alpha}{\cos \alpha} = \tan \alpha \rightarrow \text{g paralelles a rácsfüggel!}$$

Hogyan fogj G-est gamma-ot értékelni?

Ez más ferdelegű állapot visszajárat

(16)

$$\frac{dG}{d\alpha} = \frac{F}{A} 2 \cos \alpha \sin \alpha$$

$$\frac{dG}{d\alpha} = 0 \text{ ha } \alpha = \frac{\pi}{2}$$

$$\text{ha } \alpha = 0 \text{ alber } G = \frac{F}{A}$$

$$\alpha = 90^\circ \quad G = \emptyset$$

$$\frac{d\gamma}{d\alpha} = u'v - v'u - (\cos^2 \alpha - \sin^2 \alpha) \frac{F}{A} \quad \frac{d\gamma}{d\alpha} = 0 \text{ ha } \sin^2 \alpha = \cos^2 \alpha$$

$$2 \cos^2 \alpha = 1$$

$$\cos \alpha = \pm \frac{1}{\sqrt{2}}$$

$$\alpha = 45^\circ \pm k 90^\circ$$

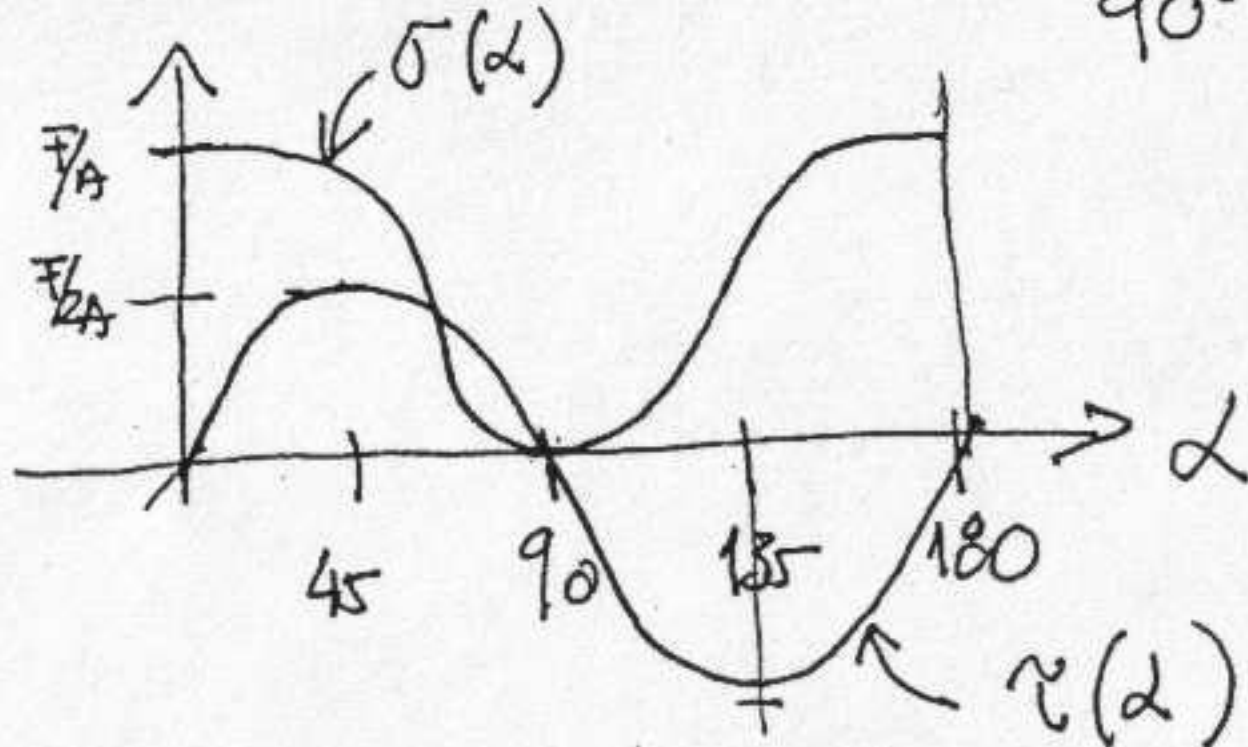
$$\text{ha } \alpha = 45^\circ, \text{ alber } \gamma = \frac{1}{2} \frac{F}{A}$$

$$-45^\circ \quad \gamma = -\frac{1}{2} \frac{F}{A}$$

$$0^\circ \quad \gamma = 0$$

$$90^\circ \quad \gamma = 0$$

Abrázolva:



Figyejük meg, hogy $\alpha = 90^\circ$ esetén $G = \gamma = 0$! \rightarrow
fenntartás nélkül \rightarrow s a műtárgy teljesen párhuzamos!

Példa gyakorlati körtörésekre

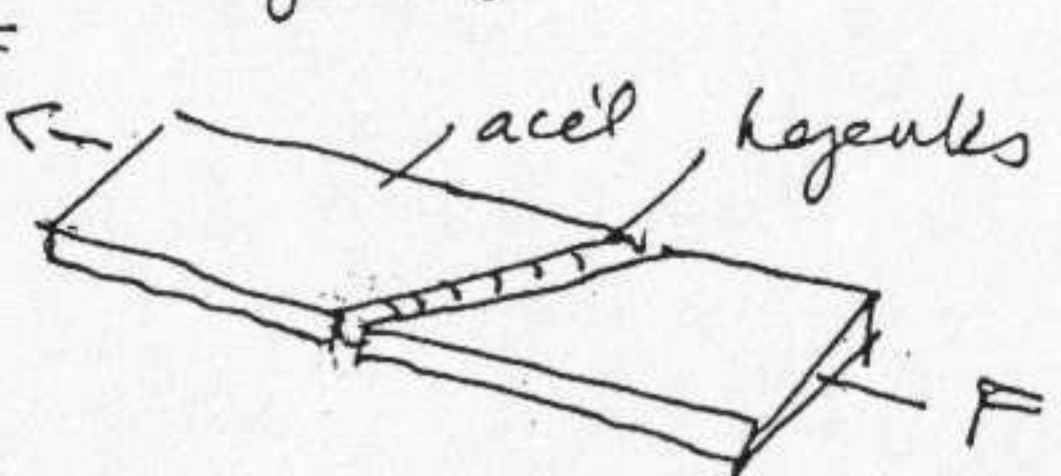
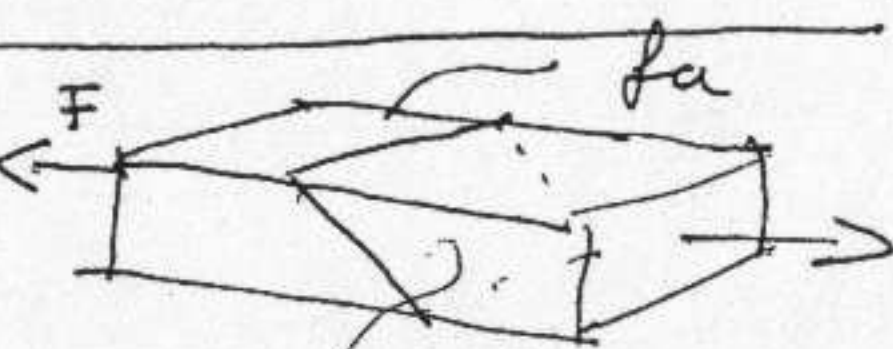
Húzott elem toldással, ha jelen

toldunk, akkor $G < F/A$, toldt a

kapszula alyag lehet szerepelni az

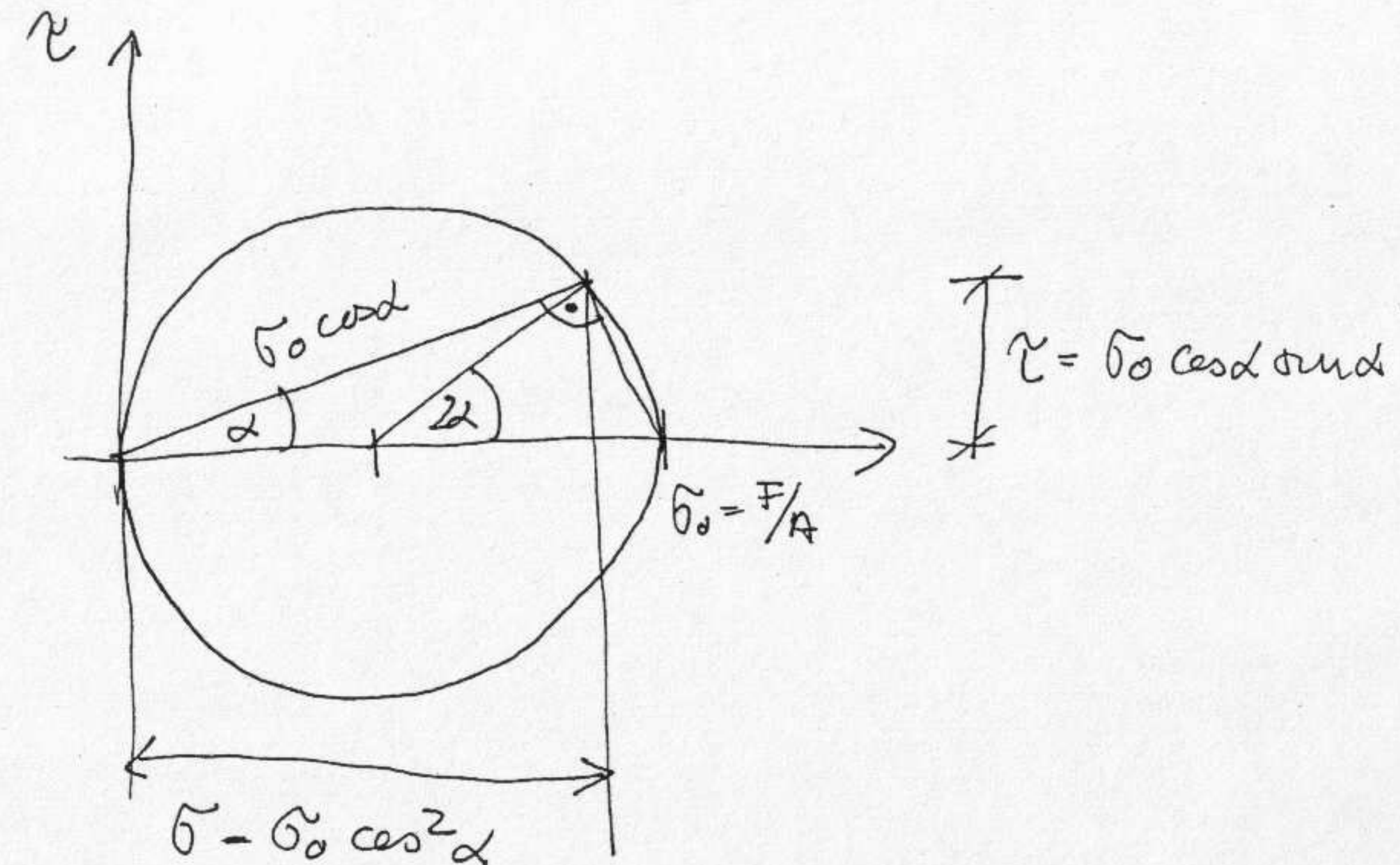
alapanyagnál. Ugyanakkor nyílás,

is mehetnek lebb!



17

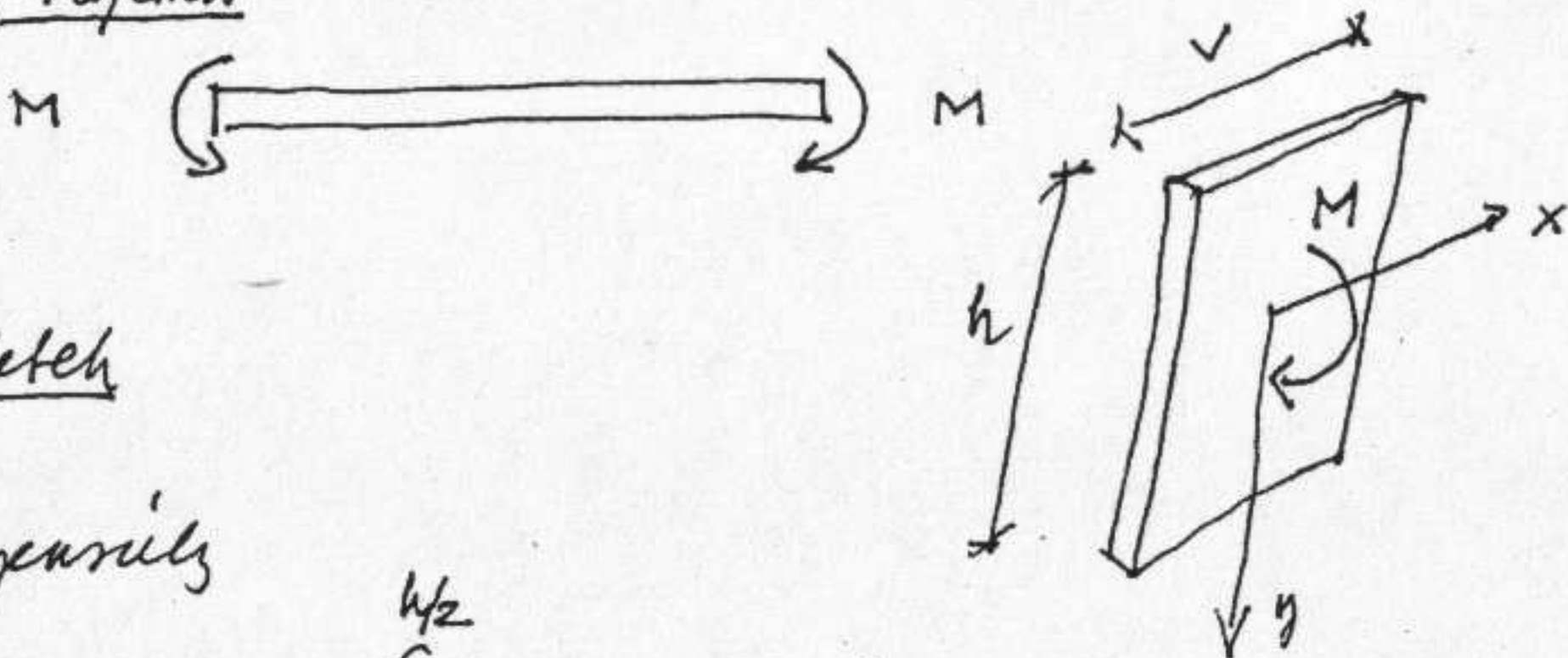
Működési keret összetevői. G - γ elválasztás



18

2.6 Tiszta Hajlítás - nyújtás alapon

Egyenes Hajlítás



Egyenletek

① Egyenletek

$$a) \nu \int \tilde{b} dy = 0 \quad (\Sigma F = 0)$$

$$b) \nu \int \tilde{b} y dy = M \quad (\Sigma M = 0)$$

② Geometria

$$E = ay + b \quad \leftarrow \begin{array}{l} \text{JH téllezések fel, koff} \\ \text{"egyenes" hajlítás, vagyis a} \\ \text{hajlítás síkjá + a s.t.-re} \end{array}$$

③ Árajz

$$\tilde{\sigma} = E E$$

Megoldás

$$①/a \quad \nu \int \tilde{b} dy = \nu E \int \tilde{E} dy = \nu E \int (ay + b) dy = \underbrace{\nu E a \int y dy}_{0} + \underbrace{\nu E b \int dy}_{\neq 0} = 0$$

$$①/b \quad \nu \int \tilde{b} y dy = \nu E \int (ay^2 + by) dy = \nu E a \int y^2 dy + \underbrace{\nu E b \int y dy}_{\emptyset} = M$$

$$\hookrightarrow a = \frac{M}{\nu E \int y^2 dy} - \frac{M}{E \int y^2 dy} \underbrace{\frac{dy}{dA}}_{dA} = \frac{M}{E \int y^2 dA}$$

$$E = \frac{My}{E \int y^2 dA}$$

$$\tilde{\sigma} = \frac{My}{\int y^2 dA}$$

$$\boxed{\int y^2 dA \Rightarrow J_x} \rightarrow \text{inercia, yomáshat}$$

$$\tilde{\sigma} = \frac{M}{J_x} y$$

19

A'ltalános eset (fordított hajlítás)

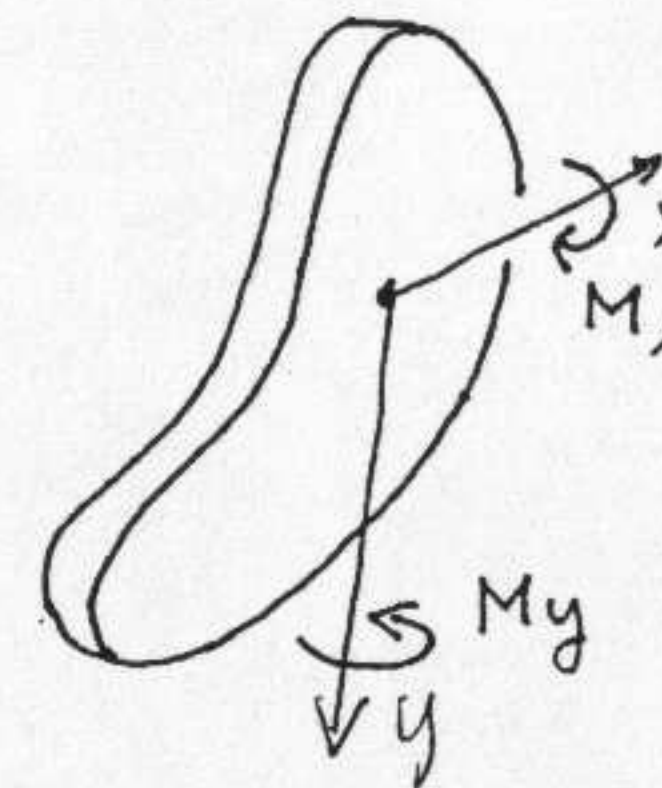
Egyenletek

① Egyenletek

$$a) \int \tilde{b} dA = 0$$

$$b) \int \tilde{b} y dA = M_x$$

$$c) \int \tilde{b} x dA = M_y$$



② Geometria

$$E = ax + by + c$$

③ Árajz

$$\tilde{\sigma} = E E$$

Megoldás

$$①/a \quad \int \tilde{b} dA = E a \int x dA + E b \int y dA + E c \int dA = 0$$

$$\underbrace{S_x = 0}_{\text{szigpanti}} \quad \underbrace{S_y = 0}_{\text{felezésh!}} \quad \underbrace{A}_{\text{A}}$$

$$\hookrightarrow \boxed{c = 0}$$

$$①/b \quad \int \tilde{b} y dA = E a \int xy dA + E b \int y^2 dA = M_x$$

$$\boxed{\begin{array}{l} \text{dendres v.} \\ \text{fordítottgörbék!} \end{array}} \quad \underbrace{D_{xy}}_{J_x}$$

$$\begin{aligned} E a D_{xy} + E b J_x &= M_x \\ E a J_y + E b D_{xy} &= M_y \end{aligned} \quad (*)$$

①/c

$$\boxed{a = \frac{1}{E} \frac{-M_x D_{xy} + M_y J_x}{J_x J_y - D_{xy}^2}}$$

$$\boxed{b = \frac{1}{E} \frac{M_x J_y - M_y D_{xy}}{J_x J_y - D_{xy}^2}}$$

$$\tilde{\sigma} = \frac{-M_x D_{xy} + M_y J_x}{J_x J_y - D_{xy}^2} x + \frac{M_x J_y - M_y D_{xy}}{J_x J_y - D_{xy}^2} y \quad (**)$$

Ha $M_y = 0$ és $D_{xy} = 0$, akkor $\tilde{\sigma} = \frac{M_x}{J_x} y$ (előző eset).

2.7 Műszcdrendűk átmérőjének tulajdonságai és használata

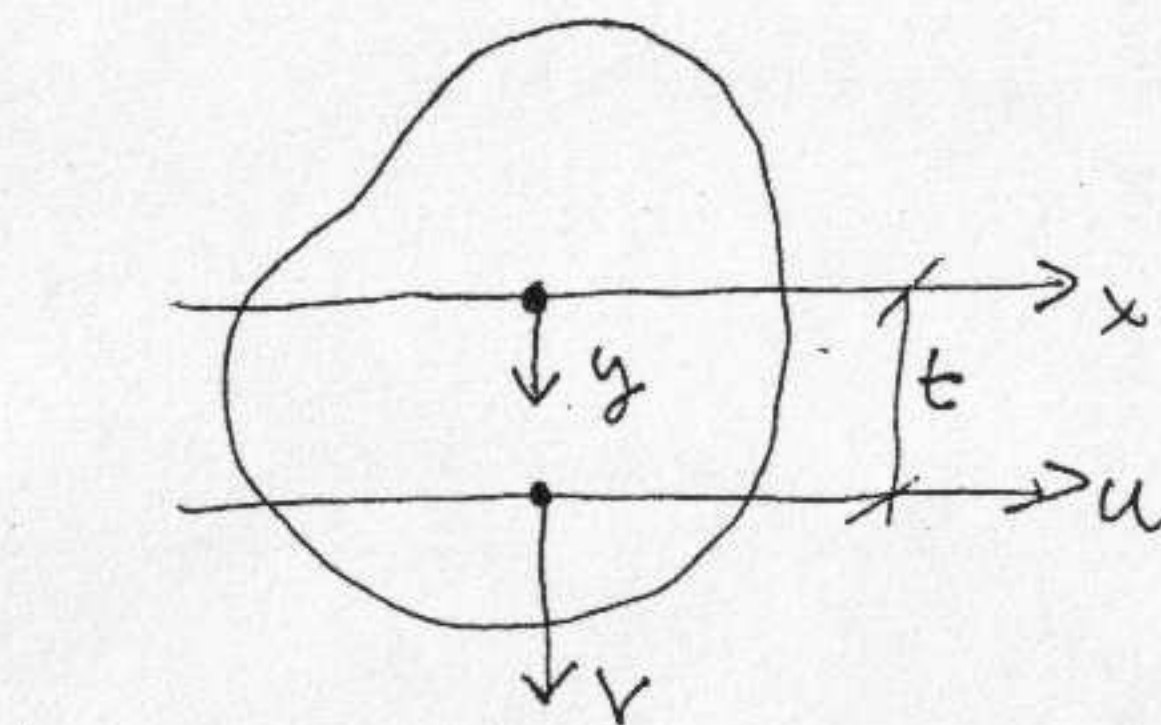
21

Definíció

$$J_x = \int y^2 dA \quad J_y = \int x^2 dA \quad D_{xy} = \int xy dA$$

$J_x, J_y > 0!$ Inerciaegységek csak zérus merőleges (pont) hosszantosság esetén lehet zérus.

Tengely áthelyezés



Feladat: Ju meghatározása
 J_x és A felülettel
inerciaegységen

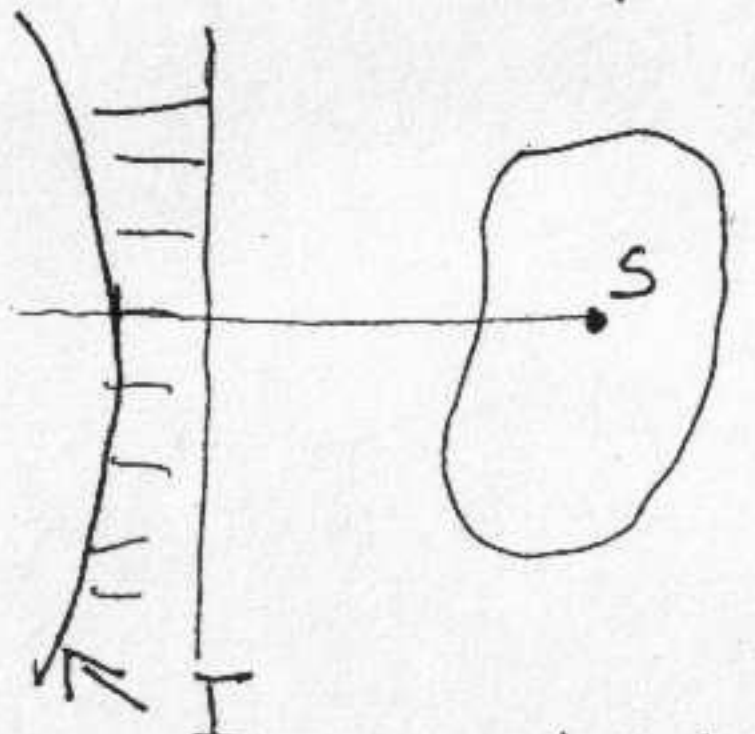
$$\boxed{Ju = \int v^2 dA = \int (y-t)^2 dA =}$$

$$\underbrace{\int y^2 dA}_{J_x} + \underbrace{\int t^2 dA}_{t^2 A} - 2 \underbrace{\int ty dA}_{2tS_x} = \emptyset$$

$$= \boxed{J_x + t^2 A}$$

STEINER-tétel

$$\boxed{J_x = Ju - t^2 A}$$



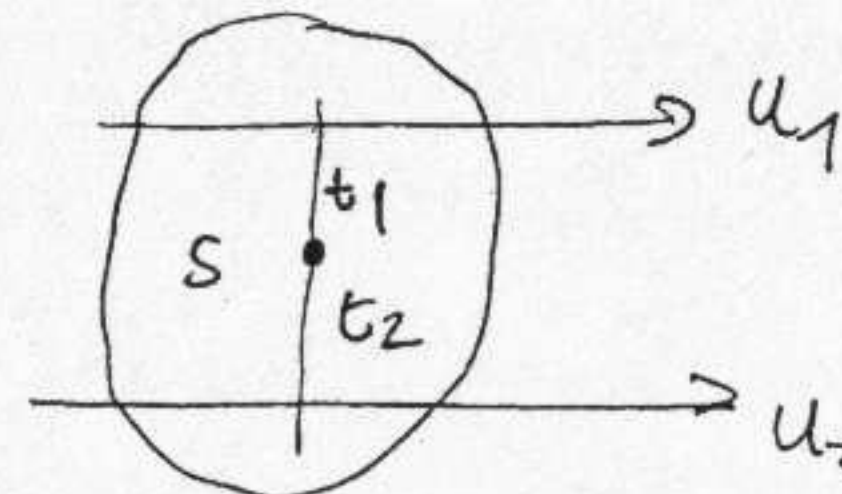
A Steiner-tétel nemzet parkeránes tengelyekhez mindenkor a szögponti tengelyre a legjobban az inerciaegységek.

Ha nem sp. tengelyről (vegy tengelyre) kerünk át,
akkor 3 tagból áll az átforgás!

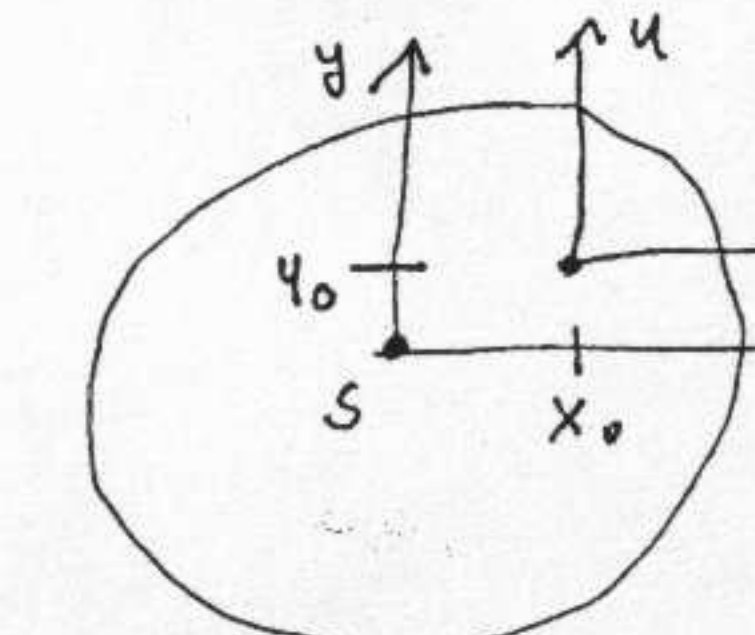
$$Ju_2 = Ju_1 - t_1^2 A + t_2^2 A =$$

$$Ju_1 + A(t_2^2 - t_1^2)$$

$$\hookrightarrow \text{Ha } t_1 = t_2, \text{ akkor } Ju_1 = Ju_2$$



STEINER-tétel D_{xy} szerint:



$$u = x - x_0$$

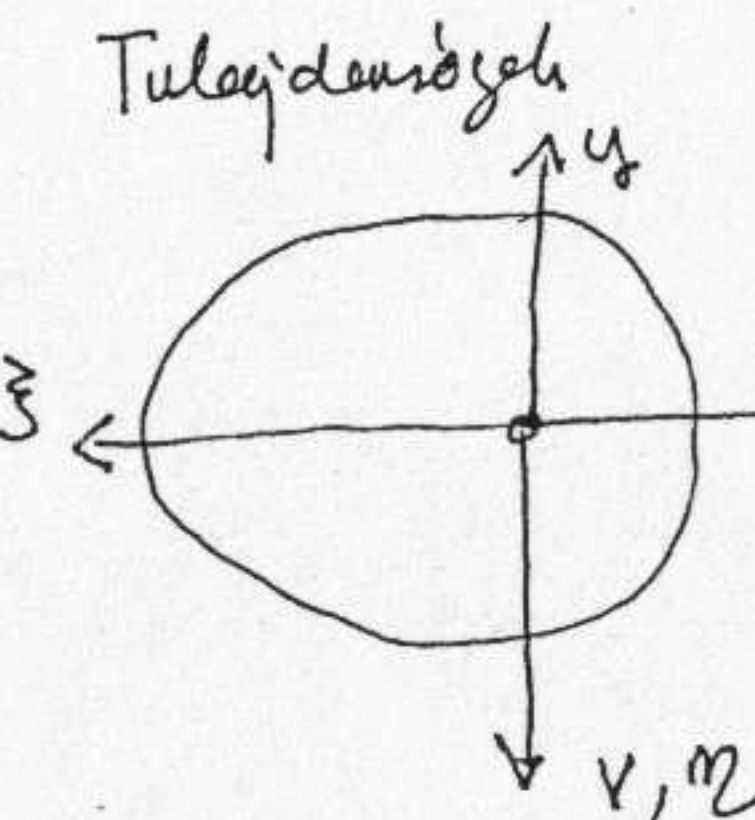
$$v = y - y_0$$

$$\int uv dA = \int (x-x_0)(y-y_0) dA =$$

$$\underbrace{\int xy dA}_{D_{xy}} - \underbrace{x_0 \int y dA}_{x_0 S_y} - \underbrace{y_0 \int x dA}_{y_0 S_x} + \underbrace{x_0 y_0 \int dA}_{A} =$$

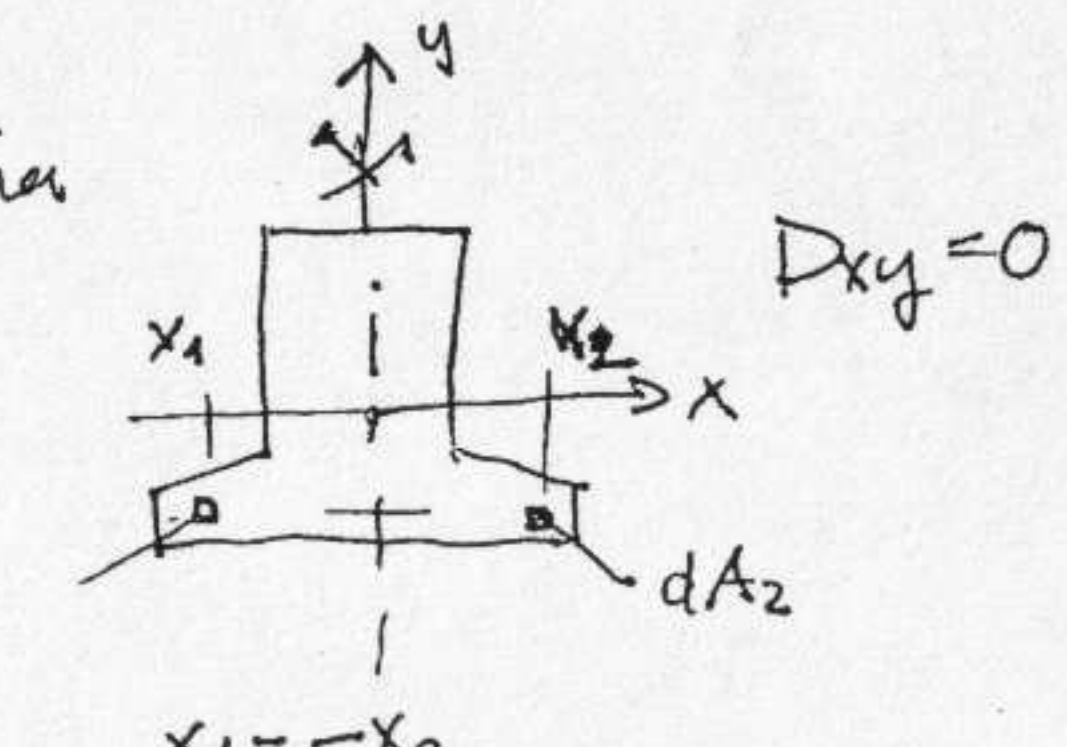
$$D_{xy}$$

$$= D_{xy} + x_0 y_0 A$$



$$D_{xy} = -D_{uv} = D_{\bar{x}\bar{y}}$$

Symmetria



$$x_1 = -x_2$$

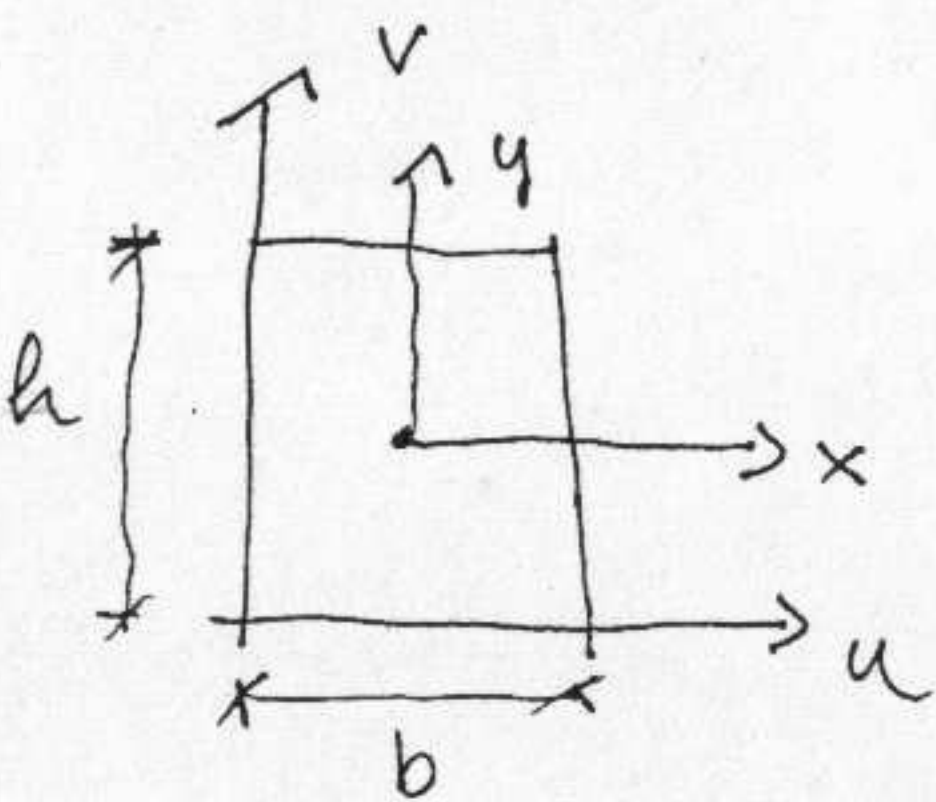
$$y_1 = y_2$$

$$x_1 y_1 = -x_2 y_2$$

$$dA_1 x_1 y_1 + dA_2 x_2 y_2 = \emptyset$$

Példa merre - gyakorlati hindamításra

Téglalap



$$J_u = \int v^2 dA = b \int v^2 dv = b \left[\frac{v^3}{3} \right]_0^h = \frac{bh^3}{3}$$

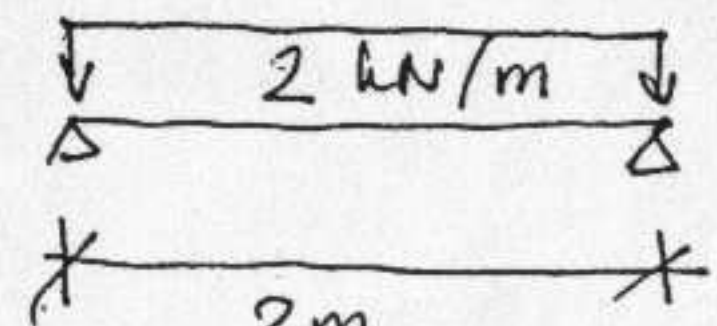
$$J_x = J_u - b \cdot h \cdot \left(\frac{h}{2} \right)^2 = \frac{bh^3}{12}$$

$$J_y = \frac{bh^3}{12}$$

Példa 5. rögzítésára

20

10

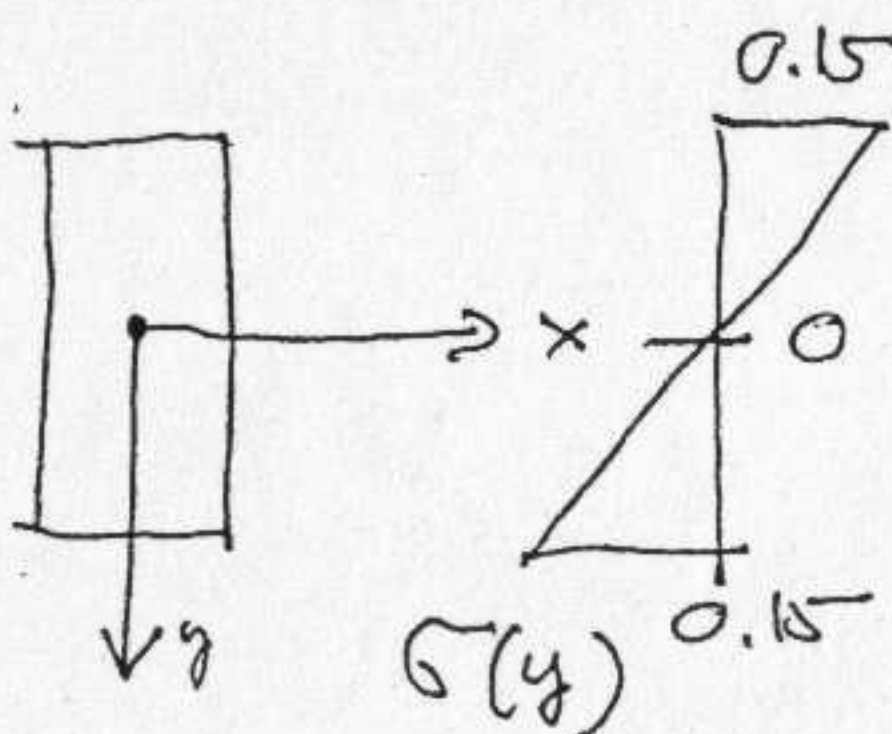


$$M_u = \frac{q l^2}{8} = \frac{2 \cdot 4}{8} = 1 \text{ kNm} = 100 \text{ kNm}$$

$$J_x = \frac{10 \cdot 20^3}{12} = \frac{80000}{12} = 6666.67$$

$$\sigma_{\max} = \frac{100}{6666.67} \cdot 10 = 0.15 \text{ MN/cm}^2$$

$$\sigma(y) = \frac{100}{6666.67} \cdot y = 0.015y$$



(23)

2.8 A ferde Hajlás önmegfejezéinek értelmezése

24

Az ①/b - ①/c esetekben (*) kifejtése az alábbi formában is írható:

$$E \underline{I} \underline{n} = \underline{M},$$

ahol E a ny. modulus, (skalars)

\underline{I} a kerametmet $\begin{bmatrix} I_x & D_{xy} \\ D_{xy} & I_y \end{bmatrix}$ tekercsesei matrixa

\underline{n} a szimmetrikus $\begin{bmatrix} a \\ b \end{bmatrix}$ normálrichter

\underline{M} a hajlíthatósági $\begin{bmatrix} M_x \\ M_y \end{bmatrix}$ vektora.

Ezek részint a ferde hajlás (lin.rag. esetben) felfogható eg lineáris vektor-vektor függvényt, nevezéssel

n normálrichteres eg M nyomatékvektort rendel közzé.

(A 5-ötől rendeltőképpen bármelyikból áttek. ered. koff. bennük nincs ezen fizikai irány érdekel, amelyet eg M vektorral adja meg a szimmetrikus n normálisirány)

Minden lin. vektor-vektor függvény (tenzer) rendelhető az alábbi tulajdonságokkal:

a) Létezik gyakorlati merőleges a tenzer osztály "bemenő" vektorba használt váltastolja meg, utat nem. → Ebből következik, hogy van olyan $[1, 2]$ koordinátkördináter, ahol az \underline{I} matrix $\begin{bmatrix} J_1 & 0 \\ 0 & J_2 \end{bmatrix}$ alakú.

Ezket az $\underline{I} [1, 2]$ eredetét főrendszerek néven nevezik,

az J_1, J_2 merőleges részleg főmerőlegesek. A

főrendszek $[1, 2]$ koordináta-rendszereben $D_{12} = 0$.

b) Rögz 2 főrágy van, rögz nyitás.

(4)

25

→ Körön belül megtáplítettük, hogy szimmetria-tengelyel párhuzamos koordináta-rendszerben $D_{xy}=0$. Ezért nem ez egyben főtengely - koordináta-rendszer.

Ha a kerületmetrikai van 2 olyan szimmetria-tengelye, melyek egymásra nem merőlegesek, akkor ebből 4 főrágy létrejön körökben, azaz a) főtengelyes alapján arányban eltarthat minden irány förágy. Ilyen kerületmetrikai például minden szimmetria poligon: $\triangle \square \diamond \text{stb.}$

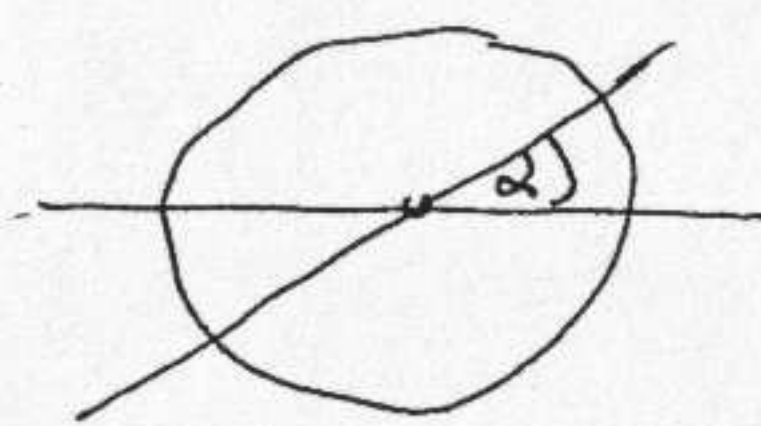
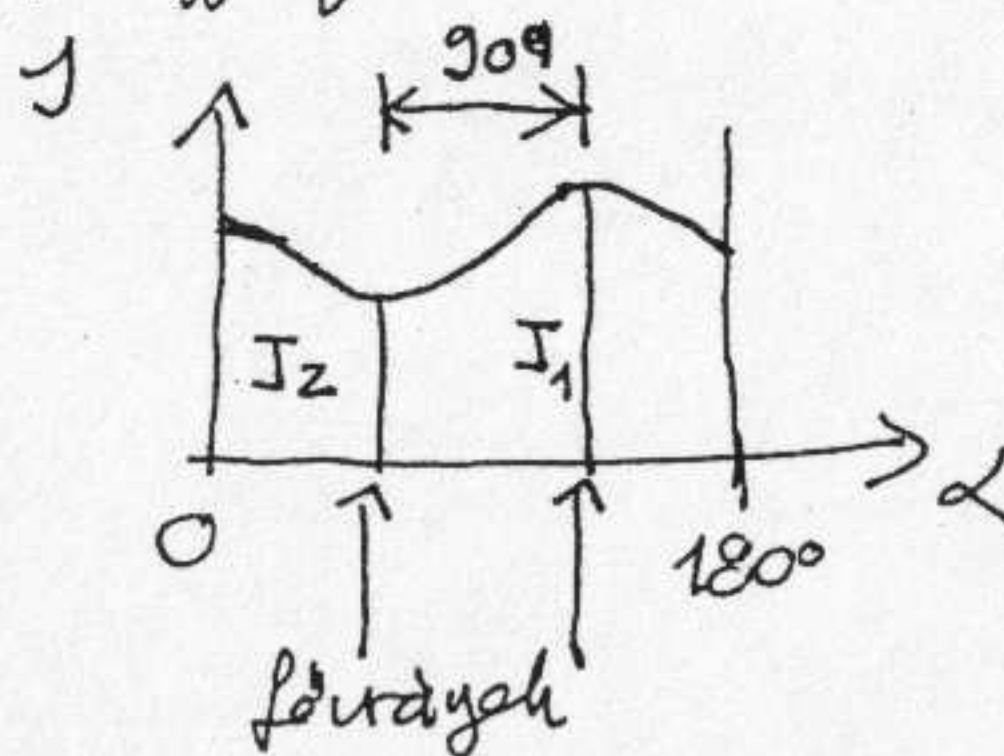
Megjölesés: Ezért nem pl. a négyzet inercia-egyenletek minden tengelyre vonatkozik. Ez nem azt jelenti, hogy az \square kerületmetrikai módat eppenmáig csak $\begin{smallmatrix} a \\ b \end{smallmatrix}$ az "a" vagy "b" tengely körül hajlítsani, íme.

Rávan azt, hogy az általunk tanulált modell (B-N képletek, Hooke-térnyelv) nem tud tükrözéshez vonni a szimmetriás objektumokat és a körök között.

A förtengelyek körökből főtengelyesek:

Az I inercia-felikrától az a rögz $I(x)$

fürgezhetünk



Az $I(x)$ forgatás a förtengelykörön vonatkozóan fel növelhető.

Mivel a förtengelykörön $D_{xy}=0$, ezért a 5-ra szerzett leípletet (**) felhasználva egyszerűsítik ilyen koordináta-rendszereket:

$$\vec{G} = \frac{M_y}{J_y} x + \frac{M_x}{J_x} y \quad (\text{F}_z \text{ nem más, mint két egynél hajlítható egymáshoz közelíteni})$$

Ezért nem általános (fordított) hajlítás esetén két út körülhető:

a) Ha a km. szimmetrikus, akkor a förtengelyek összessége. Cílnemű az M váltás ebben a koordináta-rendszereben felbontani és a jövőlegi a 2. egynél hajlítás egymáshoz közelíteni.

b) Ha a km. nem szimmetrikus, és a förtengely más fordításból nem szimmetrikus, akkor célnemű a (**) leípletet alkalmazni.

A förtengelyekhez minden joghatárcsatorna a

$$\operatorname{tg} 2\varphi_0 = \frac{-2D_{xy}}{J_x - J_y}$$

leípletéből, amelyben φ_0 a rögzölt inercia-egyenletek tengelye és az 1. förtengely köréti nézet jele. (Az esedeli tengelyt önmagával ellentétesen kell φ_0 -val elforgatni.)

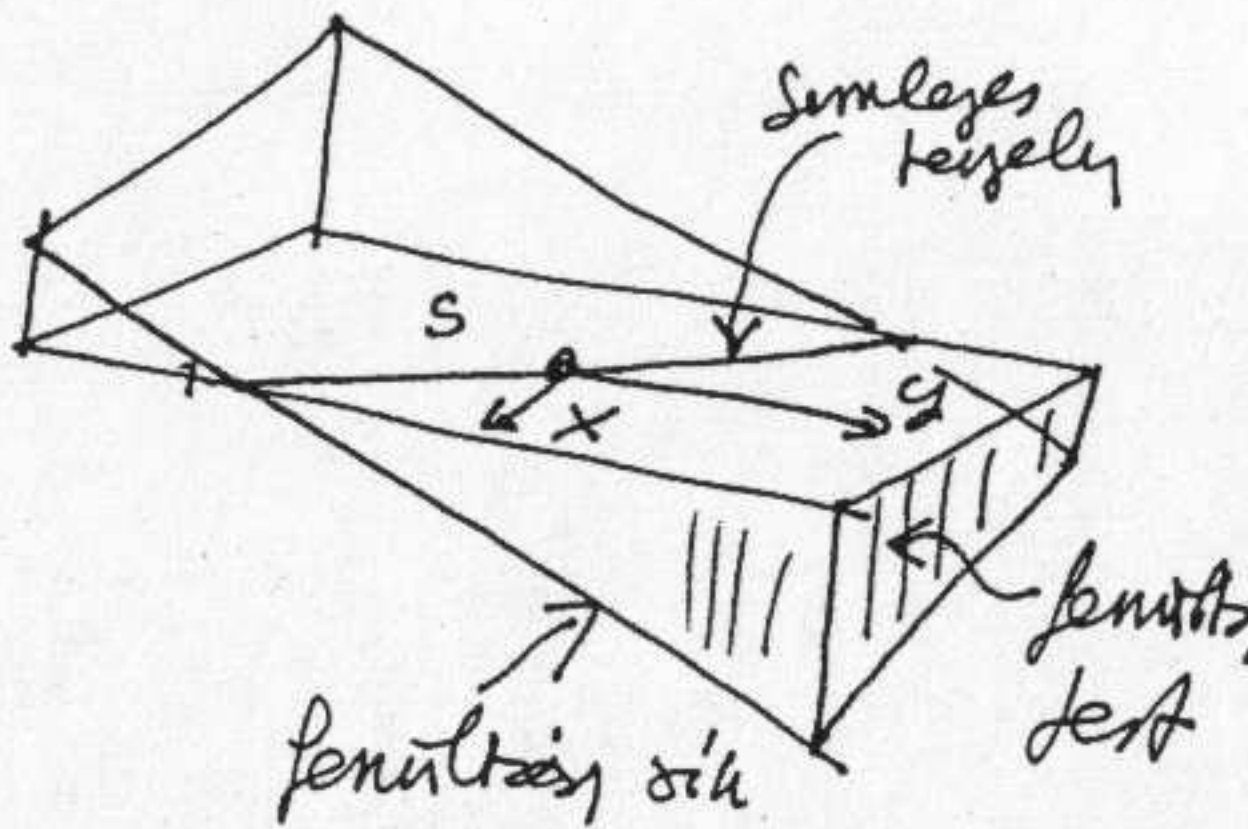
2.9 Fenültszíűbőr ferde hajlás esetén.

Tegyük fel, hogy a fókuszoltád ismertek.

Semleges terjely szabálye:

$$\frac{M_x}{J_x} y + \frac{M_y}{J_y} x = 0$$

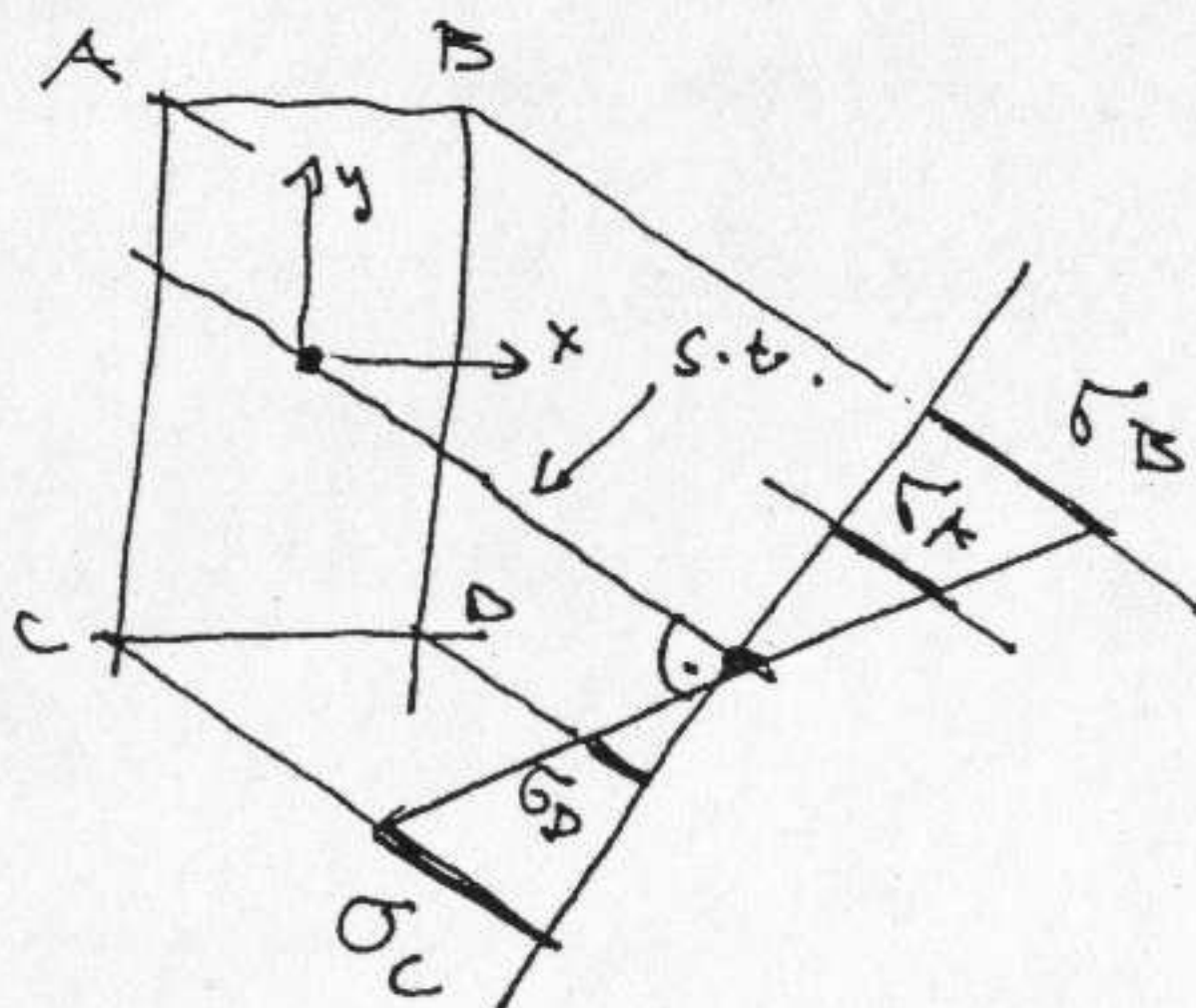
$$\text{s.t.: } y = -\frac{J_x M_x}{J_y M_y} x$$



Fenültszíű rész is kom. síkjának általára



s.t.-re t-en relítre 5. ábra egyetlen rész:



Mivel a sp.-ba $\bar{\sigma}=0$, ezért elvilyelőlegendő egyetlen $\bar{\sigma}$ érték rendelhető, a többirek ellenkezője kell az egyenesre.

2.10 Képlékeny hajlás

Egyenletek

① egyszerűs

$$\int \bar{\sigma} dA = 0$$

$$\int \bar{\sigma} x dA = M_y$$

$$\int \bar{\sigma} y dA = M_x$$

② geometria

$$\epsilon = ax + by + c$$

③ fizikai

$$\bar{\sigma} = \text{sgn}(\epsilon) \bar{\sigma}_H$$

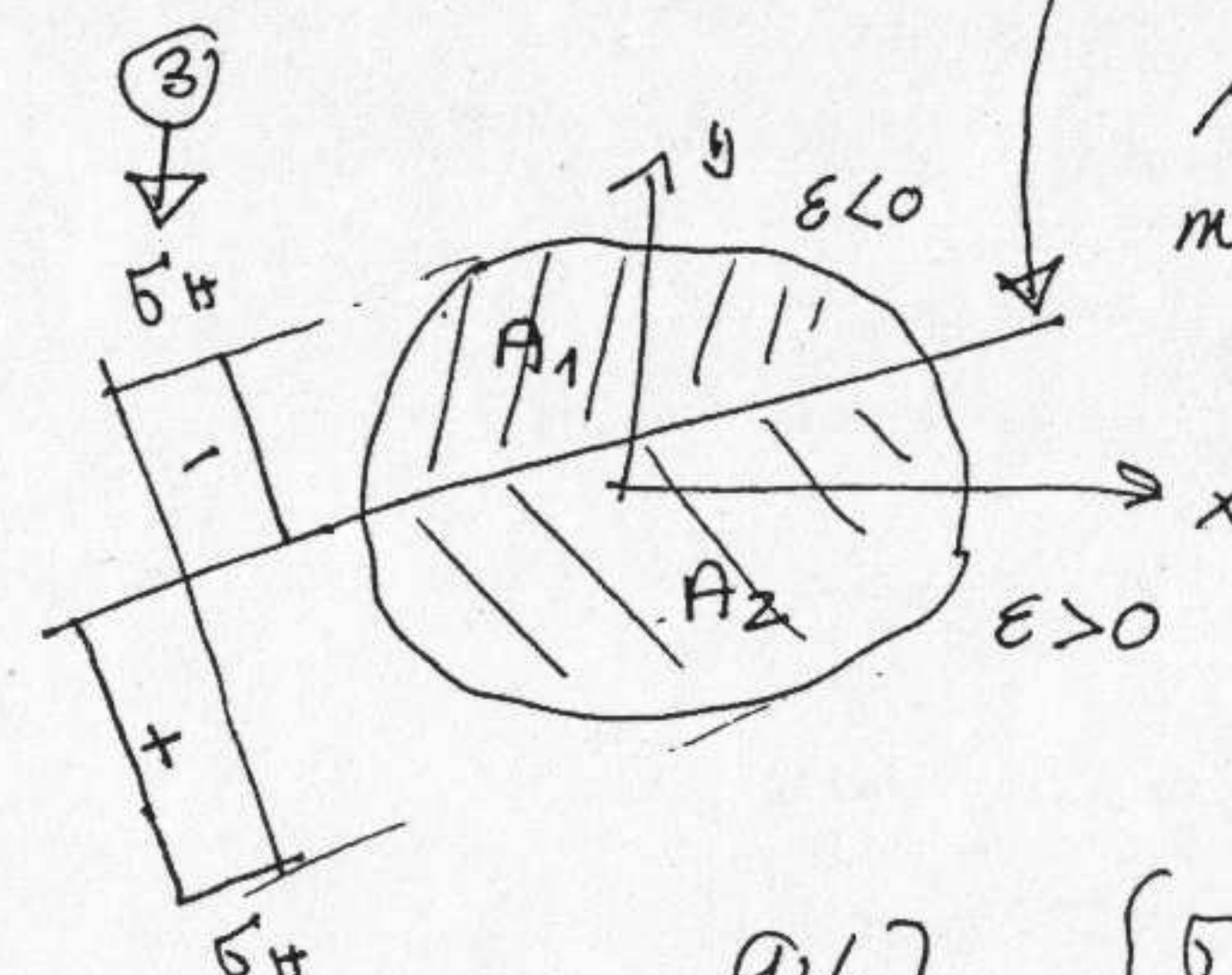
$\hookrightarrow \epsilon$ és $\bar{\sigma}$ előjele megegyezik!

Megoldás

$$\text{② - ból } \epsilon = 0 \Rightarrow y = -\frac{a}{b}x - \frac{c}{b}$$

egyenes, mely nem menet át feltétlenül a síkponton.

Az egyenes egyik oldalán $\epsilon > 0$, másik oldalán $\epsilon < 0$, tehát



$$\left. \begin{array}{l} \text{①/a} \\ \text{③} \end{array} \right\} \int_{A_1} \bar{\sigma}_H dA + \int_{A_2} -\bar{\sigma}_H dA = 0$$

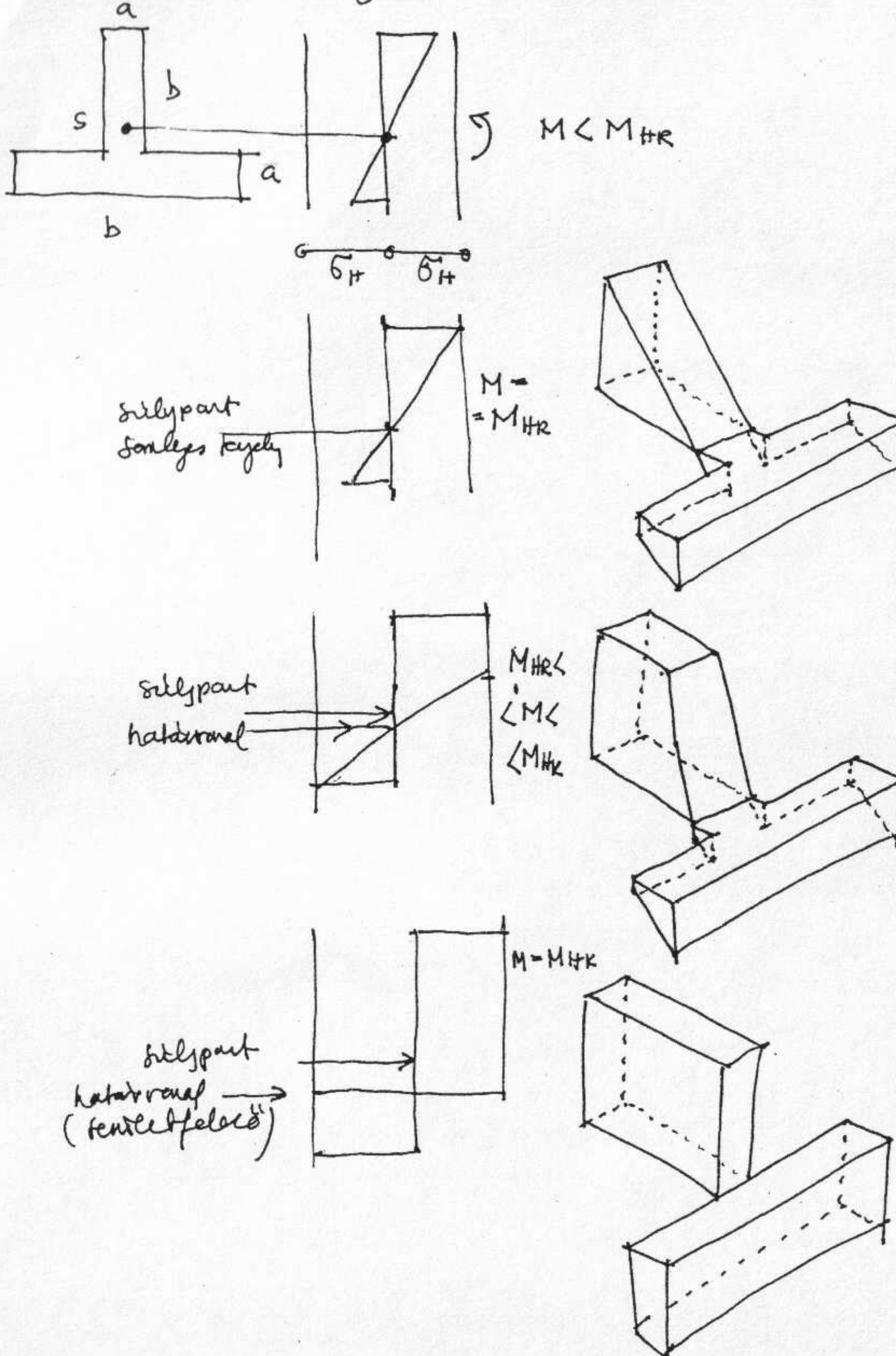
$$\int_{A_1} dA - \int_{A_2} dA = 0$$

$$A_1 = A_2$$

Tehát a körön belülről fenületfelerő. A körön belülről A_1/b és A_2/b szisztemák lehet megoldásnak.

2.11 Rugalmassági környezetben töréses hajlítás esetén

29

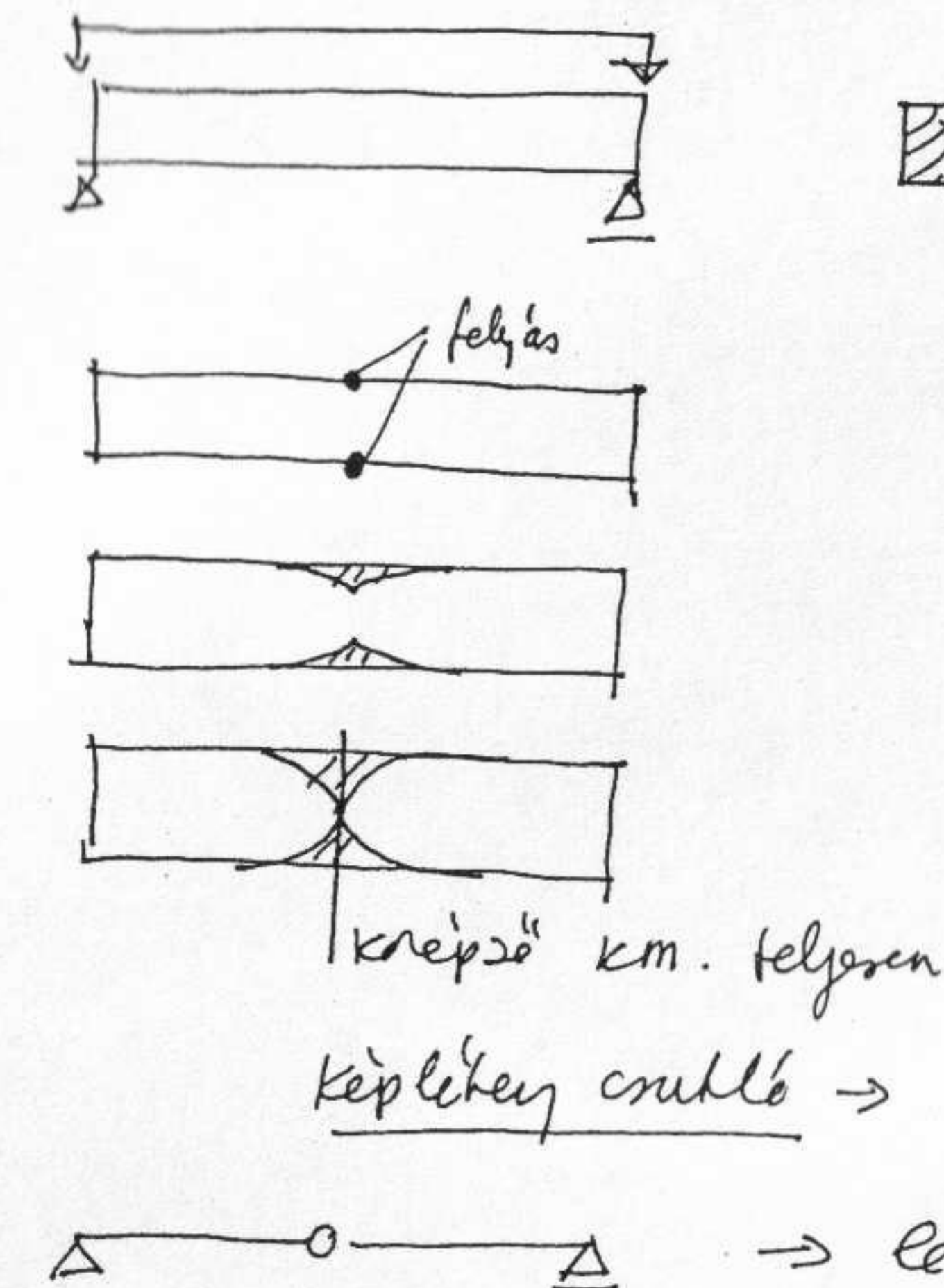


$$100 \cdot \left(\frac{M_{HK}}{M_{HR}} - 1 \right) \rightarrow \text{képleány hatalom } [\%]$$

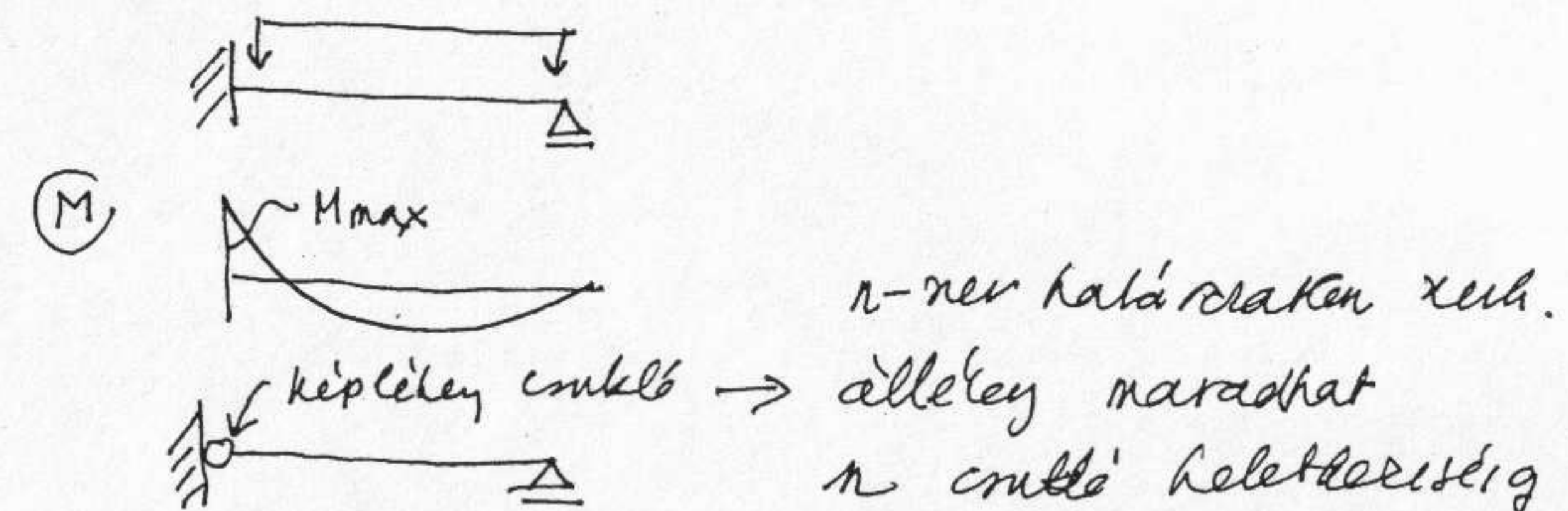
50% 17%

29 Rugalmassági környezetben a tartók nem párhuzáló

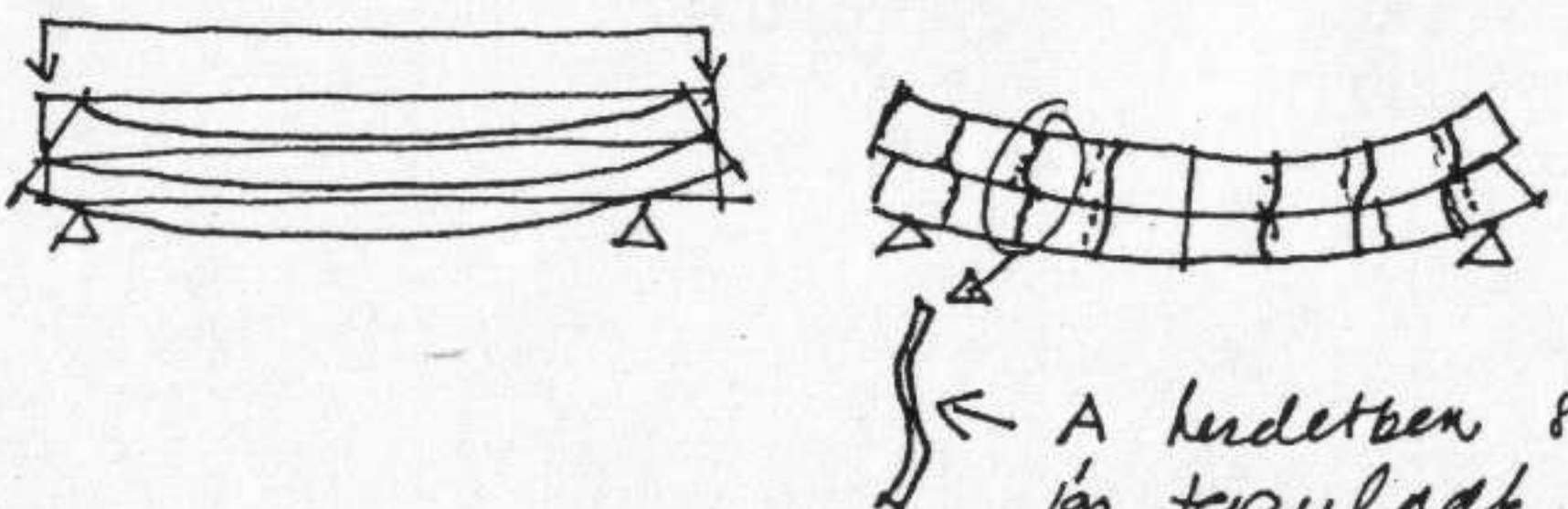
30



Határozatlan reh. esetben



2.12 Hajlítással építésű ajtók

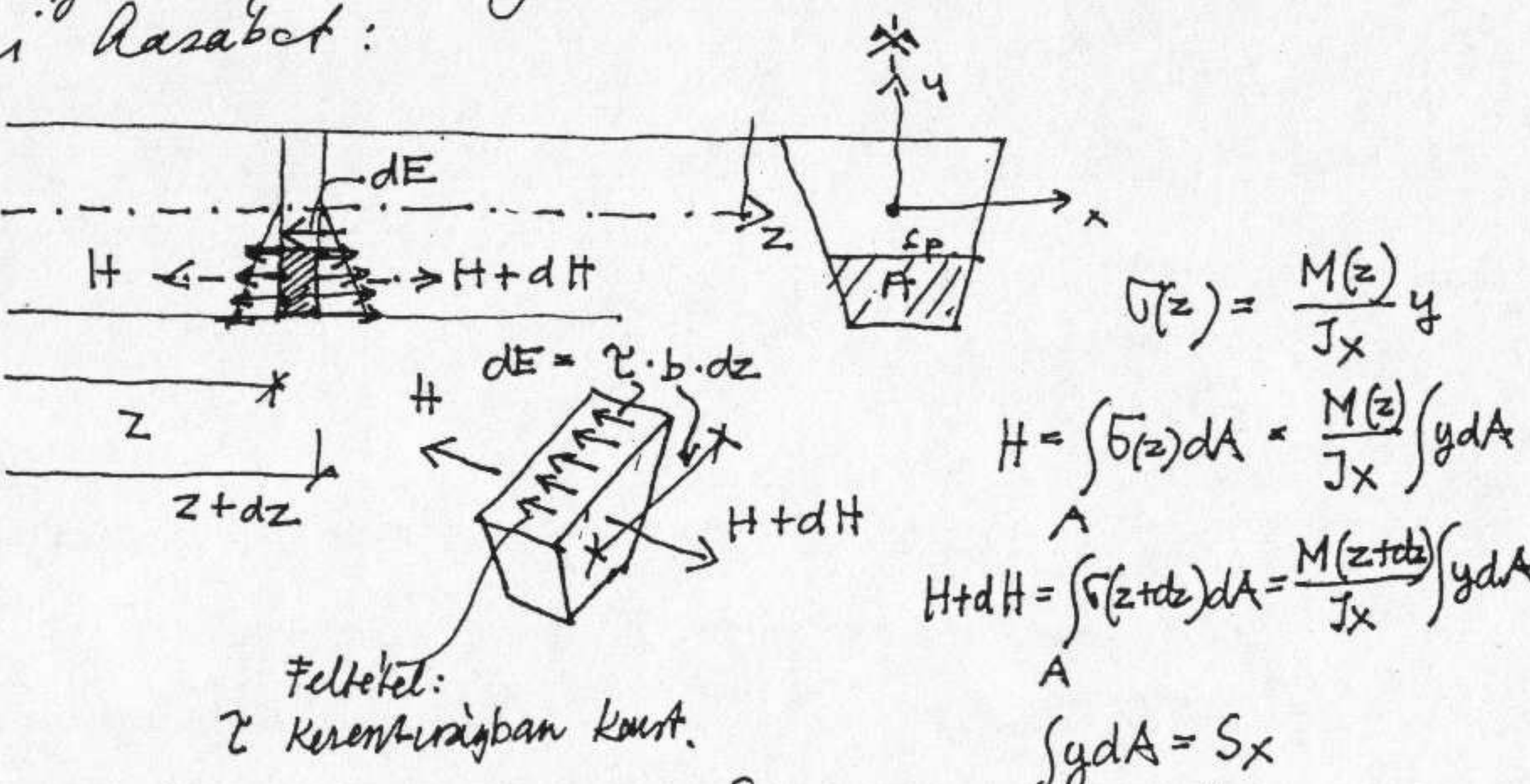


A 5 fémfelületet
a B-N modellből
reműkh át

\downarrow
A B-N hipotézis nem érvényes
ELLENTMONDÁS → a nánitás
nem "konzisten".

Miért csaléjük így? → más modellel lejegyezzük, hogyan lenne.

Ha a km. nem sűrű, akkor nincs geom. egyenlet,
nem így km.-et viszgálunk, hanem csak egy
elemi részlet:



↳ vizuális módon feltárt erőfeszítés [N/cm²]
SZURAVSZKIS

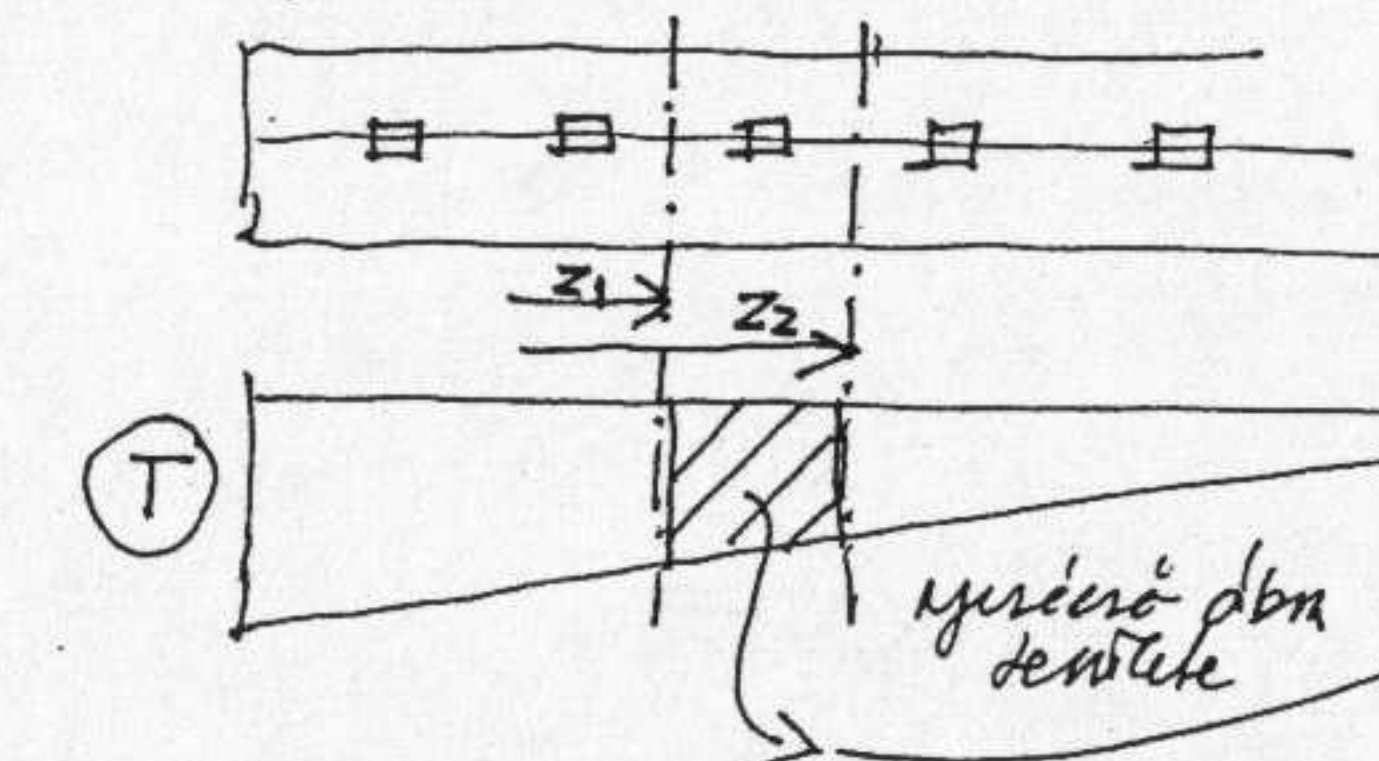
orientálással $dE = \gamma b dz = \frac{S_x T}{J_x} dz$

$$E = \int \frac{S_x T}{J_x} dz$$

Foglalás csontalással

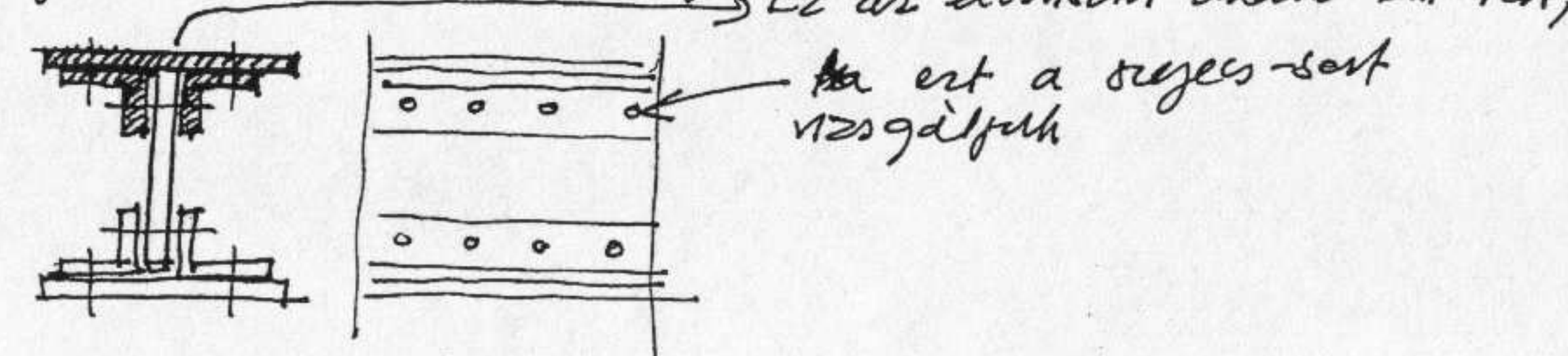
$$\frac{dE}{dz} = \frac{S_x T}{J_x}$$

Fogrett gerender

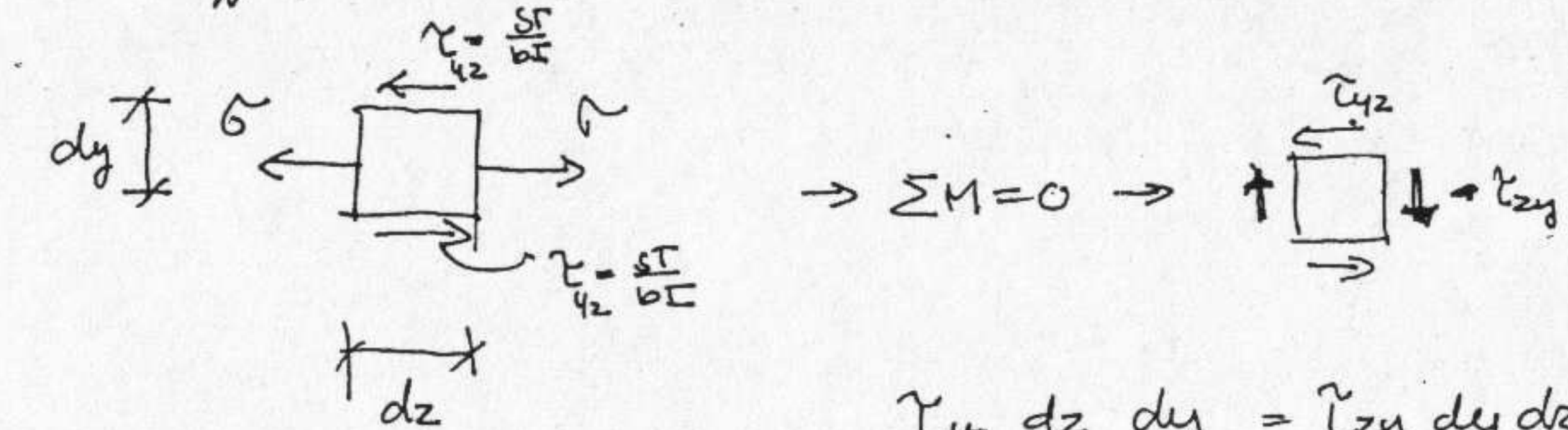


Egy fogra jutó csontalás:
 $E_{fog} = \frac{z_2 - z_1}{z_1} \int T dz \cdot \frac{S_x}{J_x}$

Melyik km. rén statikai gyomorha S_x ?



Foglalás netneter előreli γ felületigéle →



$\frac{T}{J}$ keret a km.-ben →

$$\gamma_y = \frac{T}{J} \cdot \frac{S_x(y)}{b(y)}$$

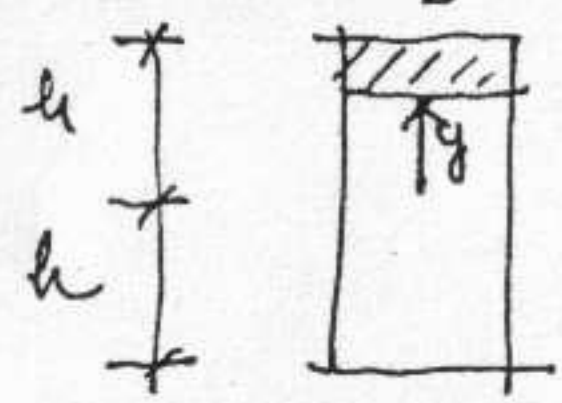
Ha b is konstans, akkor
 $\gamma_{max} \rightarrow S_{x max} \rightarrow$ sebepont. E2

akkor is igaz, ha b nem konst.,
minimális.

$$\underbrace{\gamma_{yz} dz}_{\text{erő kar}} \underbrace{dy}_{\text{erő kar}} = \underbrace{\gamma_{zy} dy}_{\text{erő kar}} \underbrace{dz}_{\text{erő kar}}$$

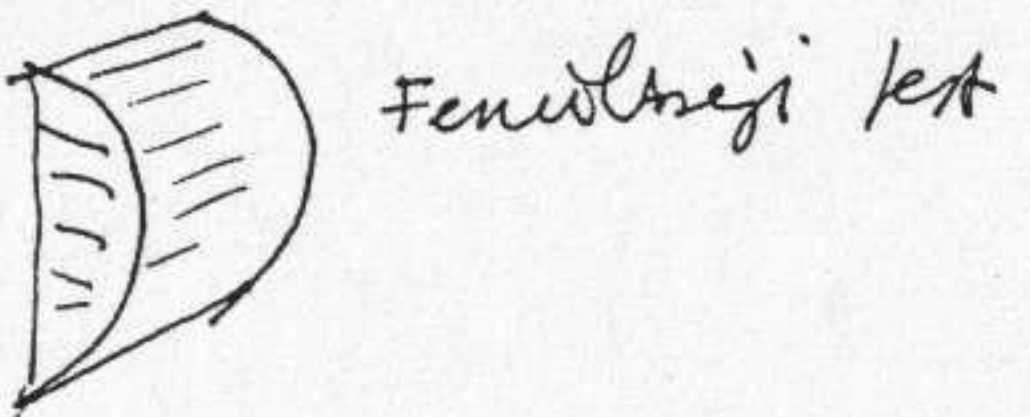
$\gamma_{yz} = \gamma_{zy}$
Nyíljan felületi dualitása

Tüzelap

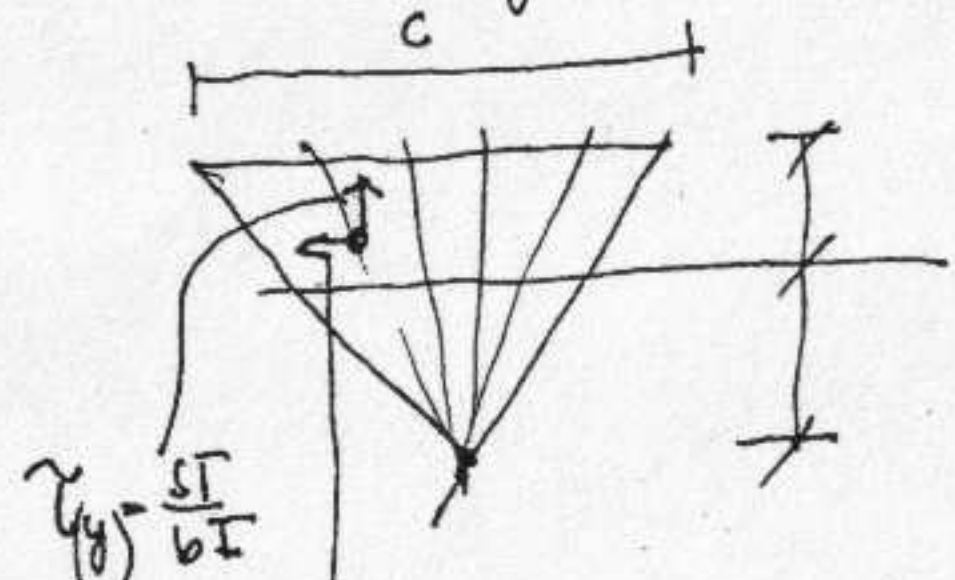


$$\tau(y) = \frac{T}{Jb} \cdot S_x(y) = \text{const.} \cdot b(h-y) \frac{y^2 h}{2} = \\ = C_2 - C_1 y^2$$

$$\tau_{\max} = C_2 = \frac{3T}{4bh} = \\ = \frac{3}{2} \tau_{\text{alte}}$$



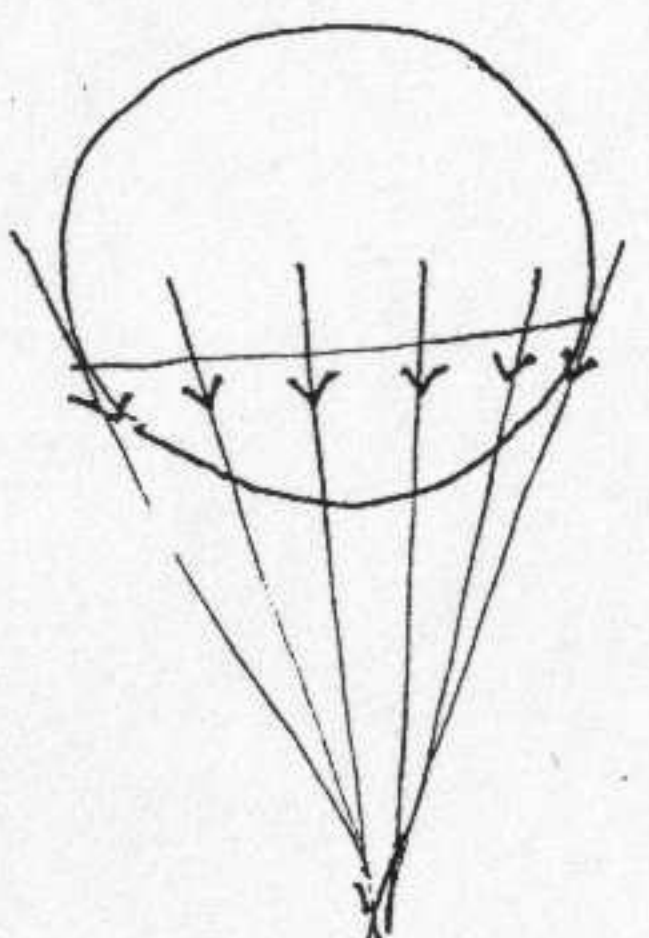
Harmony



$$2. \text{ felin} \quad \tau(y)_{\max} = \frac{3T}{ch} = \frac{3}{2} \tau_{\text{alte.}}$$

$\tau(y) = \frac{3T}{b^2}$
est a komponens a geometriából kell viszontolni!

Ker



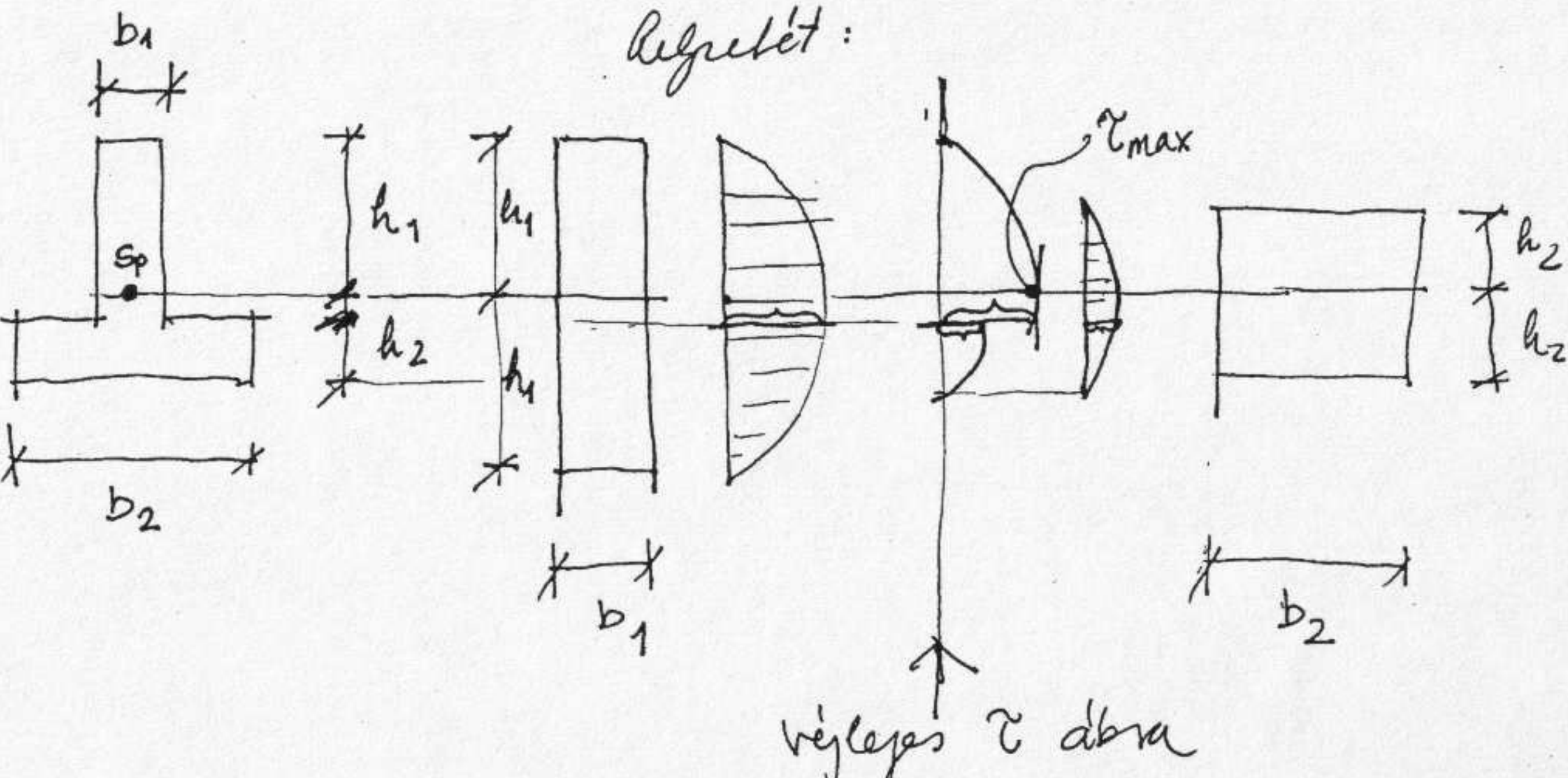
$$2. f \quad \tau_{\max} = \frac{4}{3} \cdot \frac{T}{3\pi r^2} = \frac{4}{3} \tau_{\text{alte.}}$$

(33)

Összetett nehegek

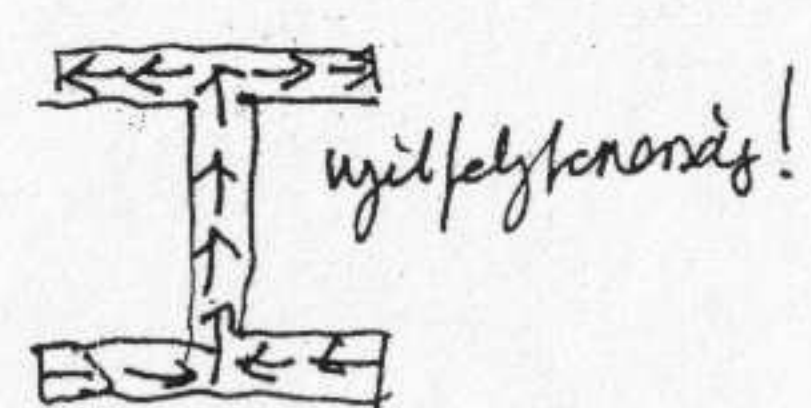
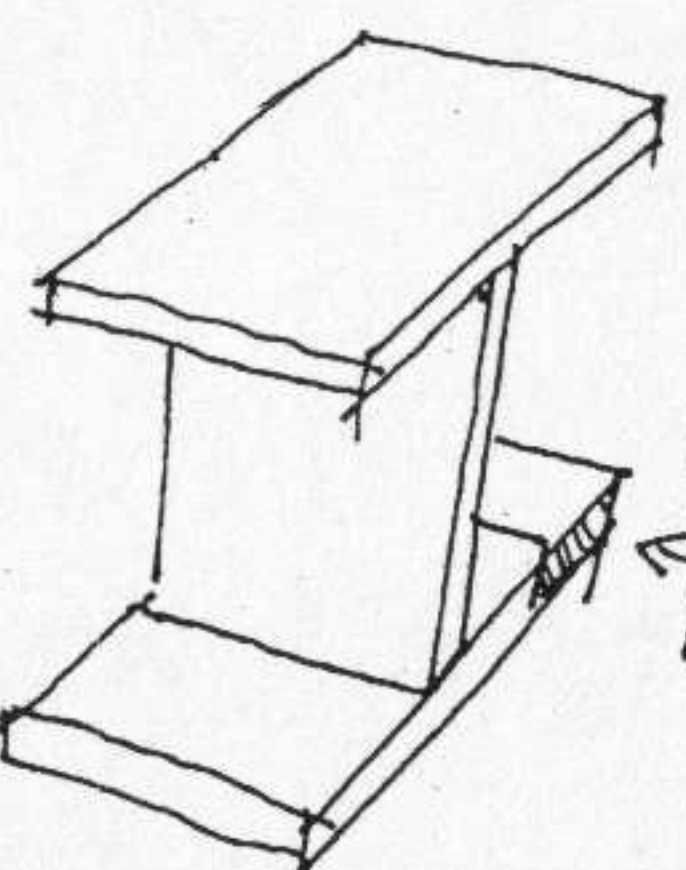
A $\tau(y)$ ábra bármely oldalánál (alulról v. felülről) rajzolható, a megrajzolt néha fogtelen a terábbiaknál (kivéve a sp.)

Legfelét:

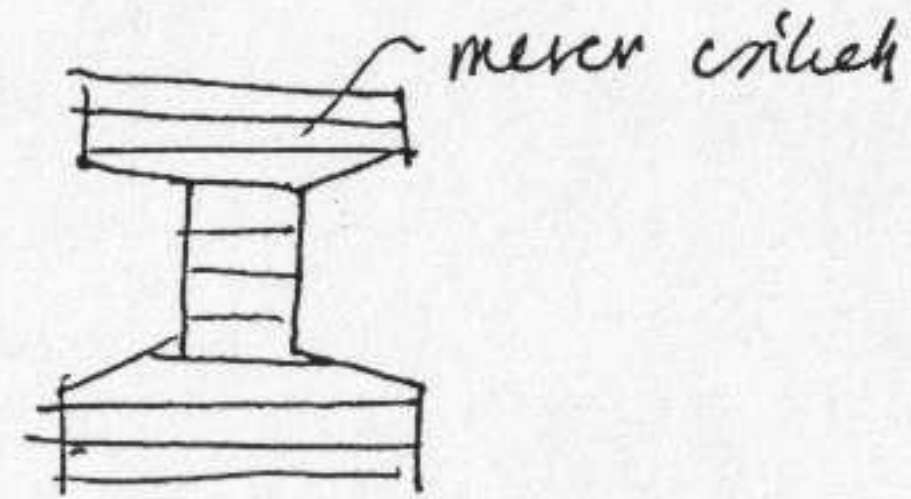


Vékelyfali nehegek

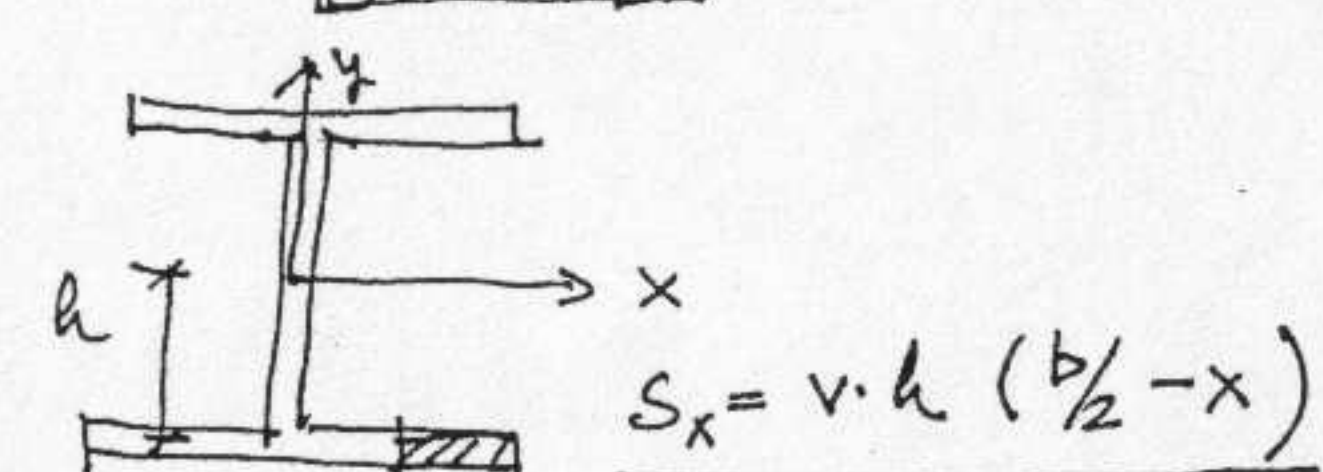
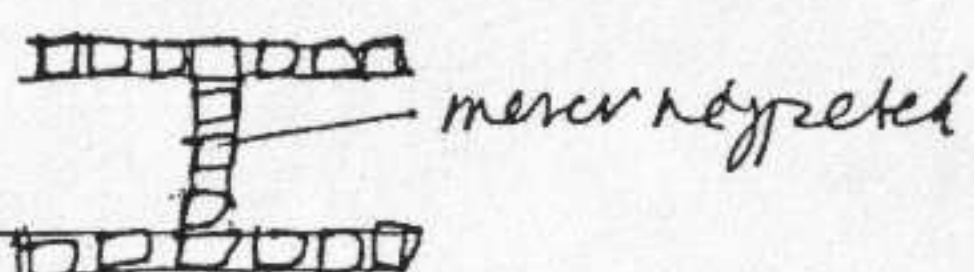
τ minden II a részben korépmennival



Foldig:



most:

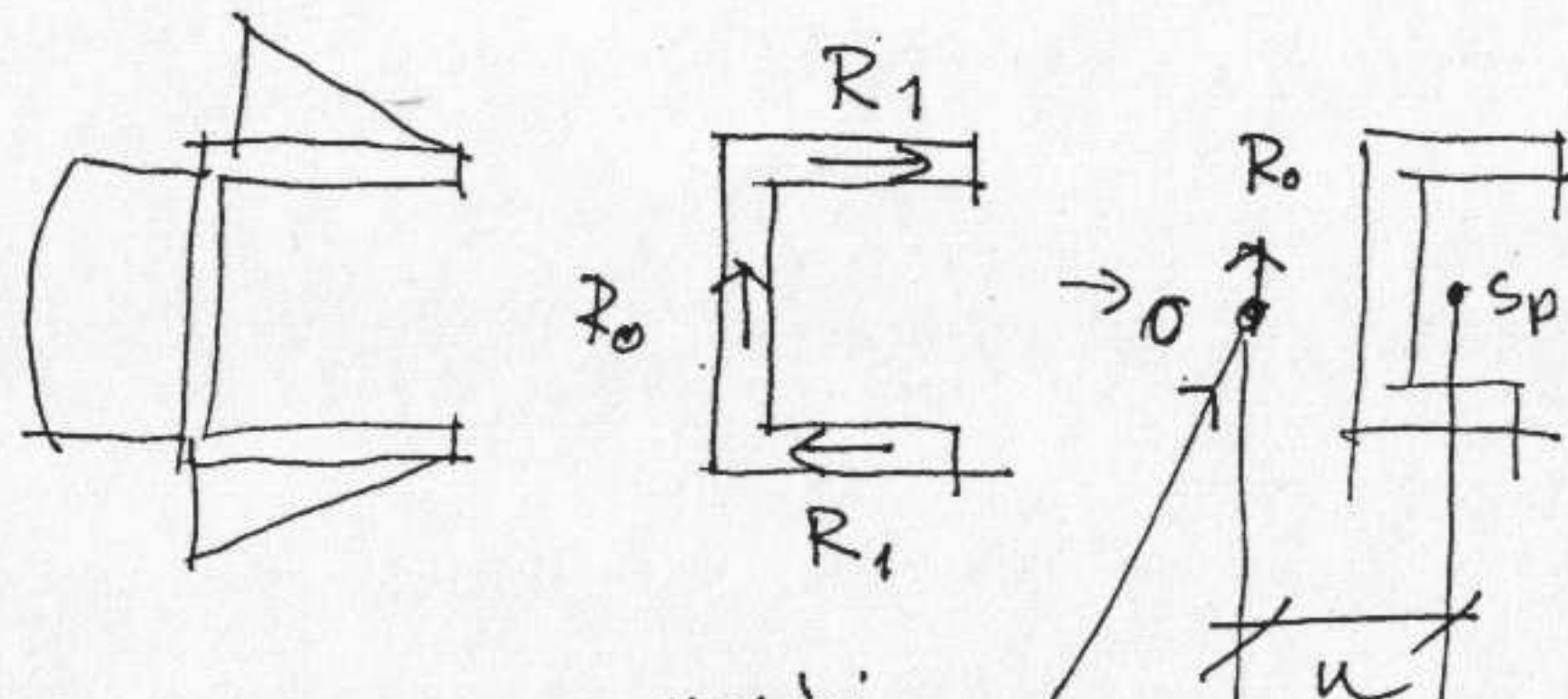


$$\tau = \frac{Sx}{bI}$$

(34)

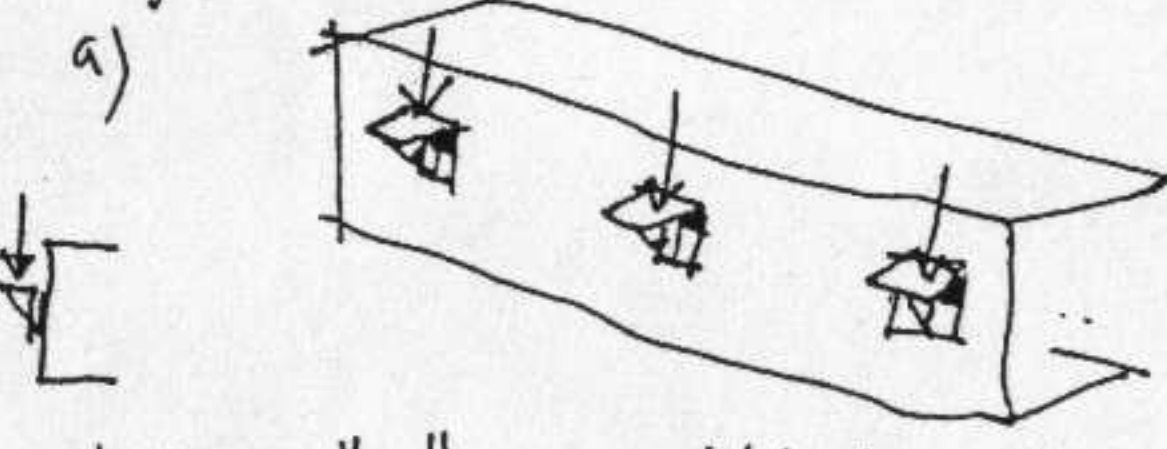
Nyíráni hőreppant

Nem szimmetrikus, de végesfélű km



nyíráni
hőreppant
(nyírfen- és díjelőzök
hőszámlálás)

megoldás:



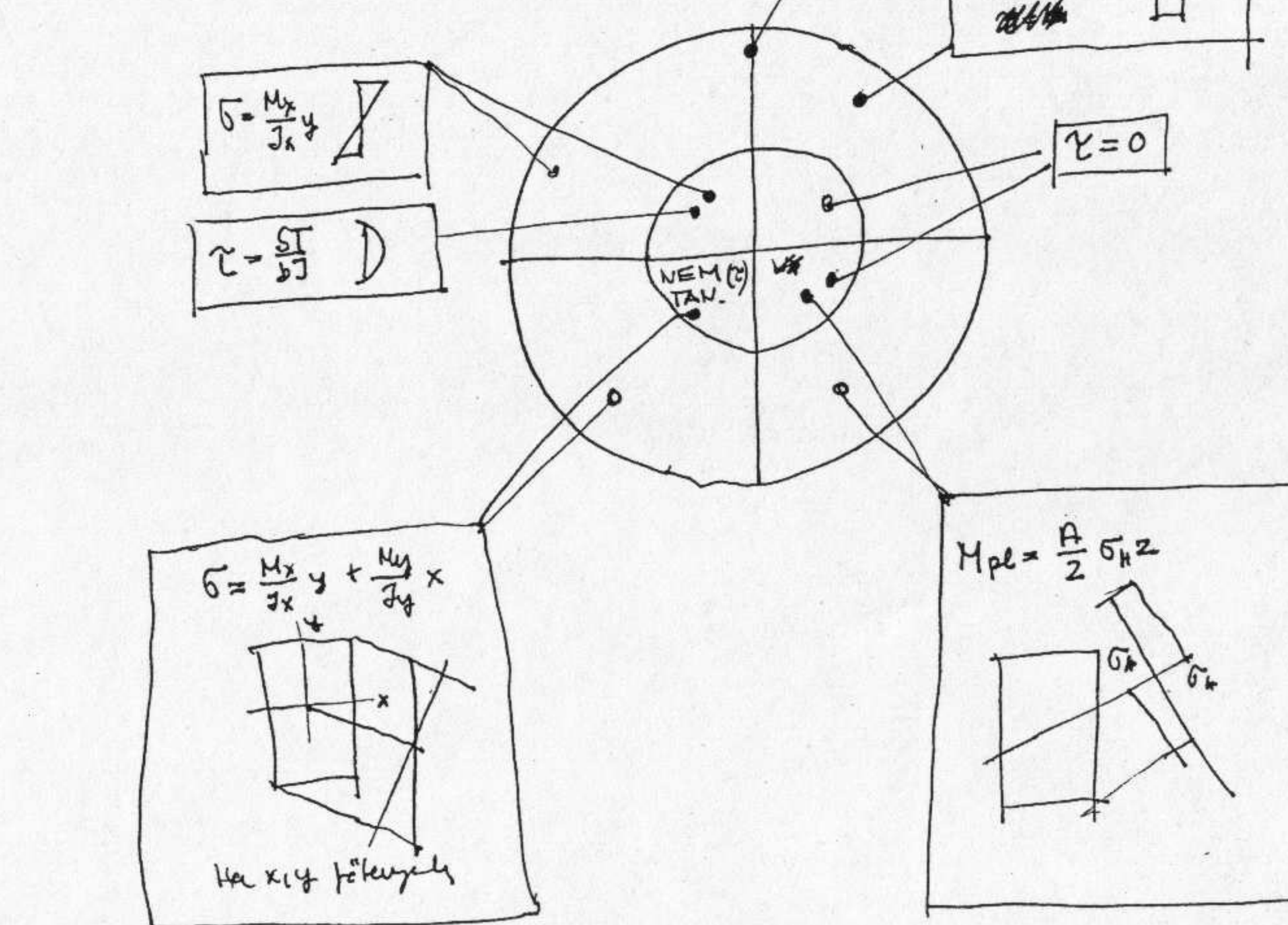
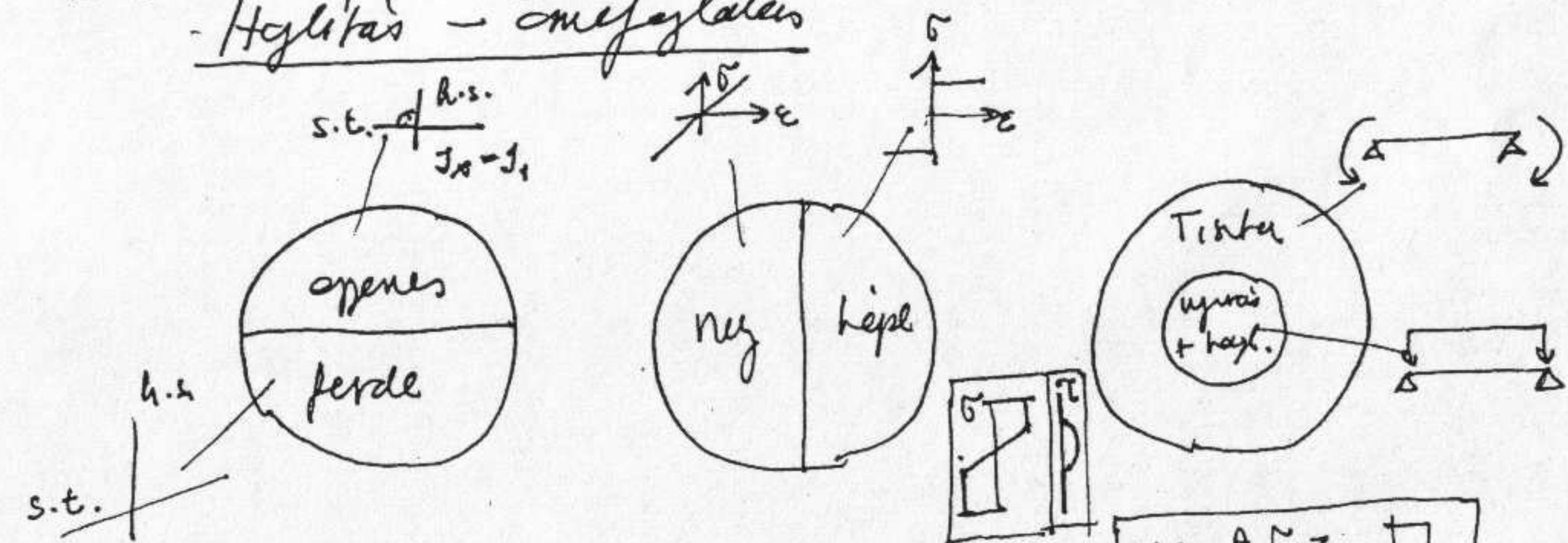
tér "0"-n áthalad

$$a) \quad \text{Diagram of a beam element with a downward force vector at the left end.} \\ b) \quad M_{0s} = T_{0s} \quad \text{Diagram of a beam element with a hinge at the right end.} \\ \text{gyáras!}$$

(34)

2.13

- Högörös - ömefoglalás



(35)

2.14 Linedis nuperficie

$$\text{Leírunk } y = f(x) = ax$$

$$\text{elhár } f(x^1) + f(x^2) = f(x^1 + x^2), \text{ hinc} \\ ax^1 + ax^2 = a(x^1 + x^2).$$

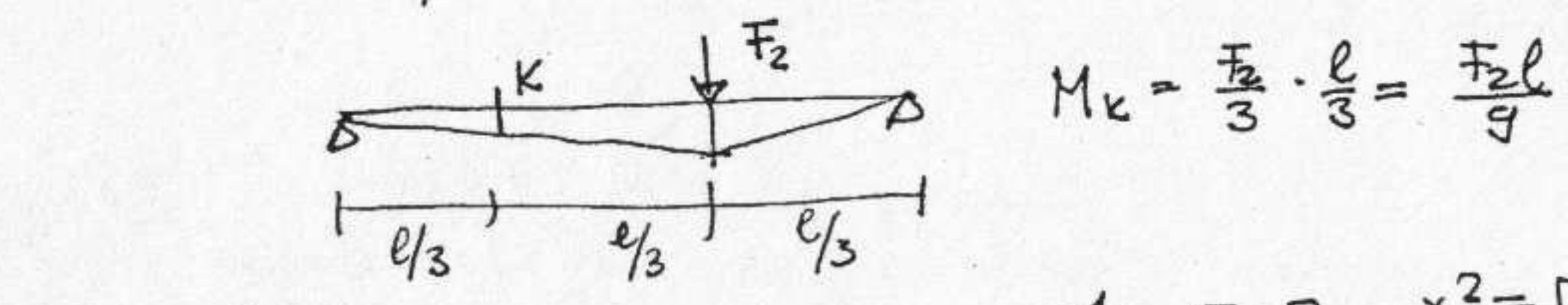
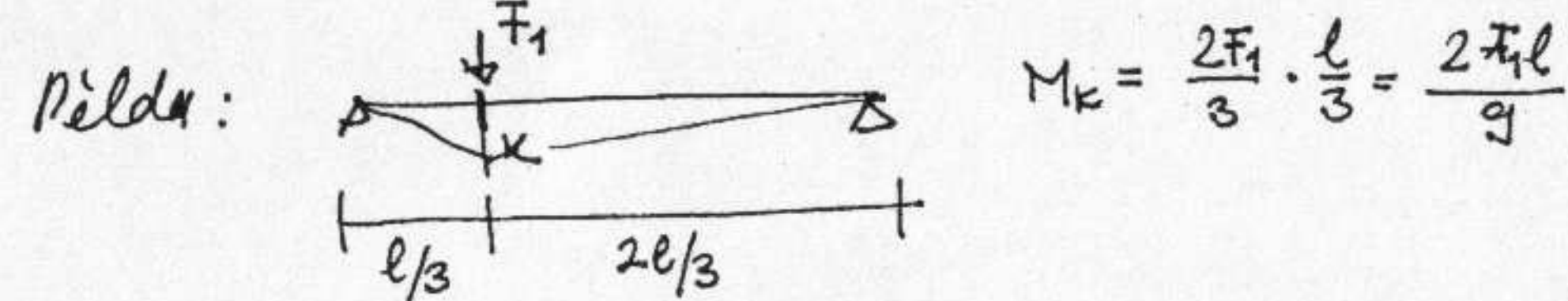
Ez attól is igaz, ha a a x vektorek (y sora) szerint

$$\underline{a} = \begin{bmatrix} a_1 \\ a_2 \end{bmatrix} \quad \underline{x} = \begin{bmatrix} x_1 \\ x_2 \end{bmatrix} \quad y = \underline{a} \cdot \underline{x} = a_1 x_1 + a_2 x_2$$

sorain
fordítat

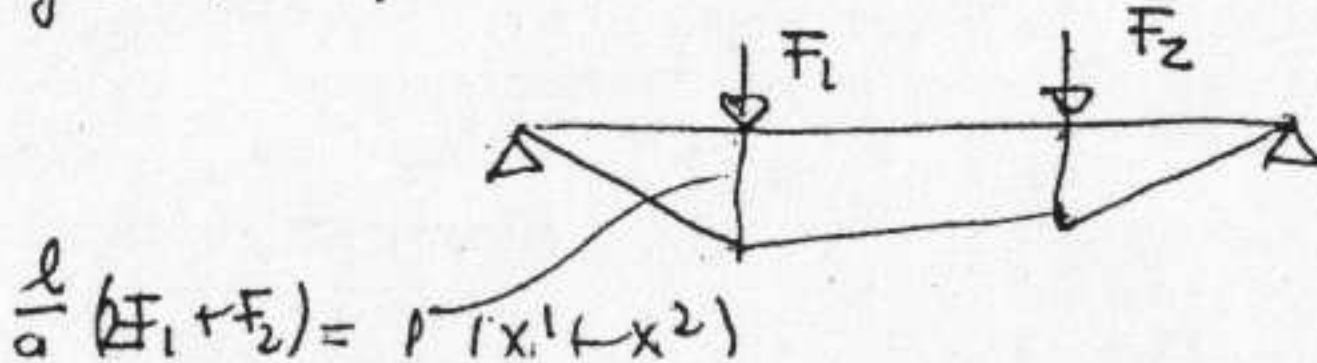
$$f(\underline{x}^1) + f(\underline{x}^2) = a_1 x_1^1 + a_2 x_2^1 + a_1 x_1^2 + a_2 x_2^2 = \\ - a_1 (x_1^1 + x_1^2) + a_2 (x_2^1 + x_2^2) = \\ = \begin{bmatrix} a_1 \\ a_2 \end{bmatrix} \begin{bmatrix} x_1^1 + x_1^2 \\ x_2^1 + x_2^2 \end{bmatrix} = \underline{a} (\underline{x}_1 + \underline{x}_2) = f(\underline{x}_1 + \underline{x}_2)$$

Ez a Linedis nuperficie elv.



$$\underline{a} = \begin{bmatrix} \frac{2}{9}l \\ \frac{e}{9} \end{bmatrix} \quad \underline{x} = \begin{bmatrix} F_1 \\ F_2 \end{bmatrix} \quad y = M_K \quad \underline{x}^1 = \begin{bmatrix} F_1 \\ 0 \end{bmatrix} \quad \underline{x}^2 = \begin{bmatrix} 0 \\ F_2 \end{bmatrix}$$

$$f(\underline{x}^1) + f(\underline{x}^2) = \frac{l}{9} (2F_1 + F_2) = f(\underline{x}_1 + \underline{x}_2)$$



36

2.15 A lin. nuperficie elvnek alkalmazása
nyalmas feszültség normálában

Eddigi eredmények

$$1) G = \frac{F}{A} \text{ (hőp. hősz/görb.)} \\ 2) \Gamma = \frac{M_x}{J_x} y \text{ (gyors hőlötös)} \\ \left(\Gamma = \frac{M_x}{J_x} y + \frac{M_y}{J_y} x \text{ (fesz. hőlöt.)} \right)$$

között

Az utolsó jelölésekkel

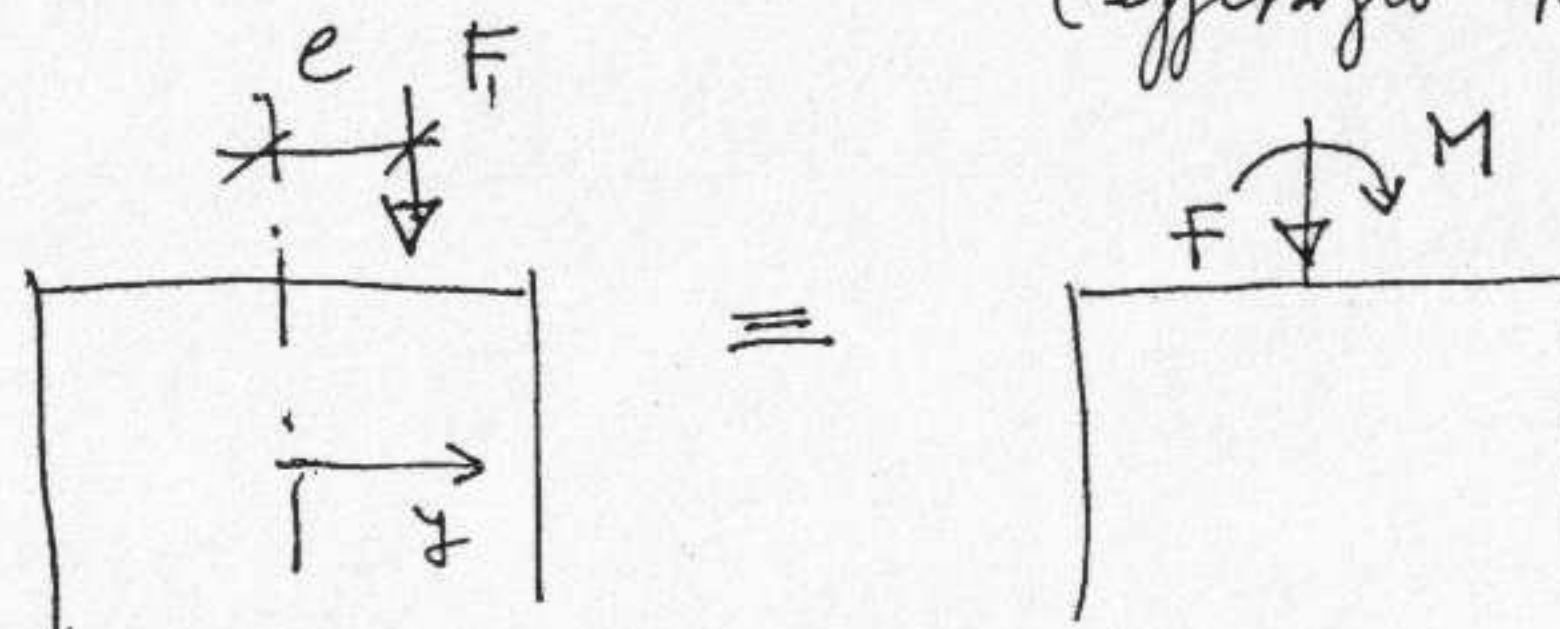
$$\sqrt{\bar{y}} = \bar{f} \quad \underline{a} = \begin{bmatrix} 1/A \\ y/J_x \end{bmatrix} \quad \underline{x} = \begin{bmatrix} \bar{F} \\ M \end{bmatrix} \quad \underline{x}^1 = \begin{bmatrix} \bar{F} \\ 0 \end{bmatrix} \quad \underline{x}^2 = \begin{bmatrix} 0 \\ M \end{bmatrix}$$

Myhüleinhorizontális

$$\rightarrow 1) \bar{f}(\underline{x}^1) = \underline{a} \cdot \underline{x}^1 \\ 2) \bar{f}(\underline{x}^2) = \underline{a} \cdot \underline{x}^2$$

$$G = f(\underline{x}^1 + \underline{x}^2) = f(\underline{x}^1) + f(\underline{x}^2) = \underbrace{\frac{F}{A}}_{\text{Kilpontos hősz/görb.}} + \underbrace{\frac{M_x}{J_x} y}_{\text{(gyorsayú hőlötönszám esetén)}}$$

Kilpontos hősz/görb.
(gyorsayú hőlötönszám esetén)



$$G = F \left(\frac{1}{A} + \frac{ey}{J_x} \right) \quad \Gamma = 0 \quad (\text{s.t.})$$

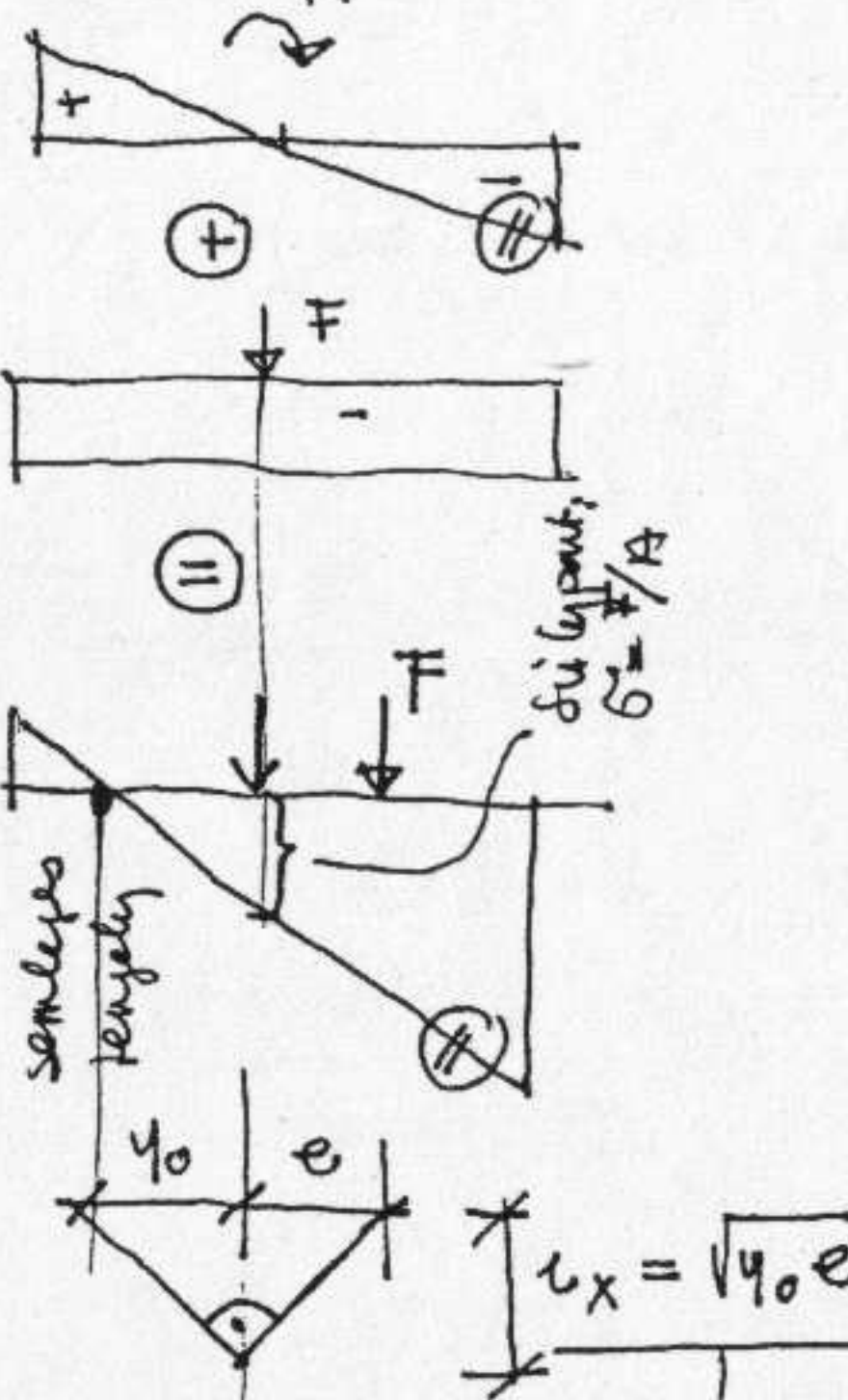
$$\frac{1}{A} = - \frac{ey_0}{J_x}$$

$$y_0 = - \frac{J_x}{Ae} = - \left(i_x^2 \right) e$$

$$-ey_0 = i_x^2$$

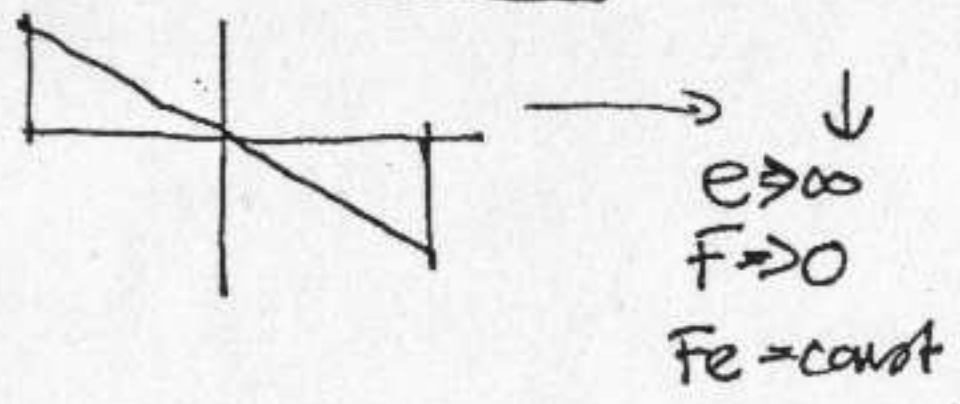
Inverzánnyirum

Femultizgábra

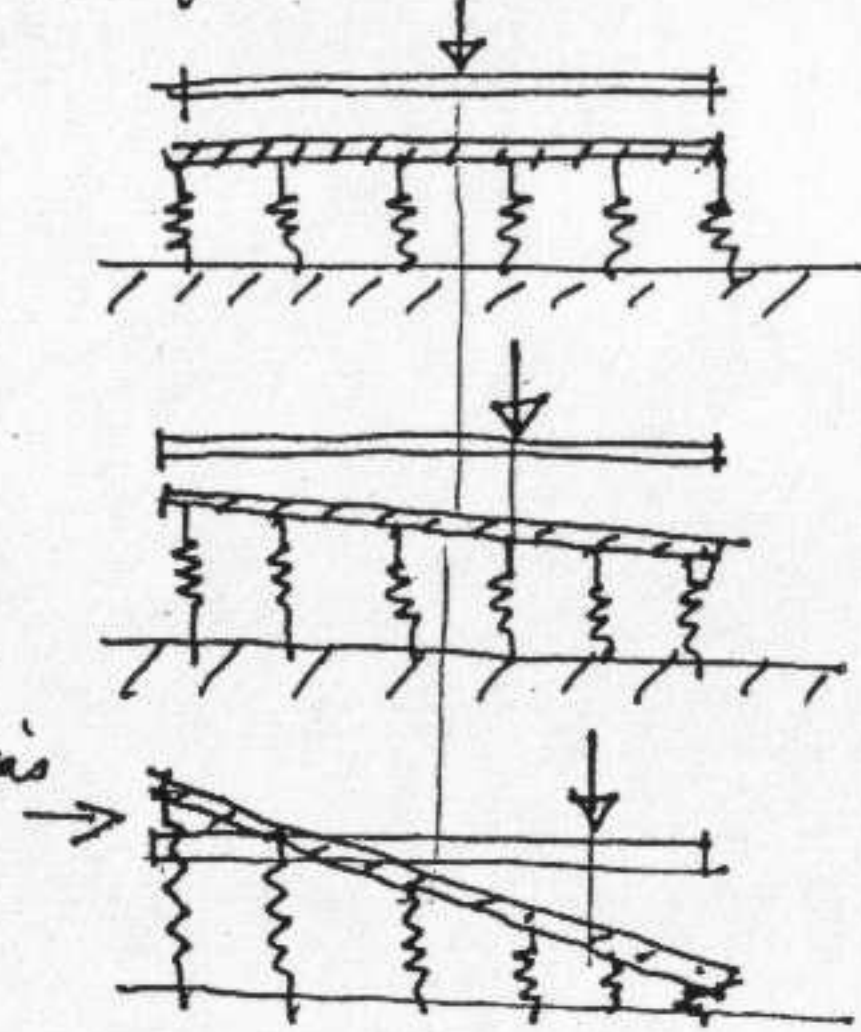


dicső sebek

$$| y_0 = 0 \rightarrow e = \infty \rightarrow \text{Rajzítés}$$



analízia

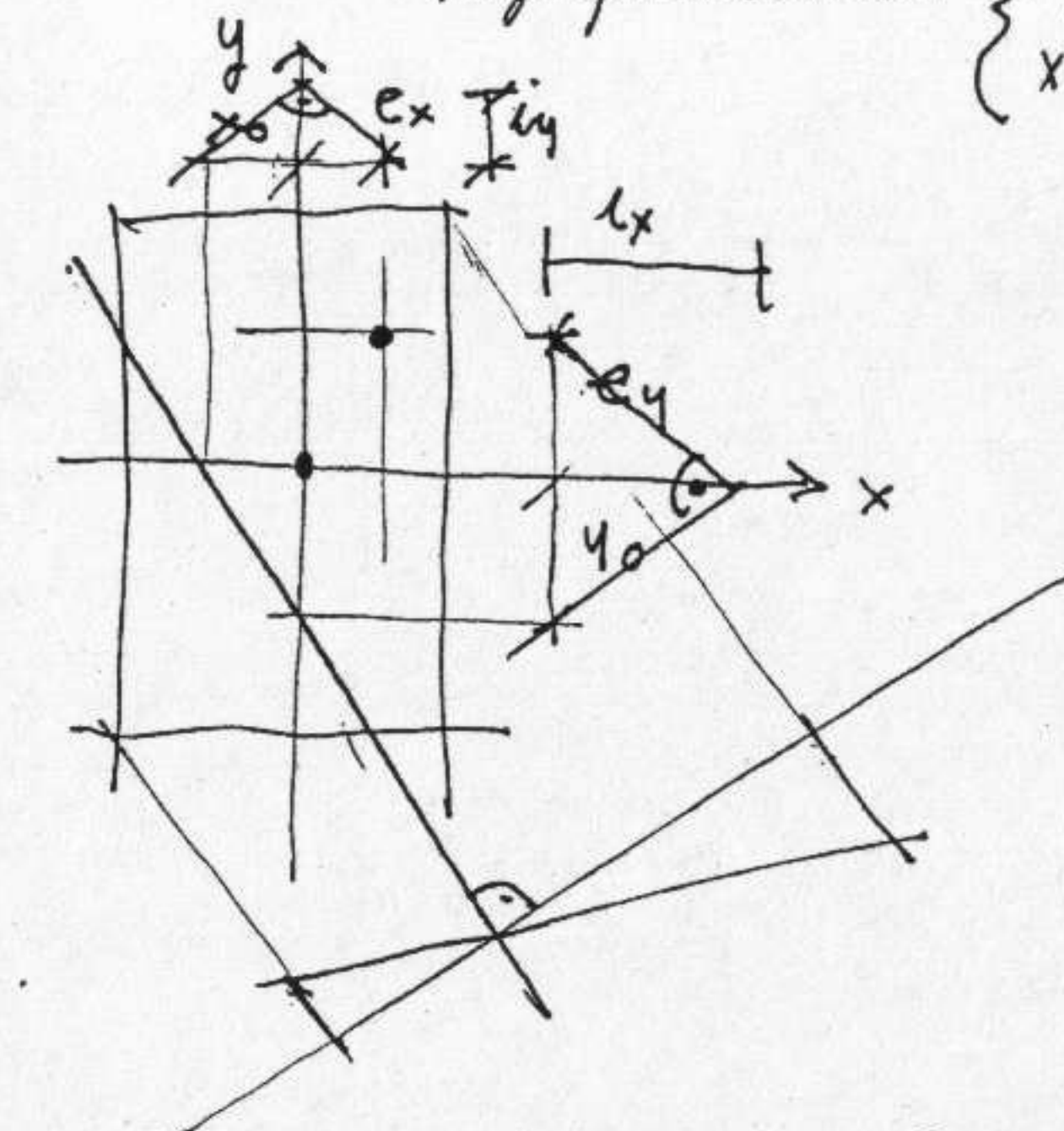


38

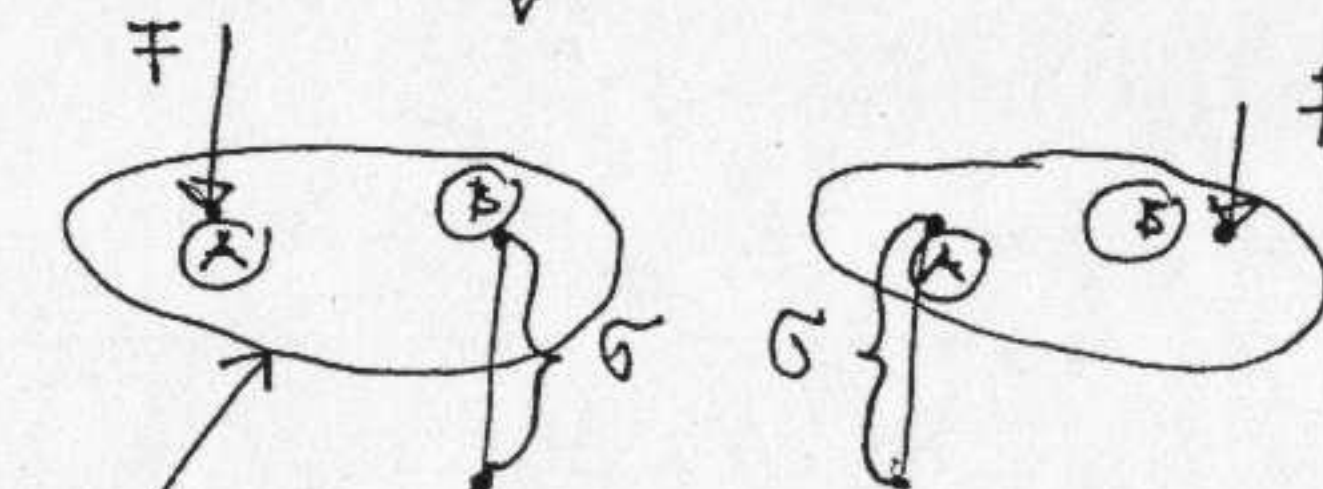
$$\text{Semleges tengely: } \frac{ey}{J_A} y + \frac{ex}{J_y} x + \frac{1}{A} = 0$$

39

$$\begin{aligned} \text{Tengelymetretek: } & \left\{ \begin{array}{l} y_0 = 0 \rightarrow x e_x = -i y^2 \\ x_0 = 0 \rightarrow y e_y = -i x^2 \end{array} \right. \end{aligned}$$



A leplet szimmetrikus $ey \leftrightarrow y$ $ex \leftrightarrow x$



Kerekmérett

Kétfelügi (ferde) kerekmérett

$$\bar{\sigma} = \frac{F}{A} \quad \bar{\tau} = \frac{M_x}{J_x} y \quad \bar{\tau} = \frac{M_y}{J_y} x$$

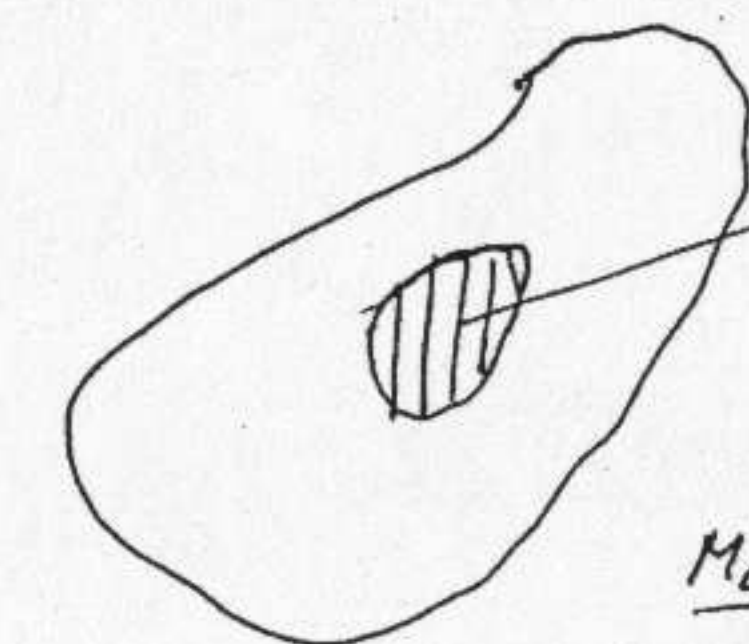
$$\underline{x} = \begin{bmatrix} 1/A \\ y/J_x \\ x/J_y \end{bmatrix} \quad \underline{x} = \begin{bmatrix} F \\ M_x \\ M_y \end{bmatrix} \quad \Sigma = f(x^1) + f(x^2) + f(x^3) = f(x^1 + x^2 + x^3) =$$

$$= \frac{F}{A} + \frac{M_x}{J_x} y + \frac{M_y}{J_y} x =$$

$$\underline{x}^1 = \begin{bmatrix} F \\ 0 \\ 0 \end{bmatrix} \quad \underline{x}^2 = \begin{bmatrix} 0 \\ M_x \\ 0 \end{bmatrix} \quad \underline{x}^3 = \begin{bmatrix} 0 \\ 0 \\ M_y \end{bmatrix}$$

$$F\left(\frac{1}{A} + \frac{e_y y}{J_x} + \frac{e_x x}{J_y}\right)$$

2.16 Kerekmérett pontjainak analízia



Ezen területen belül találódó "ujmátrix" esetén csak ujmátrixról következik \Rightarrow MAGIDOM

Másikipp: Azon pontok részére, melyekre amelyeken "ujmátrix" esetén a s.t. érváti a kerekmérett konvex burkát

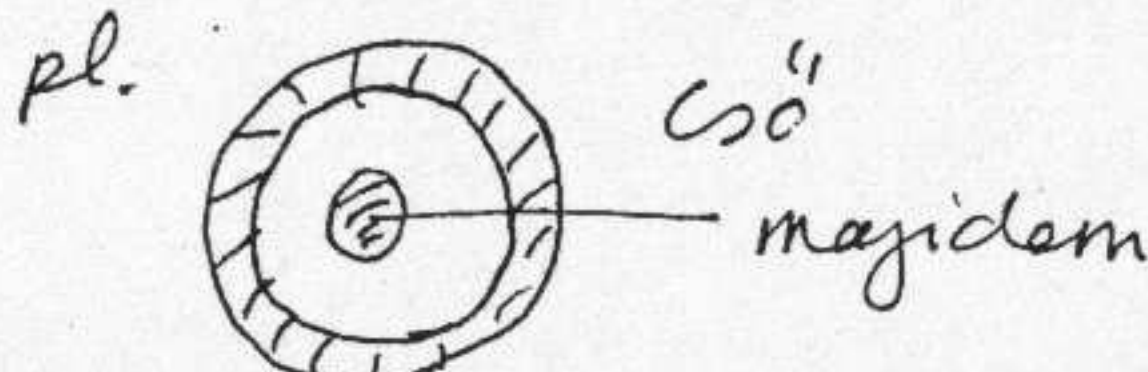


konvex burk (részletek jelen)

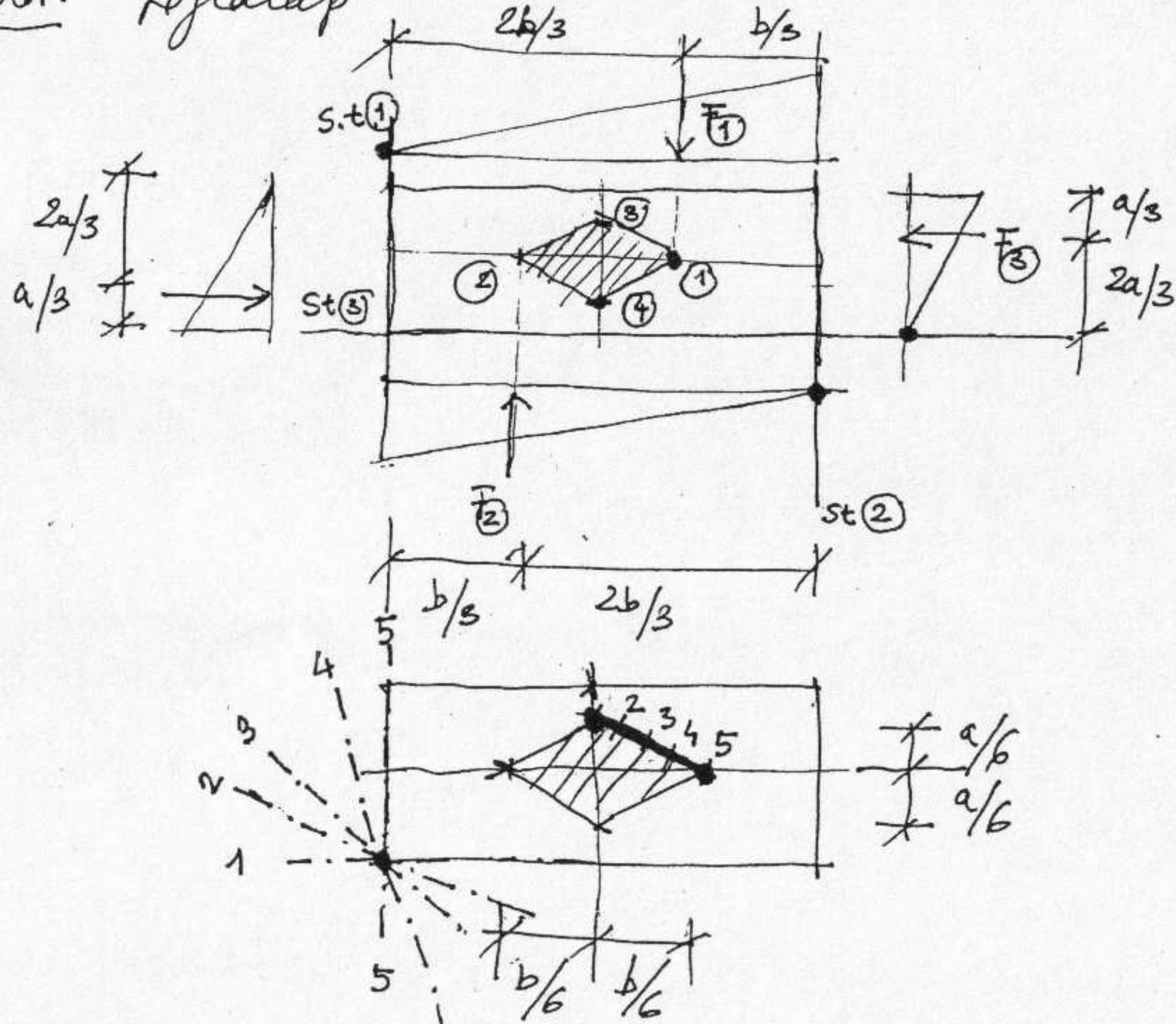
Majidom tulajdonságai

a) Mondig konvex idom

b) Lehet (vállak vagy egynél) a km-en kívül, de mondig a konvex körökkel belül van.



Példa: Téglalap



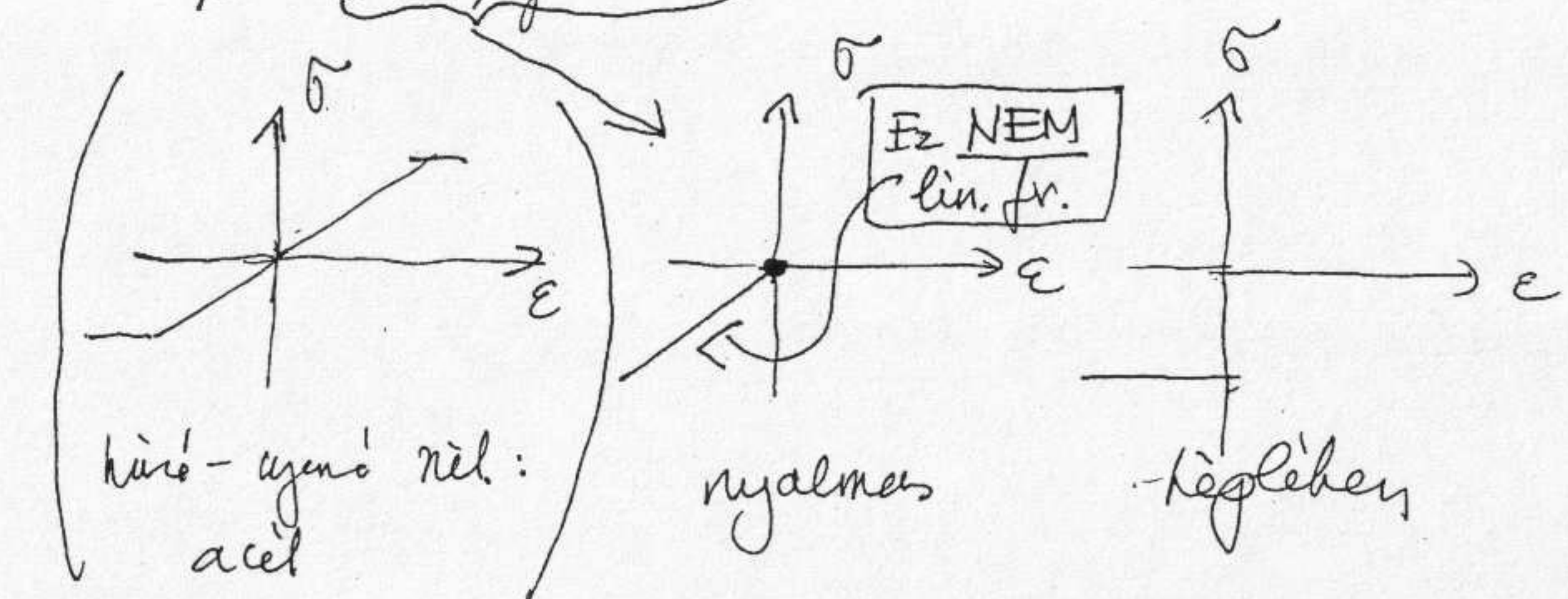
Duelibás: majidom - hatalr egyenének a konvex belsek pontja
konvex belsek pontjának a negatív
 majidom - hatalr pontjának a konvex belsek egyenes
 felet megy.

40

Majidom gyakorlati plánolása

Csak "gyomó" működésiggal rendelkező" aukc:

pl. beton, fálarat



Ryan az esetben 3 eset lehet gyomás esetén:

a) defiszpat a majidomban \rightarrow teljes km. delforit \rightarrow ayanizs nemítandó, mint hurok-gyomó működési esetén (ug: $F = \frac{M_x}{J_x} q + \frac{M_y}{J_y} x + F_0$)

b) defiszpat a km-en kívül \rightarrow NINC EGGENSÉG

c) defiszpat a majidomen kívül, de a km-n belül \rightarrow Nonlineáris plánolat (anyaggy. nemlincs. \rightarrow NINC nyújtásiá) \rightarrow - keressük a delforit km. részt minden feltétel mellett, vagy $\sum N=0, \sum M=0$

Pl-

$$\begin{aligned} & \text{Diagram of a rectangular plate with width } b \text{ and height } h. \\ & \text{Free body diagram: } N \text{ (normal force), } D \text{ (dead load), } q \text{ (live load).} \\ & \text{Equilibrium conditions: } \sum F_y = 0 \Rightarrow N_R = \frac{3G_H + cb}{2a} \\ & \text{Equilibrium conditions: } \sum M = 0 \Rightarrow N_K = 2G_H + bc \end{aligned}$$

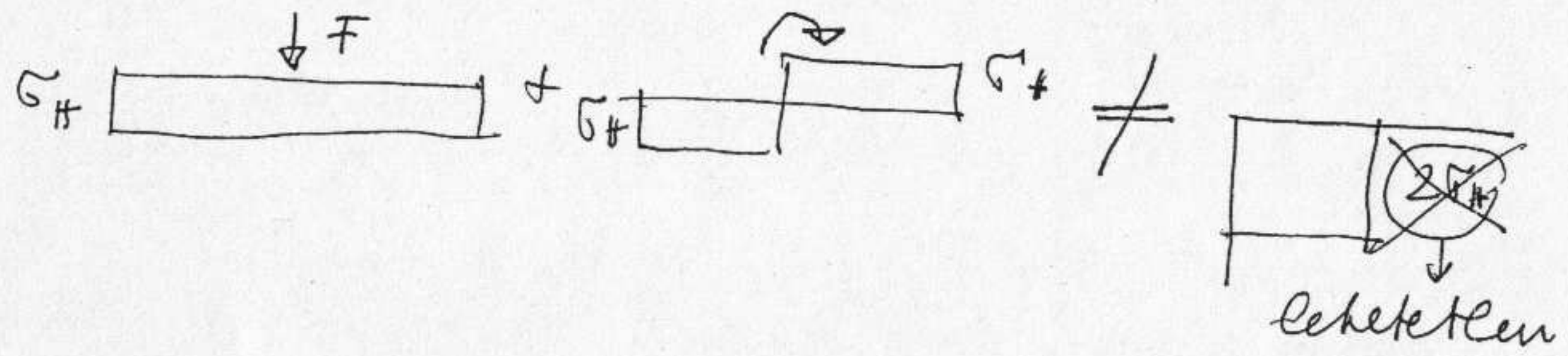
41

Eddig feltételeztük, hogy minimál az igényelőtelen.
és ezekből külön-külön nem történik feszítkezés
alkalmazásuk a fin. szerepkörön elér.

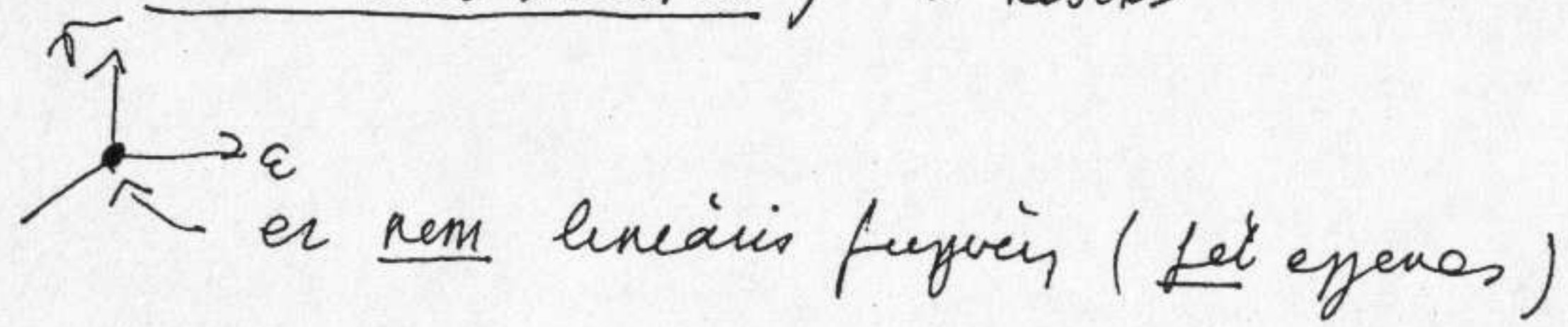
Az előbbi részt tehetjük, (aztól kezdve lineáris
az összefogás) most az axiomatikál elv érvényben.

$$F = E\varepsilon \quad \varepsilon = ax + by + c$$

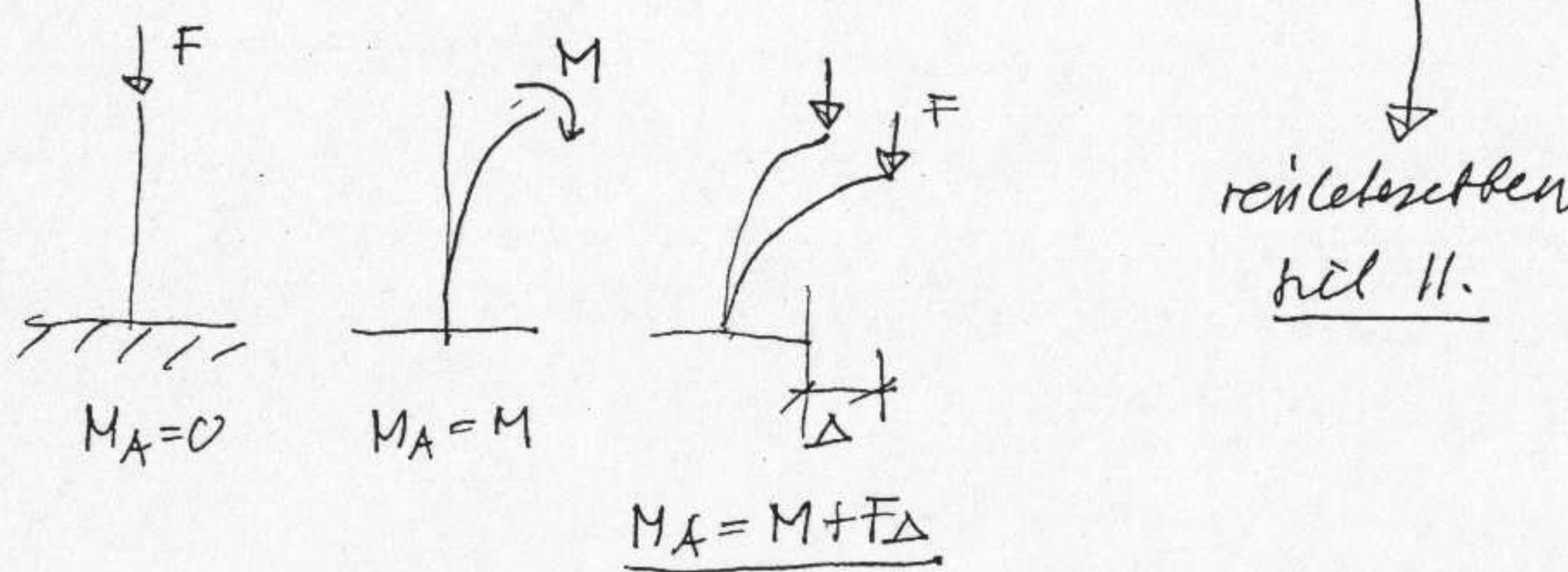
Köpleány esetben ez már nem teljesül!



Ugyanúgy nem teljesül, ha nyalmas ugyan az anyag,
de más lineárisitás → lebőbb

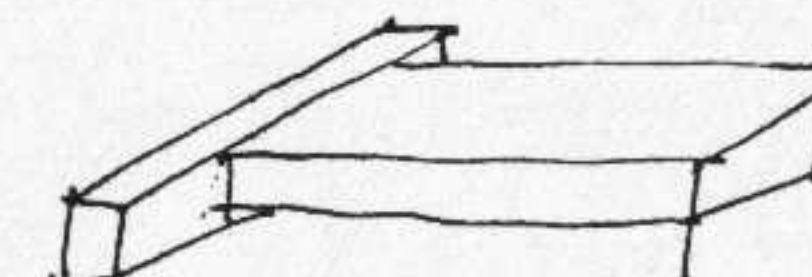
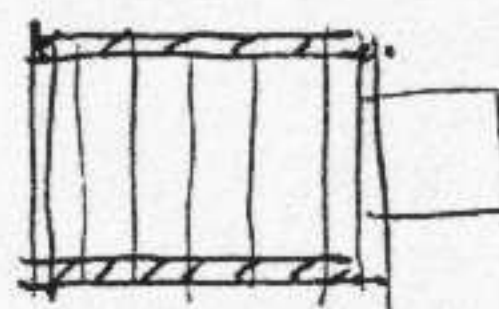


Ugyanekkor nem teljesül maguktól az gyűjtőkötésre vonatkozó



2.17 Csavarás

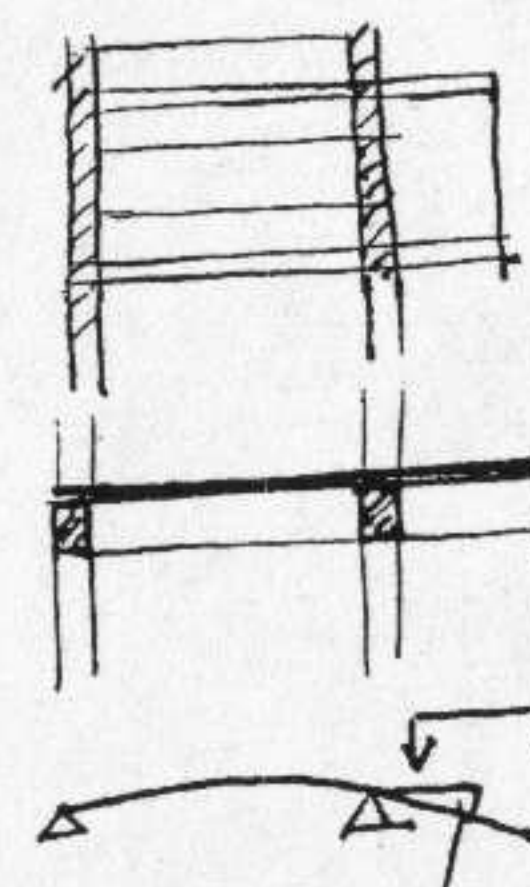
Egyenálló
működés



A bef. nyomával a
gyűjtőkötés csavarási
működése bontódja

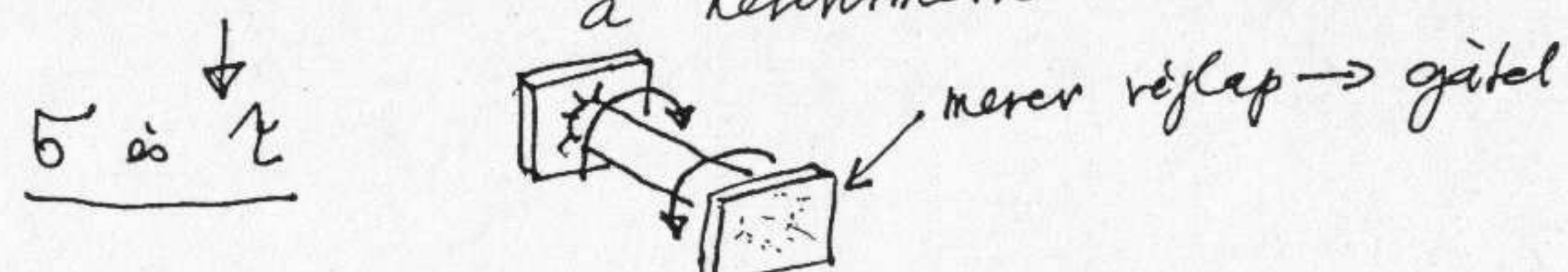
KERÜLENDŐ

Kompatibilitásra utasít



$\Delta P \rightarrow$ gyűjtő
csavarási működje.
gyűjtő → ha nincs
elrendezés, az épület
nem rakkad le

Fájltott csavarás: Kötő könyökkel (nyílmetszés) berakásával
a kerületmetrészek sűrű vájtat.



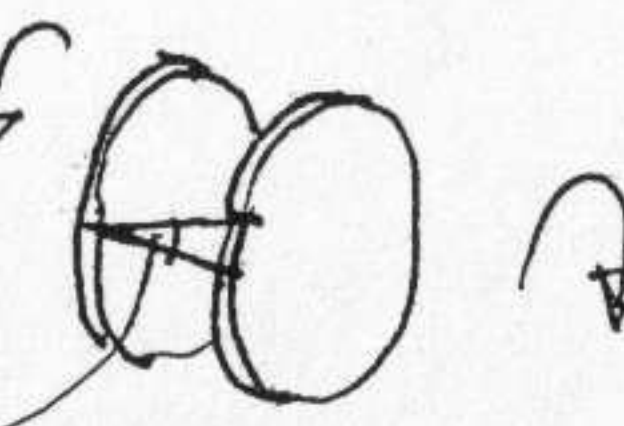
gyűjtőellen álló csavarás: A kom. rátádon kiterített sorozatot



A B-N kerekesszárú ker. r. hengerű
esetén jövőkrelítés:

$$\textcircled{1} \text{ egyszerű } \textcircled{a} \int \tilde{\tau} dA = 0$$

$$\int \tilde{\tau}_r dA = M_{co}$$



$$\textcircled{b} \text{ geometria } \tilde{\tau}_r = a \cdot r - \text{rátföld} \\ \downarrow \text{konstan.}$$

$$\textcircled{c} \text{ alegy } \tilde{\tau} = G_p$$

Megoldás:

$$M_{co} = \int \tilde{\tau}_r dA = \int G_p r dA = G_p a \int r^2 dA$$

$$I_p$$

"polaris" metszés

$$a = \frac{M_{co}}{G J_p}$$

$$n = \frac{M_{co} r}{G J_p}$$

$$\tilde{\tau} = \frac{M_{co}}{J_p} \cdot r$$

$$M_{coR} = \frac{\tilde{\tau}_H J_p}{R} = \frac{R^3 \pi}{2} \tilde{\tau}_H$$

nyalmas

Képlikez

$$\textcircled{1} \text{ egyszerű } \int \tilde{\tau}_r dA = M_{co}$$

$$\textcircled{2} \text{ geom } \tilde{\tau}_r = ar$$

$$\textcircled{3} \text{ alegy } \tilde{\tau} = \tilde{\tau}_H$$

$$M_{co} = \int T_H r dA = \tilde{\tau}_H \int r dA = \int \left(\int r ds \right) dr = \frac{2R^3 \pi}{3} \tilde{\tau}_H$$

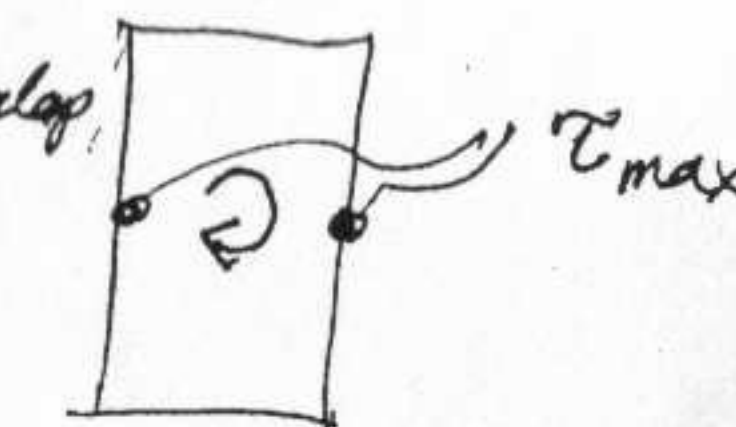
(44)

Hártya analógiá



A P-beli csőrönél meredekítje ($\tg \alpha$)
arágyos a P' pontban. esetleges haladásra
ébredő fennahagyással.

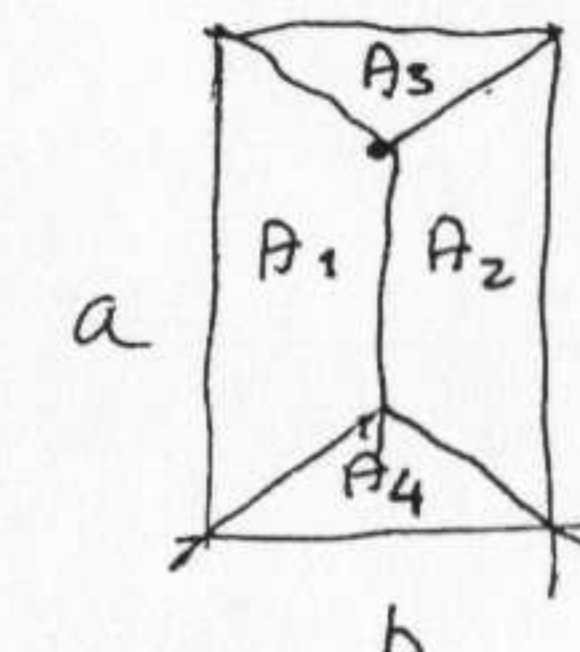
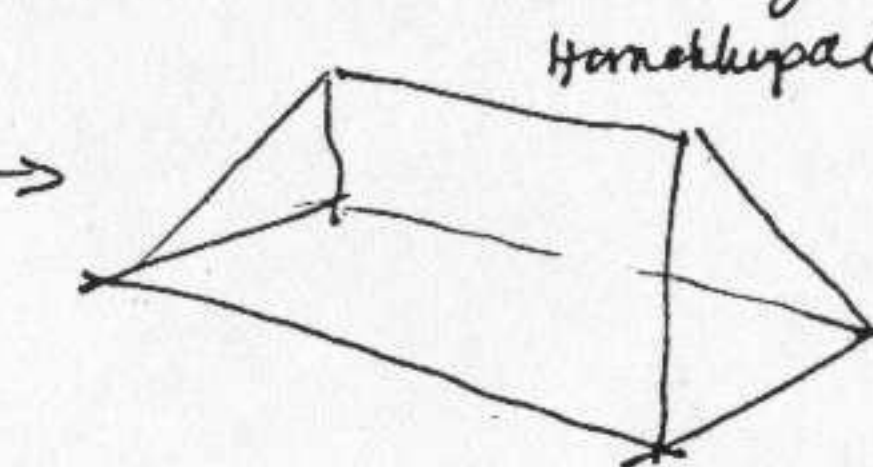
Célja: nemlételés \rightarrow pl. lejtések



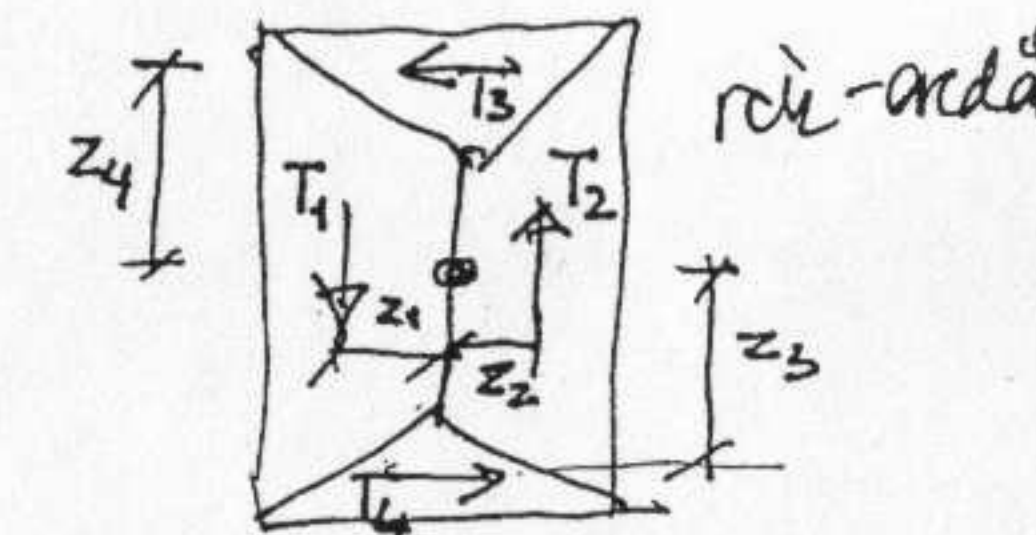
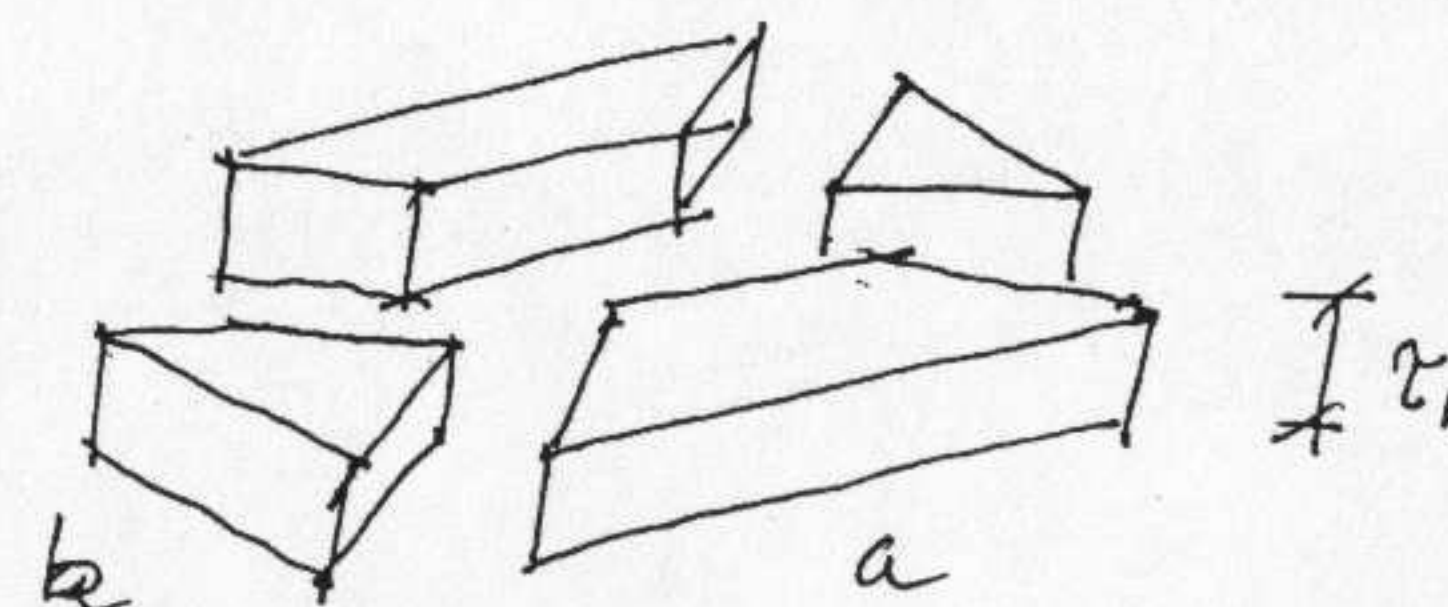
Homokúpae analógiá

$\tilde{\tau} = \tilde{\tau}_H \rightarrow$ felület meredekítés konstans \rightarrow

"felületem"



Fenülszíji festék



$$M_{coK} = \sum T_i z_i$$

$$T_i = A_i \cdot \tilde{\tau}_H$$

(45)

